



საქართველოს ტექნიკური უნივერსიტეტის
ჰიდრომეტეოროლოგიის ინსტიტუტის
სამეცნიერო რეზერიჩებაზე შრომათა პრეზენტი

SCIENTIFIC REVIEWED PROCEEDINGS
OF THE INSTITUTE OF HYDROMETEOROLOGY
OF THE GEORGIAN TECHNICAL UNIVERSITY

НАУЧНЫЙ РЕФЕРИРУЕМЫЙ СБОРНИК ТРУДОВ
ИНСТИТУТА ГИДРОМЕТЕОРОЛОГИИ
ГРУЗИНСКОГО ТЕХНИЧЕСКОГО УНИВЕРСИТЕТА

№ 130



საქართველოს პაგა
8. რაჭა-ლეჩხუმი, ქვემო სვანეთი

Climate of Georgia
8. Racha-Lechkhumi, Kvemo Svaneti

Климат Грузии
8. Рача-Лечхуми, Квемо Сванети

თბილისი – TBILISI - ТБИЛИСИ

2021

**საქართველოს ტექნიკური უნივერსიტეტის
ჰიდრომეტეოროლოგიის ინსტიტუტის
სამაცნიერო რევიურიზებაზე შრომათა პრეპული
ფომი №130**

**SCIENTIFIC REVIEWED PROCEEDINGS
OF THE INSTITUTE OF HYDROMETEOROLOGY
OF THE GEORGIAN TECHNICAL UNIVERSITY
VOL. №130**

**НАУЧНЫЙ РЕФЕРИРУЕМЫЙ СБОРНИК ТРУДОВ
ИНСТИТУТА ГИДРОМЕТЕОРОЛОГИИ
ГРУЗИНСКОГО ТЕХНИЧЕСКОГО УНИВЕРСИТЕТА
ТОМ. №130**

**საქართველოს პაგა
8. რაჭა-ლეჩხუმი, ქვემო სვანეთი**

**Climate of Georgia
8. Racha-Lechkhumi, Kvemo Svaneti**

**Климат Грузии
8. Рача-Лечхуми, Квемо Сванети**

**თბილისი – TBILISI - ТБИЛИСИ
2021**

გამოიცემა 1953 წლიდან.

Published since 1953.

Издается с 1953 года

დამფუძნებლები:

საქართველოს ტექნიკური უნივერსიტეტი,
ჰიდრომეტეოროლოგიის ინსტიტუტი,
საქ. მეცნიერებათა ეროვნული აკადემია,
საქ. სოფლის მუშაობების მეცნიერებათა
აკადემია.

FOUNDERS:

Georgian Technical University,
Institute of Hydrometeorology,
Georgian National Academy of Sciences,
Georgian Academy of Agricultural Sciences

УЧРЕДИТЕЛИ:

Грузинский технический университет,

Институт гидрометеорологии,

Национальная академия наук Грузии,

Сельскохозяйственная академия наук Грузии

სარედაქციო პოლები: მთაბარი რედაქტორი თ.ცინცაძე. მთ.
რედაქციონის მოაღმილები: გ.მელაძე, ს.გორგიჯანიძე, ე.ელიზბა-
რაშვილი, ლ.ინწკირველი, მ.ტატიშვილი. მდივნები: ნ.კაპანაძე, ნ.არუთი-
ნიანი. წევრები: გ.ალექსიძე, აბდ-ალლა გად (საუდის არაბეთი), ც.ბასი-
ლაშვილი, ნ.ბეგლარაშვილი, ნ.ბუაჩიძე, გ.გრიგოლია, გ.გუნია, ხ.ეგამე-
რდიევი (უზბეკეთი), ბ.ხოლმატანიშვილი (უზბეკეთი), ნ.დვალიშვილი,
კ.ლაშაური (კანადა), შუნლინ ლიან (შშ), რ.მაჰმუდოვი (აზერბაიჯანი),
მ.მელაძე, ა.პარანიან (რუსეთი), მ.სალუქვაძე, რ.სამუკაშვილი, ა.სურმავა,
მ.ფიფია, სადპან კუმარ გოშ (ინდოეთი), ლ.შავლიაშვილი, ლ.შენგელია,
ზ.ხვედელიძე. სარედაქციო საბჭო: გ.მელაძე (მთ. რედაქტორის
მოადგილე), ნ.ბეგლარაშვილი, გ.გრიგოლია, მ.სალუქვაძე, ზ.ხვედელიძე.

EDITORIAL BOARD: Editor-in-Chief T.Tsintsadze DEPUTY EDITORS-IN-CHIEF:

G.Meladze, S.Gorgianidze, E.Elizbarashvili, L.Intskirveli, M.Tatishvili. SECRETARIES:

N.Kapanadze, N.Arutiniani. MEMBERS: G.Aleksidze, Abd-Alla Gad (Saudi Arabia),

Ts.Basilashvili, N.Beglarashvili, N.Buachidze, G.Grigolia, G.Gunia, Kh.Egamberdiev

(Uzbekistan), B.Kholmatjanov (Uzbekistan), N.Dvalishvili, K.Lashauri (Canada), Shunlin

Liang (USA), R.Mahmudov (Azerbaijan), M.Meladze, A.Paranina (Russia), M.Salukvadze,

R.Samukashvili, A.Surmava, M.Pipia, Sadhan Kumar Ghosh (India), L.Shavliashvili,

L.Shengelia, Z.Khvedelidze. EDITORIAL COUNCIL: G.Meladze (DeputyEditor-in-Chief),

N.Beglarashvili, G.Grigolia, M.Salukvadze, Z.Khvedelidze.

РЕДКОЛЛЕГИЯ: Главный редактор Т.Н.Цинцадзе. ЗАМ. ГЛАВНОГО РЕДАКТОРА:

Г.Г.Меладзе, С.Н.Горгиджанидзе, Э.Ш.Элизбарашвили, Л.Н.Инциквели, М.Р.Татиш-
вили. СЕКРЕТАРИ: Н.И.Капанадзе, Н.Э.Арутюнян. ЧЛЕНЫ: Г.Н.Алексидзе, Абდ-

Алла Гад (Саудовская Аравия), Ц.З.Басилашвили, Н.Г.Бегларашвили, Н.С.Буачидзе,

Г.Л.Григолия, Г.С.Гуния, Х.Э.Эгамбердиев (Узбекистан), Б.М.Холматжанов (Узбекис-
тан), Н.Л.Двалишвили, К.Лашаури (Канада), Шунлин Лиан (США), Р.Махмудов

(Азербайджан), М.Г.Меладзе, А.Н.Паранина (Россия), М.П.Салуквадзе, Р.Д.Самука-
швили, А.А.Сурмава, М.Г. Пиния, Садхан Кумар Гош (Индия), Л.У.Шавлиашвили,

Л.Д.Шенгелия, З.В.Хведелидзе, РЕДАКЦИОННЫЙ СОВЕТ: Г.Г.Меладзе (Зам. гл.
редактора), Н.Г.Бегларашвили, Г.Л.Григолия, М.П.Салуквадзе, З.В.Хведелидзе.

გეოგრაფიის მეცნიერებათა დოქტორების
ე. ელიზბარაშვილის, რ. სამუკაშვილის და
სოფლის მეურნეობის მეცნიერებათა დოქტორის გ. მელაძის
რედაქციით

Edited by Doctors of Geographical Sciences
E.Elizbarashvili, R.Samukashvili and Doctor of Agriculturul Sciences
G.Meladze

Под редакцией докторов географических наук
Э.Ш.Элизбарашвили, Р.Д.Самукашвили и доктора сельскохозяйственных
наук Г.Г.Меладзе

ISNN1512-0902	საქართველოს პავა 8. რაჭა-ლეჩხუმი, ქვემო სვანეთი
---------------	--

© ჰიდრომეტეოროლოგიის ინსტიტუტი
Institute of Hydrometeorology
Институт гидрометеорологии 2021

გამოკვლეულია რაჭა-ლეჩხუმი ქვემო სვანეთის რეგიონის კლიმატის ფორმირების ძირითადი ფაქტორები: რელიეფი, რადიაციული ფაქტორები, ატმოსფეროს ცირკულაციური პროცესები; კლიმატის ძირითადი ელემენტების ტერიტორიული განაწილების კანონზომიერებანი: ჰაერის ტემპერატურა, ჰაერის სინოტივე, ატმოსფერული ნალექები, თოვლის საფარი, ქარი. შეფასებულია რეგიონის კლიმატური რესურსების პოტენციალი: საკურორტო რესურსები, ჰელიოენერგეტიკული რესურსები, ქარის ენერგეტიკული რესურსები. განსაკუთრებული ყურადღება ეთმობა აგროკლიმატურ რესურსებს და პროგნოზებს. განხილულია ამინდის საშიში მოვლენები: ძლიერი ქარები, ქარბუქი, ნისლი, ინტენსიური და უხვი ნალექები, წაყინვები.

The main factors shaping the climate of Racha-Lechkhumi Kvemo Svaneti were studied: topography, atmospheric radiation factors, circulation processes; regularities of the territorial distribution of the main climatic elements: air temperature and humidity, atmospheric precipitation, snow cover, wind; potential of climatic resources: resort, helio and wind energy resources; considerable attention is paid to agroclimatic resources and forecasts; considered dangerous weather phenomena: strong winds, blizzards, fogs, intense and heavy rainfall, frosts.

Исследованы основные факторы формирования климата Рача-Лечхуми и Квемо Сванети: рельеф, радиационные факторы атмосферы, циркуляционные процессы; закономерности территориального распределения основных климатических элементов: температура и влажность воздуха, атмосферные осадки, снежный покров, ветер; потенциал климатических ресурсов: курортные, гелио и ветроэнергетические ресурсы. Значительное внимание уделено агроклиматическим ресурсам и прогнозам. Рассмотрены опасные явления погоды: сильные ветры, метели, туманы, интенсивные и обильные осадки, заморозки.



კრებული ეძღვნება ცნობილი ქართველი კლიმატოლოგის, ღირსების ორდენის კავალერის ჯემალ ვაჩნაძის ნათელ ხსოვნას

ჯემალ ვაჩნაძე (1939-2020)

ჯემალ ვაჩნაძე დაიბადა 1939 წლის 9 მაისს თბილისში. დაამთავრა თბილისის 53-ე საშუალო სკოლა და სწავლა განაგრძო თბილისის სახელმწიფო უნივერსიტეტის ფიზიკის ფაკულტეტზე. უნივერსიტეტში სწავლის პერიოდში მას ლექციებს უკითხავდნენ აკადემიკოსები მათე მირიანაშვილი, ვაგან მამასახლისოვი, გივი ხუციშვილი და სხვა გამოჩენილი მეცნიერები. აამან მნიშვნელოვანი როლი ითამაშა მისი, როგორც მკვლევარის ჩამოყალიბებაში.

უნივერსიტეტის დამთავრების შემდეგ, 1962 წლიდან ბატონმა ჯემალმა მუშაობა დაიწყო ამიერკავკასიის სამეცნიერო-კვლევით ჰიდრომეტეოროლოგიის ინსტიტუტში. 1963-1965 წლებში სამეცნიერო სტაჟირებით მივლინებული იყო საბჭოთა კავშირის ჰიდრომეტეოროლოგიურ ცენტრში მოსკოვში, ხოლო 1967-1970 წლებში გაიარა ამ ცენტრის ასპირანტურა. სტაჟირებისა და ასპირანტურაში სწავლის პერიოდში ჯემალ ვაჩნაძე გაეცნ ყველა მნიშვნელოვან პრობლემას, რაც ჰიდრომეტეოროლოგიის დარგის წინაშე იდგა.

1972 წლს მან მოსკოვში წარმატებით დაიცვა დისერტაცია ფიზიკა-მატემატიკის მეცნიერებათა კანდიდატის სამეცნიერო ხარისხის მოსაპოვებლად თემაზე “საშუალო თვიური ტემპერატურის ანომალიის პროგნოზის მეთოდიკა ამიერკავკასიისათვის”, რომელიც შემდგომში დაინერგა წარმოებაში და გამოიყენებოდა პროგნოზულ სქემებში ჰიდრომეტცენტრში (მოსკოვი) და თბილისის ამინდის ბიუროში.

1976-1980 წლებში ჯემალ ვაჩნაძე მუშაობდა ჰიდრომეტეოროლოგიის ინსტიტუტის სწავლულ მდივნად, ხოლო 1989 წლიდან კლიმატოლოგიის ლაბორატორიის გამგედ. ამ პერიოდში მისი ხელმძღვანელობით და მონაწილეობით შესრულდა მნიშვნელოვანი სამეცნიერო პროექტები, მათ შორის “თბილისის კლიმატი”. ჯ.ვაჩნაძემ დიდი წვლილი შეიტანა უნიკალური კოლექტიური ნაშრომის “საქართვე-

ლოს კლიმატური და აგროკლიმატური ატლასის” შედგენაში, რომელიც 2011 წელს გამოქვეყნდა.

ჯემალ ვაჩნაძის 80-მდე გამოქვეყნებული ნაშრომი ეხება მეტეოროლოგიური ელემენტების პროგნოზის, კლიმატის ცვლილების, ამინდის სამიში და სტიქიური მოვლენების პრობლემებს.

ბბატონი ჯემალი არის სერიის “საქართველოს ჰავა” შექმნის ერთერთი ინიციატორი და რედაქტორი. აამ სერიით უკვე გამოქვეყნდა 7 ტომი - აჭარა, აფხაზეთი, სამეგრელო-ზემო სვანეთი, გურია, იმერეთი, შიდა ქართლი და კახეთი. სამწუხაროდ ამ გამოცემის მე-8 ტომს ბატონი ჯემალი ვერ მოესწრო, თუმცა მის მიერ შესრულებული პარაგრაფები შესულია წინამდებარე კრებულში.

ჰიდრომეტეოროლოგიის ინსტიტუტის კოლექტივი, კლიმატოლოგიის და აგრომეტეოროლოგიის განყოფილება, კოლეგები და მეგობრები დიდ მწუხარებას გამოვთქვამთ ჯემალ ვაჩნაძის გარდაცვალების გამო, იგი ყოველთვის იქნება ჩვენთვის როგორც მაგალითი კეთილსინდისიერების, გულისხმიერების, პროფესიონალიზმის, სითბოსა და სყივარულის. მისი ხსოვნა ყოველთვის დარჩება ჩვენს გულებში.

შინაგანი

შესაგალი (ე.ელიზბარაშვილი).	10
თავი I. პლიმატის უორმირების ძირითადი ფაქტორები.	12
1.1 ფიზიკურ-გეოგრაფიული პირობები (რ.სამუკაშვილი, ც.დიასამიძე)	12
1.2 კლიმატის რადიაციული ფაქტორები (რ.სამუკაშვილი)	14
1.3 ატმოსფერული ჰაერის წნევა (რ.სამუკაშვილი)	26
1.4 ატმოსფეროს ცირკულაციური პროცესები (ჯ.ვაჩნაძე, რ.სამუკაშვილი, ც.დიასამიძე).....	29
თავი II პლიმატის ძირითადი ელემენტების ფარგლები განაწილების კანონზომიერებაზე.	30
2.1 ჰაერის ტემპერატურა (ე.ელიზბარაშვილი, ნ.ჭელიძე)	30
2.2 ჰაერის სინოტივე (ე.ელიზბარაშვილი, ნ.ჭელიძე)....	37
2.3 ატმოსფერული წალექები (ე.ელიზბარაშვილი, შ.ელიზბარაშვილი).....	41
2.4 თოვლის საფარი (რ.სამუკაშვილი).	44
2.5 ქარი (რ.სამუკაშვილი).	50
თავი III პლიმატური რესურსების პოტენციალი .	58
3.1 საკურორტო კლიმატური რესურსები (ე.ელიზბარაშვილი).....	58
3.2 ჰელიოერგეტიკული რესურსები (რ.სამუკაშვილი, ც.დიასამიძე).....	61
3.3 ქარის ენერგეტიკული რესურსები (რ.სამუკაშვილი, ჯ.ვაჩნაძე; ც.დიასამიძე).....	64
თავი IV აბროპლიმატური რესურსები.	75
4.1 აგროკულტურების სითბოთი და ტენით უზრუნველყოფა (მ.მელაძე, გ.მელაძე).....	75
4.2 აგროკლიმატური ზონები (გ.მელაძე, მ.მელაძე)	83
4.3 აგროკულტურებისათვის ამინდის არახელსაყრელი მოვლენები (მ.მელაძე, გ.მელაძე)	85

4.4	აგრომეტეოროლოგიური პროგნოზები (გ.მელაძე, მ.მელაძე).	96
თავი V პრინციპის საშიში მოვლენები.		99
5.1	ძლიერი ქარები (რ.სამუკაშვილი).	99
5.2	ქარბუქი (რ.სამუკაშვილი, ჯ.ვაჩნაძე, მ.ფიფა).	103
5.3	ნისლი (რ.სამუკაშვილი, ჯ.ვაჩნაძე, ც.დიასამიძე).	107
5.4	წაყინვები (ჯ.ვაჩნაძე, რ.სამუკაშვილი, ც.დიასამიძე).	112
5.5	ინტენსიური და უხვი ატმოსფერული ნალექები (შ.ელიზბარაშვილი).	121
5.6	თოვლის ზვავები (მ.სალუქვაძე).	123
ლიტერატურა.		132

შესაგალი

კვლევა წარმოადგენს საქართველოს ტექნიკური უნივერსიტეტის ჰიდრომეტეოროლოგიის ინსტიტუტის სამეცნიერო-კვლევითი გეგმით გათვალისწინებულ ნაშრომს. მასში განხილულია რაჭა-ლეჩხუმი, ქვემო სვანეთის კლიმატი და კლიმატური რესურსები.

ამ მიმართულების კვლევები ქვეყნდება სერიით “საქართველოს ჟავა”. უკვე შესრულებულია 7 ტომი:

1. აჭარა. ჰიდრომეტეოროლოგიის ინსტიტუტის შრომები, ტ. 110, 2003.
2. აფხაზეთი. ჰიდრომეტეოროლოგიის ინსტიტუტის შრომები, ტ. 112, 2006.
3. სამეცნიერო-ზემო სვანეთი. ჰიდრომეტეოროლოგიის ინსტიტუტის შრომები, ტ. 113, 2010.
4. გურია. ჰიდრომეტეოროლოგიის ინსტიტუტის შრომები, ტ. 118, 2011.
5. შიდა ქართლი. ჰიდრომეტეოროლოგიის ინსტიტუტის შრომები, ტ. 122, 2016.
6. იმერეთი. ჰიდრომეტეოროლოგიის ინსტიტუტის შრომები, ტ. 126, 2019.
7. კახეთი. ჰიდრომეტეოროლოგიის ინსტიტუტის შრომები, ტ. 128, 2020.

კვლევაში გამოყენებულია რაჭა-ლეჩხუმის და ქვემო სვანეთის რეგიონში არსებული მეტეოროლოგიური სადგურების დაკვირვება-თა მონაცემები დაწყებული დღიდან მათი დაარსებისა დამთავრებული იმ დრომდე, როდემდეც ფუნქციონირებდა სადგური და აგრეთვე საქართველოს ტექნიკური უნივერსიტეტის ჰიდრომეტეოროლოგიური ინსტიტუტის მონაცემთა ბაზები. დაკვირვება-თა მონაცემების დამუშავებაში გამოიყენებოდა კლიმატოლოგიაში აპრობირებული მონაცემთა ინტერპოლაციის და ექსტრაპოლაციის მეთოდები.

ნაშრომი შესრულებულია ჰიდრომეტეოროლოგიის ინსტიტუტის სამეცნიერო სამუშაოთა თემატური გეგმის შესაბამისად პროფესორ ე.ელიზბარაშვილის ხელმძღვანელობით. პასუხისმგებელი შემსრულებლებია გეოგრაფიის მეცნიერებათა დოქტორი რ.სამუკაშვილი, სოფლის მეურნეობის მეცნიერებათა დოქტორი, პროფესორი გ.მელაძე, ფიზიკა-მათემატიკის მეცნიერებათა დაკადემიური დოქტორი ჯ.ვაჩნაძე, სოფლის მეურნეობის მეცნიერებათა დაკადემიური დოქტორი მ.მელაძე.

ნამრომში წარმოდგენილი ცხრილები და გრაფიკული მასალა შესარულა ე.ელიზბარაშვილმა, მ.მელაძემ და ც.დიასამიძემ, ქარბუქი-ან დღეთა რიცხვის რუკა შეადგინა მ.ფიფიამ, ხოლო ფოტო მასალა თოვლის ზვავების შესახებ მომზადებულია მ.სალუქვაძის მიერ.

ნაშრომი განკუთვნილია კლიმატოლოგებისათვის, გეოგრაფები-სათვის, აგრონომებისათვის, აგრომეტეოროლოგებისათვის, ენერგე-ტიკოსებისათვის, მედიცინის მუშავთათვის და მკითხველთა ფართო წრისათვის, ვინც დაინტერესებულია რაჭა-ლეჩხუმი, ქვემო სვანეთის რეგიონის კლიმატური რესურსებით და მათი რაციონალურად გამოყენების პერსპექტივებით. ის გამოადგება სპეციალისტებს, რომლებიც მუშაობენ ბუნებრივი რესურსების გამოვლენისა და ათვისების, სამოქალაქო და სამრეწველო ნაგებობების, კავშირგაბმულობის, ელექტროგადამცემი და მილსადენი ხაზების დაგეგმარების და პროექტი-რების დარგში და სხვ.

თავი I. პლიგატის უღრმის მიზითადი ფაზეობები

1.1. ფიზიკურ-გეოგრაფიული პირობები

რაჭა-ლეჩხუმის და ქვემო სვანეთის რეგიონს უკავია ცენტრალური კავკასიონის სამხრეთი ფერდობის ნაწილი. მისი ტერიტორია შემოსაზღვრულია კავკასიონის, სამეგრელოსა, ლეჩხუმის და რაჭის ქედებით, ხვამლისა და ასხის მასივებით. რაჭა-ლეჩხუმი წარმოადგენს მთაბან რეგიონს ძლიერ დანაწევრებული რელიეფით, მისი ტერიტორია განლაგებულია 300 (ტვიშის კლდეკარი) – 4460 (მთა ჭანჭახი) მეტრის ნიშნულებს შორის. განსახილველი ფიზიკურ-გეოგრაფიული რაიონი ზემო სვანეთის სამხრეთ-აღმოსავლეთით მდებარეობს და კავკასიონის ქედიდან კოლხეთის სუბტროპიკულ ზონამდე ვრცელდება. ზემო სვანეთის რაჭა-ლეჩხუმის ტერიტორია სამეგრელოს და ლეჩხუმის ქედებით ესაზღვრება, რუსეთის ფედერაციაში შემავალ ჩრდილოეთ ოსეთს – კავკასიონის მთაგარი წყალგამყოფი ქედით, სამაჩაბლოს (ე.წ. სამხრეთ ოსეთს) – რაჭის ქედით, იმერეთს – რაჭის ქედითა და ხვამლის მასივით, სამეგრელოს – ასხის მასივით. რაჭა-ლეჩხუმის ტერიტორიის ერთი მესამედი ლეჩხუმს უკავია (დასავლეთი ნაწილი), დანარჩენი ორი მესამედი კი რაჭას, რომელიც თავის მხრივ ორ მაწილად იყოფა – ზემო და ქვემო რაჭად (მარუაშვილი, 1964).

რაჭა-ლეჩხუმის რელიეფი რთული თავისებურებებით გამოიჩევა. მისი ჩრდილოეთით განლაგებული “კავკასიონის ქედის კრისტალური გული აზიდულია ზღვის დონიდან 4000-4500მეტრზე და ეროზიული პროცესებით გაშიშვლებულია” (საქართველოს გეოგრაფია, ნაწილი 1, ფიზიკური გეოგრაფია, 2000). რაჭა-ლეჩხუმის ტერიტორიის ფარგლებში არსებული კავკასიონის სამხრეთი ფერდობის სისტემაში გამოიყოფა მთის რაჭის ქვაბულის რელიეფი, რომელიც შედარებით დაბალი აბსოლუტური ნიშნულებით ხასიათდება და იყოფა ორ ნაწილად: დასავლეთით- ლეჩხუმის და აღმოსავლეთით - რაჭის ნაწილებად.

რაჭა-ლეჩხუმის და ქვემო სვანეთის რეგიონი დაბალმთიან, საშუალო და მაღალმთიან რაიონებად იყოფა. აქ მყინვარები ძირითადად გავრცელებულია კავკასიონის ქედის სამხრეთ ფერდობზე 3300-3400 მეტრის ზევით. ამჟამად მდინარე რიონის აუზში, რომელიც რაჭა-ლეჩხუმის ტერიტორიაზე გაედინება სულ 73 მყინვარია ფართობით $60,4\text{კმ}^2$. 1965 წლიდან რაჭის მყინვარწვერზე მათი ბალანსის, რეზიმის და მოძრაობის (თავისებურებების) დასახასიათებლად სტაცი-

ონალურ დაკვირვებებს ატარებენ ვახუშტი ბაგრატიონის სახელობის გეოგრაფიის ინსტიტუტის გლაციოლოგები.

რაჭა-ლეჩხუმის მაღალმთანი რელიეფი (2000მ-ის ზევით) ხა-სიათდება ინტენსიურად მიმდინარე ფიზიკური გამოფიტვით, რომე-ლიც აქ ხელს უწყობს დიდი მასშტაბის ღვარცოფების განვითარებას.

რაჭა-ლეჩხუმის საშუალომთან რაიონებში (1000-2000მ ზღვის დონიდან) შედის რაჭის ქედი, ხვამლის, ასხის და წედის-კოდაროს კირქვიანი მასივები. აქ განვითარებულია რელიეფის კარსტული ფორმები (ძაბრები, ჭები, მღვიმები სტალაქტიდები, მდინარეები, რომლებიც აქ კირქვიან მასივებში გაედინებიან ღრმა ხეობებს აჩენებ.

დაბალმთანი რაიონი მოიცავს რაჭა-ლეჩხუმის ქვაბულს ონიდან ცაგერამდე. ქვაბულის ფერდობები ხასიათდება აქტიური მეწყერული პროცესებით (განსაკუთრებით რაჭის ქედის ჩრდილოეთი ფერდობე-ბი და ლეჩხუმის ქედი). ქვაბულის ძირი კი მდინარეების რიონის, ცხენის წყლის და ლაჯანურის ალუვიური ნალექებითაა დაფარული. რაჭა-ლეჩხუმის რელიეფის დამახასიათებელ თავისებურებას წარმო-ადგენს მისი ვერტიკალური და ჰორიზონტალური მოძრაობა ვინაიდ-ან აქ ერთმანეთს ეჯახებიან ურთიერთსაწინააღმდეგო მიმართულე-ბის ორი სტრუქტურა – კავკასიონი და საქართველოს ბელტი. აქ დი-დი კავკასიონის საერთო აღზევების ფონზე (10-15მმ წელიწადში) აღ-ინიშნება მოძრაობის განსხვავებული სიჩქარეები: შოდა კედელას ქე-დისათვის ეს მაჩვნენებელია 6-8 მმ/წელიწადში სიჩქარით, რომელსაც უკავშირდება მძლავრი (6-8 ბალი) მიწისძვრები. გარდა ვერტიკალუ-რი გადაადგილებისა, რაჭის ქედი განიცდის ჰორიზონტალურ გადა-ადგილებას ჩრდილო-აღმოსავლეთის (სიჩქარე 4.2 მმ/წელიწადში) მი-მართულებით. ხოლო კავკასიონი მოძრაობს სამხრეთ-დასავლეთის მიმართულებით (ხურუთი, ლესორა 6.8 მმ/წლიწადში), რაც გამოწვე-ულია კავკასიონის ქვეშ საქართველოს ბელტის შემდწევი მოძრაობით (საქართველოს გეოგრაფია, ნაწილი 1, ფიზიკური გეოგრაფია, 2000).

რაჭა-ლეჩხუმის ჰიდროგრაფიული ქსელის ძირითადი წარმო-მადგენელია მდ. რიონი, თავისი მრავალრიცხოვანი შენაკადებით. მდინარეები საზრდოობენ მდნარი სეზონური (თოვლის და მყინვარე-ბის დნობის შდეგად), წვიმისა და მიწისქვეშა (გრუნტის) წყლებით. მდინარეების ჩამონადენის მაქსიმუმი აღინიშნება ზაფხულში (აბლი-აციის პერიოდში), მინიმუმი - ზამთარში.

რაჭა-ლეჩხუმის ტერიტორიაზე ძირითადად მცირე ზომის კარ-სტული და მყინვარული წარმოშობის ტბებია. ადგილი აქვს აგრეთვე

ტბებს, რომლებიც გაჩნდნენ მდინარეთა კალაპოტის კლდეზვავების მიერ ჩახერგვით (მაგ. ქვედის ტბა, რომლის სიგრძეა 970მ, სიგანე 110მ, სიღრმე 16მ და სხვ.). აღსანიშნავია ლაჯანურის და შაორის წყალსაცავები, ტერიტორიაზე მრავლადაა მინერალური და მტკნარი წყლები.

მთიანი რეგიონის რაჭა-ლეჩხუმის და ქვემო სვანეთის ნიადაგების და მცენარეული საფარის განლაგება ემორჩილება ვერტიკალური ზონალობის კანონს. დაბალმთიანი ზონა (1000 მეტრამდე), რომელიც წარმოადგენს სასოფლო-სამეურნეო ტერიტორიას, ძირითადად წარმოდგენილია კულტურული ლანდშაფტით. ბუნებრივი ფიტოცინოზები აქ ძნელად მისაწვდომ ადგილებშია შემორჩენილი. ამ ზონაში ძირითადად გავრცელებულია ნეშოლპალა-კარბონაული ნიადაგები, მდინარეების რიონისა და ცხენისწყლის ხეობებში კი – ალუვიური ნიადაგები.

საშუალომთიან ზონაში (1000-2000მ) გვხვდება კოლხური ტიპის მცენარეულობა (1300მ-დე სიმაღლეზე), ხოლო ზემოთ შერეული ტყეების მასივები. ამავე ზონაში გავრცელებულია ყომრალი და გაეწრებული ყომრალი ნიადაგები, აგრეთვე ნეშოლპალა კარბონატული ნიადაგები.

მაღალმთიან ზონაში 2200-2300 მეტრს ზევით განლაგებულია სუბალპური და ალპური მდელოები. ამ ზონაში ეწეროვანი ნიადაგებია განვითარებული. ყველაზე მაღალ ნივალურ-გლაციურ ზონაში (3400მ-ზე ზევით) მცენარეულობიდან შეიძლება აღინიშნოს ხავსები და მღიერები იზოლირებული უბნების სახით. ეს ზონა მოკლებულია ნიადაგების და მცენარეულობის საფარს.

როგორც აღნიშნულია (საქართველოს გეოგრაფია, ნაწილი 1, ფიზიკური გეოგრაფია, 2000) “რაჭა-ლეჩხუმში გამოიყოფა შემდეგი ძირითადი ლანდშაფტები: ნოტიო სუბტროპიკულის ბორცვიანი მთისპირეთის ლანდშაფტები, ნოტიო ჰავიანი მთის ტყის ლანდშაფტები, სუბალპური ლანდშაფტები, ალპური ლანდშაფტები, ნივალურ-გლაციური ლანდშაფტები”.

1.2. კლიმატის რადიაციული ფაქტორები

დედამიწაზე კლიმატის ფორმირების ფატორებს შორის, როგორც ცნობილია, მთავარ როლს თამაშობს მზის სხივური ენერგია. ის აგრეთვე წარმოადგენს დედამიწის გეოგრაფიულ გარსში და ლითოსფეროს ზედა პირველ ფენაში მიმდინარე ბიოტური და აბიოტური პროცესების ერთ-ერთ ძირითად მაფორმირებელ ფაქტორს. მის, რო-

გორც ეკოლოგიურად სუფთა განახლებად და ამოუწურავ წყაროს ათვისებას ორგანული გენეზისის ამოწურვადი ენერგომატარებლებით ატმოსფეროს თანამედროვე მზარდი დაბინძურების პირობებში (რაც განაპირობებს სათბურის ეფექტს და გლობალური დათბობის პროცესს) დიდი მნიშვნელობა ენიჭება.

რაჭა-ლეჩხეუმი-ქვემო სვანეთის ტერიტორიის კლიმატის მაფორმირებელი რადაციული ფაქტორების დროში და სივრცეში რაოდენობრივი ცვლილებების დადგენის მიზნით გამოყენებული იქნა საქართველოს აქტინომეტრიული სადგურების მრავალწლიური (1953-1990წწ) დაკვირვებების მონაცემები, რაც განაპირობა აქტინომეტრიული სადგურების არსებობამ ამ რეგიონში. როგორც ცნობილია, საქართველოს ტერიტორიაზე ფუნქციონირებდა შემდეგი აქტინომეტრიული სადგურები: სოხუმი(37გ), ანასეული(167გ) დასავლეთ საქართველოში, თბილისი(404გ) და სკრა საქართველოს ცენტრაურ ნაწილში, თელავი(562გ) აღმოსავლეთ აქართველოში, წალკა (1464გ) სამხრეთ სქართველოს თანაეთში, მაღალმთიანი ყაზბეგი(3657გ) დიდ კავკასიონზე გლაციურ-ნივალურ ზონაში.

უნდა აღინიშნოს, რომ აქტინიმეტრიული მონაცემები ლეჩხუმის მთაიანი რელიეფის რთულ პირობებში ამნელებს აქ მიმდინარე რადიაციული პროცესების დეტალურ კვლევას. მაგრამ ამ შემთხვევაში წარმატებით გამოიყენება რუსეთის მთავარ გეოფიზიკურ ობსერვატორიამი დამუშავებული რადიაციული ბალანსის და მისი მდგრელების კლიმატოლოგიური გამოთვლის მეთოდები (Берлянд ,1960; Пивоварова ,1977; Сивков ,1968).

რაჭა-ლეჩხეუმის დაბლობი ტერიტორიისათვის კლიმატის რადიაციული მოკლეტალოვანი (S, S', Q, D) მახასიათებლების დროში და სივრცეში ცვლილებების დადგენის მიზნით გამართლებულია აქტინომეტრიულ სადგურებზე სოხუმი და ანასეული არსებული სათანადო დაკვირვებების მასალების გამოყენება, რადგანაც (Пивоварова, 1977)-ის მიხედვით ამ სდგურებს შორის მანძილი, რომელზეც უზრუნველყოფილია პირდაპირი, გაბნეული, ჯამური რადიაციების და რადიაციული ბალანსის თვიური ჯამების 0.5ნ სიზუსტე შეადგენს შესაბამისად 380,320,300 და 320კმ-ს. რადიაციული ბალანსის მდგომარეობის დროში და სივრცეში ცვალებადობის ანალიზიდან გამომდინარე მიზანშეწონილია ინტერპოლაციის სიზუსტის დაშვება მოკლეტალდიანი მდგრელებისათვის (S, S', Q, D) 0.5ნ, რადიაციული ბალანსი-სათვის _0.7ნ (Пивоварова, 1977). ამრიგად ამ მეთოდიკის გამოყენება

რაჭა-ლეჩხუმის დაბლობი ტერიტორიისათვის რადიაციული ბალანსისა და მისი მდგენელების სიდიდის დასადგენად გამართლებულია იმით, რომ მოწმენდილი ცის შემთხვევაში რადიაციული ბალანსის მოკლეტალლიანი მდგენელების თვიური ჯამების საშუალოკვადრატული გადახრიდან მუდმივი რჩება 300-400კმ-ის მანძილზე და მათ სიდიდეზე გავლენას ვერ ახდენს ქვეფენილი ზედაპირის ფიზიკური თვისებები (ალბედო). რადიაციული ბალანსი B, ეფექტური გამოსხივება E, ქვეფენილი ზედაპირის მიერ არეკლილი და შთანთქმული Q რადიაცია წარმოადგენენ ალბედოს ფუნქციებს და მათი ტერიტორიული და მაღლივი ცვლილებების კანონზომიერებების დადგენისას გათვალისწინებული უნდა იქნეს მაღალი ალბედოს მქონე სეზონური თოვლის საფარის რეჟიმული მახასიათებლები (Samukashvili, 1980). რაც შეეხება რადიაციული ბალანსის მოკლეტალლიანი მდგენელების სიდიდის დამოკიდებულებას ადგილის განედზე, უნდა აღინიშნოს, რომ რაჭა-ლეჩხუმის და ქვემო სვანეთის ტერიტორიისათვის მისი ცვლლებების დიაპაზონი იმდენად მცირეა, რომ იგი მოწმენდილი ცის შემთხვევაში პრაქტიკულად შესამჩნევ გავლენას ვერ ახდენს რადიაციული ბალანსის მოკლეტალლიანი მდგენელების სიდიდეზე.

რაჭა-ლეჩხუმის და ქვემო სვანეთის მთიან პირობებში რადიაციული ბალანსისა და მისი მდგენელების ადგილის აბსოლუტურ სიდიდეზე დამოკიდებულების კანონზომიერების დასადგენად გამოყენებული იქნა საქართველოს მთიანი (სადგური წალკა 1457მ) და მაღალმთიანი (მ/მთ ყაზბეგი 3653მ) აქტინომეტრიული სადგურების დაკვირვებების მრავალწლიური ინფორმაცია. ამავე მიზნით შეიძლება გამიყენებული იქნეს იალბუზზე 2,2-3,8კმ სიმაღლეთა დიაპაზონში განლაგებული აქტინომეტრიული სადგურების (ობსერვატორია ტერსკოლი 2150მ, ტერსკოლის 3100მ, ყინულოვანი ბაზა 3800მ) დაკვირვებების მონაცემები.

რაჭა-ლეჩხუმის ტერიტორიაზე კლიმატის რადიაციული მახასიათებლების სიდიდის ფორმირებაზე მნიშვნელოვან გავლენას ახდენს ღრუბლიანობის რეჟიმი, მზის ნათების ხანგრძლივობა, ადგილის აბსოლუტური სიმაღლე და ქვეფენილი ზედაპირის ფიზიკური თვისებები.

საერთო ღრუბლიანობის წლიური მნიშვნელობა სადგურების უმრავლესობაზე (მოვი, მამისონის უღელტეხილი, ცაგერი, ჭრებალო და ამბროლაური) მერყეობს 6.0-6.3 ბალის საზღვრებში. ხერგაში ეს მაჩვენებელი ტოლია 5,6 ბალისა. ქვედა იარუსის ღრუბლიანობის

წლიური მნიშვნელობები სადგურებზე: ცაგერი, ჭრებალო, ამბროლაური, შოვი მერყეობს 3,6-3,8 ბალის საზღვრებში, მამისონის უღელტეხილზე ეს მაჩვენებელი ტოლია 5,3 ბალის (მაქსიმუმი). მოწმენდილი დღეების რაოდენობა საერთო ღრუბლიანობის შემთხვევაში წელიწადში მერყეობს შოვში, ონში, ჭრებალოში და ამბროლაურში 63 (ამბროლაური) – 68 (ჭრებალო)-ის ფარგლებში. ხერგაში იგი აღწევს მაქსიმუმს (75დღე). მოწმენდილი დღეების რაოდენობის მინიმუმი წელიწადში აღნიშნულია მამისონის უღელტეხილზე და ცაგერში (54დღე). მოწმენდილი დღეების რაოდენობა ქვედა იარუსის ღრუბლიანობის შემთხვევაში მაქსიმალურია ამბროლაურში (152) და ხერგაში (146), მინიმალურია მამისონის უღელტეხილზე (91), ცაგერში და ჭრებალოში იგი მერყეობს 138-139-ის ფარგლებში.

მოღრუბლული დღეების რაოდენობა საერთო ღრუბლიანობის შემთხვევაში წელიწადში შოვში და მამისონის უღელტეხილზე აღწევს 151-ს, ცაგერში იგი შეადგენს 145-ს. ჭრებალოში და ამბროლაურში მერყეობს 137(ამბროლაური) – 139(ჭრებალო) საზღვრებში. ამ მახასიათებლის აბსოლუტური მინიმუმი დაფიქსირებულია ხერგაში (113 დღე).

მოღრუბლული დღეების რაოდენობა ქვედა იარუსის ღრუბლიანობის შემთხვევაში სადგურებზე ჭრებალო, ამბროლაური, ხერგა მერყეობს 48(ამბროლაური) – 54(ხერგა)-ის ფარგლებში. ცაგერში დონში 71-73-ის საზღვრებში. ამ მახასიათებლის აბსოლუტური მაქსიმუმი (117 დღე) და მინიმუმი (48დღე) აღნიშნულია შესაბამისად მამისონის უღელტეხილზე და ამბროლაურში. ამ მახასიათებლის სიდიდით მერე ადგილზეა სადგური შოვი (97 დღე).

საერთო რღუბლიანობის საშუალოწლიური მნიშვნელობები რაჭა-ლეჩხუმის აღნიშნულ სადგურებზე მერყეობენ 5,6(ხერგა) – 6,3(მამისონის უღელტეხილი, ცაგერი) ბალის საზღვრებში, ქვედა იარუსის ღრუბლიანობის შემთხვევაში კი 3,6(ამბროლაური, ხერგა) – 5,3(მამისონის უღელტეხილი) ბალის საზღვრებში. ორივე მახასიათებლის აბსოლუტური მაქსიმუმი დაფიქსირებულია მამისონის უღელტეხილზე შესაბამისად 6,3 და 5,3 ბალი. საერთო და ქვედა იარუსის ღრუბლიანობის პირობებში მოწმენდილი (0-2ბალი), ნახევრადმოწმენდილი (3-7ბალი) და მოღრუბლული (8-10ბალი) ცის მდგომარეობის აღბათობა წელიწადში (%) მოცემულია ცხრილ 1.2.1.-ში.

როგორც ცხრილ 1.2.1.-დან ჩანს, საერთო ღრუბლიანობის შემთხვევაში მოწმენდილი ცის (0-2 ბალი) აღბათობა რაჭა-ლეცხუმის

ტერიტორიაზე მერყეობს 28-39%-ის ფარგლებში მაქსიმუმით ხერგაში (39%) და მინიმუმით მამისონის უღელტახილზე და ცაგერში (28%). დანარჩენ სადგურებზე (შოვი, ონი, ჭრებალო, ამბროლაური) ეს მაჩვენებელი იცვლება უმნიშვნელოდ 28-31%-ის ფარგლებში. მოღრუბლული ცის (8-10 ბალი) მდგომარეობის ალბათობა ამ რეგიონის ყველა სადგურზე ახლოა ერთმანეთთან: იცვლება 50 (ონი) - 57(მამისონის უღელტებილი) პროცენტის ფარგლებში.

ცხრილი 1.2.1. საერთო და ქვედა იარუსის ღრუბლიანობის შემთხვევაში მოწმენდილი (0-2ბალი), ნახევრადმოწმენდილი (3-7ბალი) და მოღრუბლული (8-10ბალი) ცის მდგომარეობის ალბათობა n(%). წელიწადი (Справочник по климату СССР, выпуск. 14, Облачность и атмосферные явления, 1970; საქართველოს სამეცნიერო-გამოყენებითი კლიმატური ცნობარი, ნაწ.1, 2011)

H(გ)	საერთო ღრუბლიანობა			ქვედა იარუსის ღრუბლიანობა		
	ბალი			ბალი		
	0-2	3-7	8-10	0-2	3-7	8-10
შოვი						
1507	29	15	56	44	17	30
მამისონის უღ.						
2854	28	15	57	40	12	48
გაგერი						
474	28	18	54	52	15	33
ონი						
788	31	19	50	47	20	33
ჭრებალო						
525	31	16	53	50	22	28
ამბროლაური						
544	29	20	51	53	23	24
ხერგა						
1131	39	9	52	60	7	33

ნახევრადმოწმენდილი ცის მდგომარეობის ალბათობა ყველა სადგურზე ახლოა ერთმანეთთან (იცვლება 15-20%-ის საზღვრებში) გარდა სადგური ხერგასი, სადაც ის წელიწადში საშუალოდ შეადგენს 9%-ს.

ქვედა იარუსის ღრუბლიანობის შემთხვევაში მოწმენდილი (0-2 ბალი) ცის მდგომარეობის ალბათობა მერყეობს 40(მამისონის უღელტეხილი) – 60(ხერგა) პროცენტის ფარგლებში, მოღრუბლული ცის მდგომარეობის ალბათობა იცვლება 24(ამბროლაური) – 48(მამისონის უღელტეხილი) პროცენტის ფარგლებში, ნახევრადმოწმენდილი ცის მდგომარეობის ალბათობა კი 7(ხერგა) – 23(ამბროლაური) პროცენტის ფარგლებში. მოწმენდილი ცის პირობებში კლიმატის რადიაციული მახასიათებლებზე დიდ გავლენას ახდენენ ატმოსფეროს ფიზიკური თვისებები, რომლების რაოდენობრივად ფასდება გამჭვირვალობის კოეფიციენტით P_2 და ლინკეს სიმღვრივის ფაქტორით T_2 . ჩვენს მიერ ს.სივკოვის მეთოდით (Сивков, 1968).

გამოთვლილი იქნა P_2 და T_2 -ის საშუალოთვიური მნიშვნელობები რაჭა-ლეჩხუმის და ქვემო სვანეთის ტერიტორიისათვის. ამ რეგიონის დაბლობ წინამთის ნაწილში P_2 -ის საშუალოთვიური სიდიდე-ები შეადგენენ იანვარში 80%-ს, მარტში 76%-ს, ივლისში 66%-ს, ოქტომბერში 77%-ს.

ადგილის აბსოლუტური სიმაღლის მატების შემთხვევაში გამჭვირვალობის კოეფიციენტის სიდიდე მატულობს. სიმღვრივის ფაქტორის სიდიდე კი კლებულობს, რაც განპირობებულია ატმოსფეროს სისქის და მასში წყლის ორთქლის და აეროზოლების კონცენტრაციის შემცირების შედეგად. დამოკიდებულებები: $P_2=f(H)$ და $T_2=f(H)$ ცენტრალური კავკასიონის სამხრეთი ფერდობისათვის ჩვენს მიერ დადგენილია (Сивков, 1968)-ში. ეს დამოკიდებულებები შეიძლება გამოყენებული იქნეს რაჭა-ლეჩხუმის მთიანი რაიონებისათვის P_2 და T_2 სიდიდეების გამოსათვლელად: მაგალითად, ამ დამოკიდებულებებს იანვრის თვისათვის აქვს შემდეგი ანალიზური სახე:

$$P_2 = 0,664 + 0,1137H - 0,0138H^2 \quad (1)$$

$$P_2 = 3,14e^{-0,241H} \quad (2)$$

მოწმენდილი ცის პირობებში ატმოსფეროში მზის პირდაპირი რადიაციის ინტენსივობა მცირდება მოლეკულებზე გაბნევით, წყლის ორთქლის მიერ შთანთქმით, ატმოსფეროში არსებულ აეროზოლებზე გაბნევით და შთანთქმით. მზის პირდაპირი რადიაციის ინტენსივობის შემცირების სიდიდე დამოკიდებულია მზის სიმაღლეზე (სხვივის მიერ განვლილ მანძილზე ატმოსფეროში). მზის სიმაღლის მატებისას 10-70°-ის ფარგლებში პირდაპირი რადიაციის ინტენსივობის შემცი-

რების სიდიდე რაჭა-ლეჩხუმის დაბლობ ტერიტორიაზე ეცემა 0,85კვტ/მ-დან 0,49კვტ/მ-დან (ე.ი. თითქმის ორჯერ).

რაჭა-ლეჩხუმის რეგიონის ტერიტორიის დაბლობი ნაწილის რადიაციული კლიმატის მახასიათებლების სიდიდეები მოწმენდილი ცის შემთხვევაში (მზის პირდაპირი რადიაცია სხივისადმი მართობულ და ჰორიზონტალურ ზედაპირზე S/S' გაბნეული D და ჯამური რადიაცია $Q=S'/D$) უმნიშვნელოდ განსხვავდებიან სადგურ ანასეულ-ში არსებული შესაბამისი მნიშვნელობების სიდიდეებისაგან (Пивоварова, Стадник, 1969).

დაბლობი რაიონების პირობებში ტერიტორიაზე რადიაციის სიდიდეებს შორის კავშირის ხარისხის მახასიათებელი-კორელაციის კოეფიციენტის (r) 0,50 და მეტი მნიშვნელობის შემთხვევაში სადგურებს შორის ოპტიმალური მანძილის სიდიდე აღემატება (ჯამური და გაბნეული რადიაციების ჯამების შემთხვევაში) 300კმ-ს. ამ შემთხვევაში ინტერპოლაციის სიზუსტე (მხედველობაშია თვიური ჯამები) სადგურებს შორის შეადგენს 0,2კალ/სმ თვეებს.

მოწმენდილი ცის შემთხვევაში სადგურებზე ცაგერი, ამბროლაური, ჭრებალო, რომლებიც განლაგებულია შესაბამისად 474, 544 და 525 მეტრზე ზღვის დონიდან წელიწადში სხივისადმი მართობულ და ჰორიზონტალურ ზედაპირზე მზის პირდაპირი S/S' გაბნეული D და ჯამური რადიაციის Q ჯამები შესაბამისად ტოლია 11300,0, 6290,0, 1320,6 და 7610,6 მჯ/მ-ისა.

რაჭა-ლეჩხუმის და ქვემო სვანეთის მთიანი რაიონისათვის (სა-დაც აქტინომეტრიული დაკვირვების მასალები არ არსებობს) რადიაციული ბალანსის და მისი მდგენელების სიდიდეები დადგენილი იქნა სითბური ბალანსის მდგენელების კლიმატოლოგიური გამოთვლების მეთოდიკით (Будыко, Берлянд, Зубенок, 1954).

ამ მეთოდიკის თანახმად ღრუბლიანობის საშუალო პირობებისათვის ჯამური რადიაციის თვიური ჯამები $\Sigma Q_{\text{დ}}$ გამოითვლება სავინოვ-ანგსტრემის ფორმულით:

$$\Sigma_{\sigma} Q_{\text{დ}} = \Sigma_{\sigma} Q_0 [1 - (1 - k)n] \quad (3)$$

სადაც $\Sigma Q_{\text{დ}}$ არის ჯამური რადიაციის თვიური ჯამები მოწმენდილი ცის პირობებში, K -ღრუბლიანობის კოეფიციენტი, რომელიც წარმოადგენს მთლიანი მოღრუბლულობის პირობებში ჯამური რადიაციის სიდიდის შეფასებას, მოწმენდილი ცის შემთხვევაში არსებული შესაძლო ჯამური რადიაციის სიდიდესთან. K არის მზის სი-

მაღლის, ღრუბლიანობის, ქვეფენილი ზედაპირის ალბედოს და ადგილის აბსოლუტური სიმაღლის ფუნქცია, რის შედეგად მას გააჩნია თვის და წლიური სვლა. მთიანი რაიონისათვის ჯამური რადიაციის თვიური ჯამების გამოთვლისას აუცილებელია რომ ცნობილი იყოს მოწმენდილი ცის შემთხვევაში ჯამური რადიაციის თვიური ჯამების ΣQ_0 სიდიდეები (რაიონის შესაბამისი განედისათვის) და ღრუბლინობის კოეფიციენტის (K) ადგილის აბსოლუტურ სიმაღლეზე დამოკიდებულების თავისებურებები. ჩვენს მიერ სოხუმისა და ანასეულის აქტინომეტრიულ სადგურებზე მოწმენდილი ცისა და მოღრუბლობის საშუალო პირობებში ჯამურ რადიაციაზე და ღრუბლიანობაზე ჩატარებული დაკვირვებების მონაცემებით (3) გამოთვლილი იქნა K-ს საშუალოთვიური სიდიდეები, რომლებმაც გვიჩვენა, რომ ღრუბლიანობის კოეფიციენტს გააჩნია გრავეული წლიური სვლა მაქსიმუმით წელიწადის თბილი (IV-X) და მინიმუმით ცივი (XI-III) პერიოდისათვის (ცხრილი 1.2.2).

აღსანიშნავია, რომ კოლხეთის დაბლობის შესაბამისი განედისათვის K-ს მნიშვნელობა (Будыко, Берлянд, Зубенок, 1954) წელიწადის განმავლობაში მუდმივია და ტოლია 0,34-ისა.

ცხრილი 1.2.2. დამოკიდებულება ადგილის აბსოლუტურ სიმაღლეზე

ადგილის სიმაღლე (მ)	0	1000	2000	3000
K ₁	0.21	0.26	0.33	0.42

რაჭა-ლეჩეუმის რეგიონისათვის ამ მეთოდიკით გამოთვლილი იქნა საშუალო ღრუბლიანობის გათვალისწინებით ჯამური რადიაციის (ΣD_0 , ΣQ_0) თვიური და წლიური ჯამები. გამოთვლებისას გათვალისწინებული იყო K-ს წლიური მსვლელობა. შრომაში (Берлянд, 1960) შედარებით გრძლევადიანი დაკვირვებების მოვაცემების გამოყენებით ღრუბლიანობის პირობებში ჯამური რადიაციის თვიური ΣQ_0 გამოსათვლელად მიღებული იქნა შემდეგი სახის გამოსახულება:

$$\Sigma D_0 = \Sigma Q_0 [1 - (a + b \eta)] \quad (4)$$

რომელშიც a, b და n- უგანზომილებო კოეფიციენტებია. a წარმოადგენს ადგილის განედის ფუნქციას. მას ფიქსირებული განედისათვის წელიწადის თვეების მიუხედავად გააჩნია ერთი მუდმივი მნიშვნელობა b=0,38. ჩვენი გამოთვლებით დადგინდა, რომ კოეფიციენტ a-ს გააჩნია გარკვეული წლიური სვლა. კოლხეთის დაბლობი-

სათვის ა-ს მნიშვნელობები წელიწადში იცვლება 0,27(მაისი) – 0,52(ნოემბერი)-ის საზღვრებში მაქსიმუმით წელიწადის ცივ და მინი-მუმით თბილ პერიოდში (ცხრილი 1.2.3).

ცხრილი 1.2.3. K-ს მნიშვნელობები კოლხეთის დაბლობისათვის: K₁-ჩვენი გამოსავლებით, K₂-რუსეთის მთავარი გეოფიზიკური ობსერვატორის მონაცემებით, K₃-თბერლიანდის ფორმულით

	I	II	III	IV	V	VI	VII	VIII	IX	X	XI	XII
K ₁	0.37	0.36	0.35	0.37	0.38	0.39	0.37	0.37	0.38	0.38	0.37	0.35
K ₂				0.34								
K _{3-ი}	0.40	0.39	0.34	0.33	0.27	0.30	0.31	0.31	0.34	0.42	0.45	0.43

როგორც ცნობილია, მთელ რიგ შრომებში (Стейнхаузер, 1951; Диртнеирн, 1951; Борзенкова, 1965) მთანი რეგიონების შემთხვევაში ΣD_{φ} -სიდიდეების გამოსათვლელად მოცემულია ღრუბლიანობის კოეფიციენტის სიდიდის ადგილის აბსოლუტურ სიმაღლეზე (H) და-მოკიდებულებების ანალიზური სახეები. მაგალითად, ალპების შემთხვევაში შრომებში (Стейнхаузер, 1951; Диртнеирн, 1951) მოცემულია ღრუბლიანობის კოეფიციენტის დამოკიდებულება ადგილის აბსოლუტურ სიმაღლეზე ცხრილის და ანალიზური სახით:

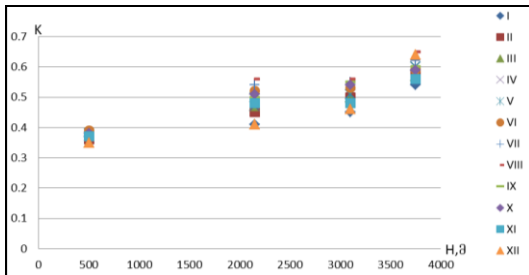
$$K = \frac{1}{100} \left(21 + \frac{3}{100} H \right) \quad (5)$$

სადაც H არის სადგურის სიმაღლე ზღვის დონიდან მეტრებში. შრომაში (Борзенкова, 1965) შეა აზის და კავკასიონის მთების სისტემებისათვის ღრუბლიანობის კოეფიციენტის დამოკიდებულებას ადგილის აბსოლუტურ სილაღლეზე აქვს შემდეგი ანალიზური სახე:

$$K = \frac{1}{100} (K_0 + 0,05H) \quad (6)$$

სადაც K_0 არის ღრუბლიანობის კოეფიციენტის მნიშვნელობა დედამიწის ზედაპირზე, H კი ადგილის აბსოლუტური სიმაღლე

მეტრებში. ჩვენს შრომაში (Samukashvili, 2016). მთავარი კავკასიონის ჩრდილოეთი ფერდობის 0,5-3,8გმ სიმაღლეთა დიაპაზონში განლაგებული ოთხი სადგურისათვის (ნალჩიკი 500მ, ობსერვატორია ტერკოლი 2150მ, ტერსკოლის პიკი 3100მ, ყინულოვანი ბაზა 3800მ) ღრუბლიანობის საშუალო პირობებისათვის გამოთვლილი იქნა ღრუბლიანობის კოეფიციენტის (K) საშუალოთვიური მნიშვნელობები, რომლებიც მოცემულია ნახ.1.2.1.-ზე და ცხრილ 1.2.4-ში. როგორც ამ ცხრილიდან ჩანს, ღრუბლიანობის კოეფიციენტი ადგილის სიმაღლის ზრდით სინქრონულად მატულობს.



ნახ. 1.2.1 ღრუბლიანობის კოეფიციენტის დამოკიდებულება ადგილის აბსოლუტურ სიმაღლეზე $K=f(H)$.

ცხრილი 1.2.4. ღრუბლიანობის კოეფიციენტის (K) მნიშვნელობები კავკასიონის ჩრდილოეთ ფერდობზე (Samukashvili, 2016)

თ 3 ვ												
I	II	III	IV	V	VI	VII	VIII	IX	X	XI	XII	
500,გ												
0.37	0.36	0.35	0.37	0.38	0.39	0.37	0.37	0.38	0.38	0.37	0.35	
2150,გ												
0.41	0.45	0.47	0.47	0.50	0.52	0.54	0.56	0.50	0.51	0.48	0.41	
3100,გ												
0.45	0.50	0.50	0.51	0.51	0.53	0.55	0.56	0.55	0.54	0.48	0.46	
3750,გ												
0.54	0.58	0.57	0.60	0.60	0.59	0.62	0.65	0.60	0.59	0.56	0.64	

რაჭა-ლეჩხუმის სადგურებისათვის მოღრუბლულობის საშუალო პირობებში ჯამური რადიაციის საშუალოთვიური და წლიური ჯამების სიდიდე გამოთვლილი იქნა ნახ.1.2.1.-ზე და ცხრ.1.2.4.-ში მოყვანილი K_0 -ის სიდიდეების გამოყენებით (ცხრილი 1.2.5.)

ცხრილი 1.2.5. მოღრუბლელობის საშუალო პირობებში ჯამური რადიაციის საშუალოთვიური და წლიური მნიშვნელობები (მჯ/მ²)

თ 3 კ												წელი
I	II	III	IV	V	VI	VII	VIII	IX	X	XI	XII	
ჭრებალო												
6.0	8.3	11.7	15.4	17.9	20.0	19.1	17.8	14.9	10.7	7.44	5.4	154.6
ცაგერი												
6.0	8.0	10.8	14.6	17.6	19.4	18.5	17.2	13.2	11.0	7.2	5.3	158.8
ამბროლაური												
6.0	8.3	11.2	15.1	17.9	20.3	19.1	17.8	15.1	11.0	7.4	5.4	153.9
შოვი												
6.2	8.7	12.3	16.4	18.2	20.9	20.9	19.1	15.8	11.8	7.8	5.7	163.8
ონი												
6.5	8.7	11.5	15.4	17.9	20.0	19.5	18.3	14.8	10.9	7.3	5.3	156.0
ხერგა												
6.3	9.0	12.5	16.0	18.1	20.2	20.1	18.6	15.1	11.5	7.4	5.5	160.3
მამისონის უღ.												
7.1	10.1	14.0	18.0	20.5	22.9	22.8	23.2	17.0	12.8	8.8	6.4	183.6

ცხრილი 1.2.6. ღრუბლიანობის საშუალო პირობებში რადიაციული ბალანსის წლიური ჯამების მნიშვნელობები, მჯ/მ²

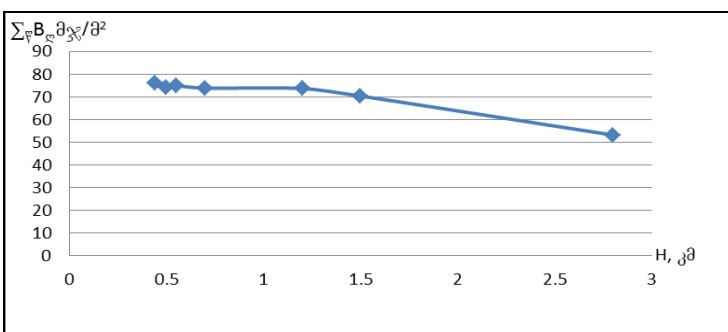
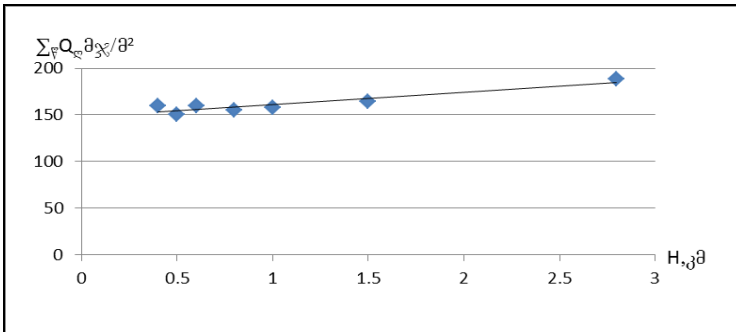
საცენტრი	ჭრებალო	ცაგერი	ამბროლაური	შოვი	ონი	ხერგა	მამისონის უღ.
ΣშB _ღ	77,4	76,2	73,9	70,4	74,9	73,7	53,2

როგორც ცხრილ 1.2.5.-დან ჩანს რაჭა-ლეჩხუმის რეგიონში ადგილის აბსოლუტური სიმაღლის მატებისას 474 მეტრიდან (ცაგერი) 2854 მეტრამდე (მამისონის უღ.). ჯამური რადიაციის წლიური ჯამები მატულობს 154,6მჯ/მ²-დან 183,6 მჯ/მ²-მდე.

რაჭა-ლეჩხუმის სადგურებისათვის რადიაციული ბალანსის წლიური ჯამების სიდიდე გამოთვლილი იქნა (Samukashvili, 1987)-ში მოცემული შემდეგი სახის ფორმულით:

$$\sum_{\beta} B_{\varphi} = \sum_{\beta} Q_{\varphi} (0,48 - 0,023H^2) \quad (7)$$

დამოკიდებულებების $\sum_{\beta} Q_{\varphi} = f(H)$ და $\sum_{\beta} B_{\varphi} \partial \chi / \partial^2 = f(H)$ გრაფიკული
სახე მოცემულია ნახ.1.2.2.-ზე.



ნახ.1.2.2.დამოკიდებულებები: $\sum_{\beta} Q_{\varphi} = f(H)$ და $\sum_{\beta} B_{\varphi} = f(H)$

როგორც ნახ.1.2.2-დან ჩანს რაჭა-ლეჩეუმის ტერიტორიაზე ადგილის აბსოლუტური სიმაღლის მატებისას 0-3კმ-ის ფარგლებში მოღრუბლულობის საშუალო პირობებში ჯამური რადიაციის წლიური ჯამები იზრდება $148\text{m}\chi/\text{m}^2$ -დან $191,5\text{m}\chi/\text{m}^2$ -მდე, რადიაციული ბალანსის წლიური ჯამები კი მცირდება $75\text{m}\chi/\text{m}^2$ -დან $53\text{m}\chi/\text{m}^2$ -მდე.

დამოკიდებულება $\sum_{\beta} Q_{\varphi} = f(H)$ ანალიზურად წარმოდგენება წრფივი ფუნქციის სახით:

$$\sum_{\beta} Q_{\varphi} = 16,6H + 141,7 \quad (8)$$

ამ ფორმულიდან გამომდინარე რაჭა-ლეჩეუმის წინა მთის ზონაში ($H=0,5\text{კმ}$) $\sum_{\beta} Q_{\varphi}=150,0\text{m}\chi/\text{m}^2$ -ს, დაბალი მთის ზედა საზღვარზე ($H=1\text{კმ}$) $\sum_{\beta} Q_{\varphi}=158,3\text{m}\chi/\text{m}^2$ -ს, შუა მთის ზონის ზედა საზღვარზე ($H=2\text{კმ}$)

$$\sum Q_{\text{f}} = 174,9 \text{ Mj}^{\circ}/\text{m}^2\cdot\text{s}, \quad \text{მაღალი} \quad \text{მთის} \quad \text{ზონის} \quad 3\text{კმ} \quad \text{სიმაღლეზე}$$

$$\sum Q_{\text{f}} = 191,5 \text{ Mj}^{\circ}/\text{m}^2\cdot\text{s}.$$

რადიაციული ბალანსის წლიური ჯამი რაჭა-ლეჩხუმის წინა მთის ზონაში ($H=0,5\text{ კმ}$) შეადგენს $75\text{ Mj}^{\circ}/\text{m}^2\cdot\text{s}$, დაბალი მთის ზედა საზღვარზე ($H=1\text{ კმ}$)- $72,5\text{ Mj}^{\circ}/\text{m}^2\cdot\text{s}$, შუა მთის ზონის ზედა საზღვარზე ($H=2\text{ კმ}$)- $64\text{ Mj}^{\circ}/\text{m}^2\cdot\text{s}$, მაღალი მთის ზონის 3კმ სიმაღლეზე $-50,0\text{ Mj}^{\circ}/\text{m}^2\cdot\text{s}$.

1.3.ატმოსფერული ჰაერის წნევა

ატმოსფერული ჰაერის წნევის სიდიდე წარმოადგენს ადგილის აბსოლუტური სიმაღლის, ოროგრაფიის (მთიანი რელიეფის ელემენტების ორიენტაცია და დახრილობის კუთხე) და ატმოსფეროში მიმდინარე მაკროცირკულაციური პროცესების (ციკლონები, ანტიციკლონები) ფუნქციას. გარდა ამისა, დღე-ღამის მონაცემების შედეგად ატმოსფერულ წნევას გააჩნია გარკვეული დღე-ღამური სვლა. ადგილის აბსოლუტური სიმაღლის ზრდის შემთხვევაში ატმოსფერული წნევის სიდიდე კლებულობს, რაც განპირობებულია მისი სისქის, ასევე სიმკვრივის, ტენიანობის და აეროზოლების კონცენტრაციის შემცირებით. მთიან რაიონებში რელიეფის ელემენტების რადიაციული და სითბური ბალანსის სიდიდის ფორმორებაზე დიდ გავლენას ახდენს მათი აბსოლუტური სიმაღლე, ორიენტაცია და დახრილობა, რის შედეგად ფიქსირებულ აბსოლუტურ სიმაღლეზე ატმოსფერული წნევის ერთმანეთისაგან განსხვავებული სიდიდეებია. მთიან რაიონებში ატმოსფერული წნევის გარდა უარყოფითად მოქმედებს ადამიანის ორგანიზმში მიმდინარე ფიზიოლოგიურ პროცესებზე. იმ ფაქტორებიდან, რომლებიც მთიან რეგიონებში დიდ სიმაღლეებზე ნეგატიურ გავლენას ახდენენ ადამიანის ორგანიზმის ნორმალურ ფუნქციონირებაზე განსაკუთრებით აღსანიშნავია ატმოსფეროში ჟანგბადის პარციალური წნევის ვარდნა. ზღვის დონეზე ჟანგბადის პარციალური წნევა შეადგენს ვერცხლისწყლის სვეტის 85მმ-ს. დიდ სიმაღლეებზე ჟანგბადის პარციალური წნევის ვარდნა ზღვის დონეზე არსებულ მის წნევასთან შედარებით 12-14%-მდე ადამიანის ორგანიზმში იწვევს მწვავე ჰიპოქსიას (ჟანგბადის შიმშილს), რომლის დროსაც ადამიანის ორგანიზმში აღინიშნება ტახიკარდია (დროის ერთეულში გულის შეკუმშვის სიხშირის მკვეთრი ზრდა). ეს პროცესი შეიძლება დაიწყოს 2000-3000 მეტრის სიმაღლეზე და გულის შეკუმშვის სიხშირემ განაგრძოს ზრდა სიმაღლის შემდგომი მატების შთხვევაში, რომელსაც შეიძლება მოყვეს ცნობიერების დაკარგვა. დიდ სიმაღლეზე ასევე აღინიშნება ადამიანის სისხლში ჰემოგლობინისა და ერითროციტების რაოდენ-

ობის ზრდა. იმ შემთხვევაში, როდესაც ერითროციტების რაოდენობა გაიზარდა ზღვის დონეზე არსებულ რაოდენობასთან შედარებით 60%-ით, იგი შეიძლება გახდეს ორგანიზმი სისხლის ნორმალური მიმოქცევის დარღვევის სერიოზულ მიზეზად და სხვა.

ადსანიშნავია, რომ მთიან რაიონებში ხანგრძლივი ცხოვრების პირობებში ადამიანის ორგანოზმი იძენს გარემოს შეცვლილ პირობებთან შეგუების (აკლიმატიზაციის) უნარს, რომლის შედეგად მას არა მარტო შეუძლია ამ პირობებში არსებობა, არამედ სასარგებლი საქმიანობის წარმოებაც (Биоклиматология, 1965).

მთაგორიანი რელიეფის პირობებში ატმოსფერული წნევის სხვა კლიმატურ მახასიათებლებთან კავშირის დადგენის მიზნით, მისი მნიშვნელობები დაყვანილი უნდა იქნეს ზღვის დონეზე ბარომეტრული ნიველირების მეთოდით, ე.ი. სპეციალური ფორმულით, რომლის გამარტივებულ ვარიანტს წარმოადგენს ბაზინეს ფორმულა:

$$\Delta Z = 16000 \left(1 - 0,004t\right) \frac{P_0 - P_1}{P_0 + P_1} \quad (1)$$

სადაც t არის ჰაერის ფენის საშუალო ტემპერატურა სადგურების სიმაღლესა_ Z_1 და ზღვის დონეს_ Z_0 მორის, P_0 და P_1 -წარმოადგენენ ჰაერის წნევას ზღვის დონეზე და სადგურის სიმაღლეზე (ჰაერის ფენის ქვედა და ზედა საზღვრებზე), ΔZ წარმოადგენს სადგურის სიმაღლეს ზღვის დონიდან.

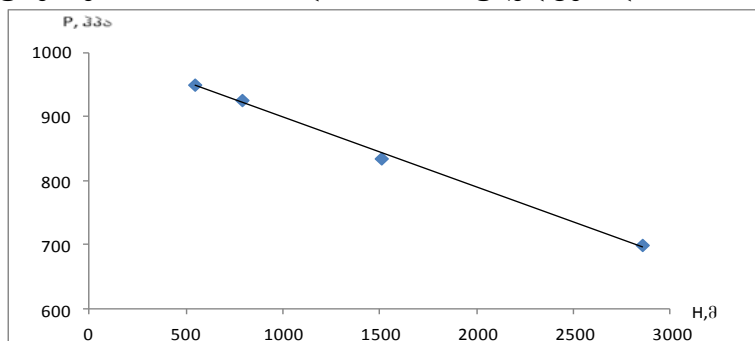
რაჭა-ლეჩხუმის და ქვემო სვანეთის ტერიტორიისათვის ზღვის დონეზე დაყვანილი ატმოსფერული წნევის საშუალოთვიური (I,VII) და წლიური სიდიდეები მოცემულია ცხრილ 1.3.1.-ში.

როგორც ცხრილ 1.3.1.-დან ჩანს ატმოსფერული წნევის საშუალოწლიური მნიშვნელობების სიდიდე დამოკიდებულია სადგურის სიმაღლეზე. სადგურის აბსოლუტური სიმაღლის მატების სინქრონულად ატმოსფერული წნევის საშუალო- წლიური მნიშვნელობები კლებულობს. მაგალითად, სადგურ ამბროლაურში, რომლის სიმაღლე შეადგენს 544მ-ს ზღვის დონიდან წნევის საშუალოწლიური სიდიდე ტოლია 950ჰპა-სა, ხოლო შოვში (1507მ)- 835ჰპა-სა, მამისონის უღ.-ზე (2854მ) კი 700ჰპა-სა. მამისონის უღ.-ზე ამბროლაურთან შედარებით ატმოსფერული წნევის საშუალოწლიური სიდიდე ეცემა 250ჰპა-ით.

ცხრილი 1.3.1. ატმოსფერული წნევის საშუალოწლიური სიდიდეები (ჰპა). ზღვის დონეზე (საქართველოს სამეცნიერო-გამოყენებითი კლიმატური ცნობარი. ნაწ.1, 2004)

y	λ	$H,\text{მ}$	ატმოსფერული წნევა, ჰპა
ამბროლაური			
42°09'	43°09'	544	950
მამისონის უღ.			
42°42'	43°47'	2854	700
ონი			
42°35'	43°27'	788	926
შოვი			
42°42'	43°41'	1507	835

ნახ. 1.3.1-ზე მოცემულია სადგურების დონეზე ატმოსფერული წნევის საშუალო წლიური მნიშვნელობების P (ჰპა) ადგილის აბსოლუტურ სიმაღლეზე ($H,\text{მ}$) დამოკიდებულების გრაფიკული სახე. ექსტრაპოლაციის მიზნით გამოყენებულია წნევის მნიშვნელობები: სადგურებზე ბახმარო (1926მ) და მამისონის უღელტეხილი (2854მ).



ნახ. 1.3.1. დამოკიდებულება $P=f(H)$

ნახ. 1.3.1.-ზე წარმოდგენილი დამოკიდებულება ანალიზურად წარმოიდგინება წრფივი ფუნქციის სახით:

$$P = 1000 - 100H \quad (2)$$

ამ ფორმულის თანახმად 0,5მ სიმაღლეზე $P=950\text{ჰპა-ს}$, 1კმ სიმაღლეზე $P=900\text{ჰპა-ს}$, 2კმ სიმაღლეზე $P=800\text{ჰპა-ს}$, 3კმ სიმაღლეზე $P=700\text{ჰპა-ს}$.

1.4 ატმოსფეროს ცირკულაციური პროცესები

დასავლეთ საქართველოს კლიმატი განპირობებულია ატმოსფეროს ცირკულაციის ფორმათა ნაირსახეობით. ეს ნაირსახეობა შეიძლება გამოწვეული იყოს მათი ფორმათა ინტენსივობით, ხანგრძლივობით, მონაცვლეობით, გადანაცვლების სიჩქარითა და მიმართულებით.

დასავლეთ საქართველოში არსებული ცირკულაციური პროცესების ნაირფეროვნება ბარიული წარმონაქმნების გადაადგილების უპირატესი მიმართულების მიხედვით შეიძლება დაყვანილი იყოს შემდეგ ძირითად ტიპებზე:

_ზონალური ზემოქმედება უმეტესად დასავლეთის მდგენელით (W). ეს ტიპი იშვიათია იანვარში, საშუალოდ თვეში 1 შემთხვევა, აპრილში და ოქტომბერში შემთხვევათა რიცხვი იზრდება და შეადგენს თვეში 4 დღეს. აგვისტოში შემთხვევათა რიცხვი უდიდესია და აღწევს 9-ს.

_ზონალური ზემოქმედება აღმოსავლეთის მდგენელით (E). იანვარში ასეთი შემთხვევათა რიცხვი უდიდესია და შეადგენს საშუალოდ 7 დღეს. აგვისტომდეან ოქტომბრამდე ასეთი პროცესების აღბათობა პრაქტიკულად ნულის ტოლია.

_მერიდიანული ზემოქმედება ჩრდილოეთის მდგენელით (N). ამ ტიპის აღბათობა უმცირესია იანვარში, არაუმეტეს 3 დღისა. აპრილიდან აგვისტომდე მათი აღბათობა თვეში საშუალოდ 4-5 დღეა.

_მერიდიანული ზემოქმედება სამხრეთის მდგენელით (S). ეს ტიპი გამოირჩევა სტაბილურობით და ძირითადად გვხვდება თვეში საშუალოდ 9-11 დღე.

_ასევე სტაბილურიბით გამოირჩევა ანტიციკლონური მდგომარეობა (A). მისი აღბათობა შეადგენს თვეში 8-10 დღეს.

ზონალურ ტიპში გაერთიანებულია პროცესები, როდესაც ჰაერის მასები გადაადგილდება აღმოსავლეთიდან დასავლეთისაკენ ან უფრო მეტად დასავლეთიდან აღმოსავლეთისაკენ. ჩვენთვის უფრო მნიშვნელოვანია ზონალური ტიპის პროცესები (W), რომელიც დაკავშირებულია აზორის ანტიციკლონის გაძლიერებასთან ან მის აღმოსავლეთის თხემის საკვლევ ტერიტორიაზე მნიშვნელოვანი გავლენით. მერიდიანული პროცესები (N) ძირითადად გამოწვეულია ხმელთაშუა ზღვის ციკლონის გაძლიერებით ან ჰაერის ცივი მასების შემოჭრასთან დასავლეთ საქართველოში ჩრდილო-დასავლეთიდან.

თითოეული ტიპი ხასიათდება ამინდის განსხვავებული თვისებებით სეზონების მიხედვით. შემდგომი დეტალიზაციისათვის გავარჩიოთ ერთმანეთისაგან ფრონტალური და შიდამასიური პროცესები. ფრონტალური პროცესები განსხვავდება ერთმანეთისაგან ფრონტის ინტენსივობით, გადაადგილების სიჩქარითა და მიმართულებით. ფრონტალური და შიდამასიური პროცესების მიმართულება, კერძოდ დღეთა რიცხვის რაოდენობა თვეების მიხედვით ასეთ სურათს იძლევა: ფრონტალური ტიპისათვის დამახასიათებელი ამინდი საკვლევ ტერიტორიაზე აღინიშნება აგვისტო-ოქტომბერში და საშუალოდ შეადგენს თვეში 8 დღეს. ფრონტალური დღეების უდიდესი რაოდენობა შეადგენს 16 დღეს და აღინიშნება აპრილში.

რაც შეეხება შიდამასიურ პროცესებს, უდიდესი აღვისტო-ოქტომბერში და აღწევს თვეში 23 დღეს. უმცირესი რაოდენობა შესაბამისად გვხვდება აპრილში და შეადგენს თვეში 14 დღეს. ამინდის ფორმირებაზე დიდი გავლენა აქვს შავი ზღვის სიახლოვეს, თუმცა სეზონების მიხედვით ეს გავლენა განსხვავებულია. ზოგადად შავი ზღვის სიახლოვე ზრდის რეგიონში ფარდობით სინოტივეს და ამცირებს ტემპერატურის კონტრასტს. შავი ზღვის გავლენა საგრძნობლად მცირდება ზღვიდან დაშორებისა და აბსოლუტური სიმაღლის ზრდის პროპორციულად. ეს ძირითადად ვრცელდება რეგიონის დაბლობ ნაწილზე (500-800მ), სადაც ცხოვრობს მოსახლეობის უმეტესობა და იწარმოება სასოფლო-სამეურნეო პროდუქციის უდიდესი ნაწილი. რეგიონის სიმცირის მიუხდავად აქ აღინიშნება კლიმატური ზონების მრავალფეროვნება ნოტიო სუბტროპიკულიდან კონტინენტურ ჰავამდე.

**თავი II პლიმატის ძირითადი გლობალურის ფერითორიული
განაწილების კანონზომის მიმღებანი**

2.1. ჰაერის ტემპერატურა

ჩრდილო-დასავალურის და ქვემო სვანეთის ტერიტორიაზე, მისი ფიზიკურ-გეოგრაფიული მრავალფეროვნების და სიმაღლეთა სხვაობის დიდი დაბაზონის გამო, ტემპერატურის განაწილებას კონტრასტული ხასიათი აქვს, რაც კარგად ჩანს ქვემოდ წარმოდგენილი ცხრილიდან (ცხრილი 2.1.1).

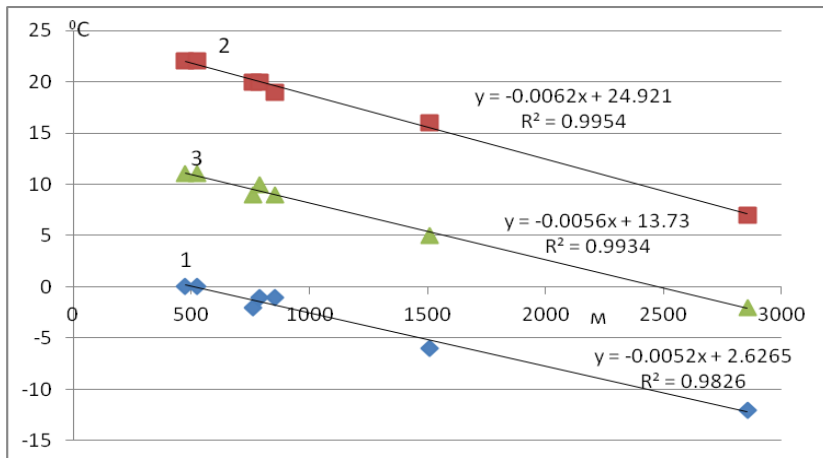
ცხრილი 2.1.1 ჰაერის ტემპერატურა °C

თ 3 0													წელი
I	II	III	IV	V	VI	VII	VIII	IX	X	XI	XII		
ცაგერი, 474													
0	1.1	5.3	11.1	16.4	19.5	21.8	22.0	17.9	12.5	7.0	1.7	11.4	
ამბროლაური, 524													
-0.3	1.1	5.4	10.9	15.9	19.2	21.9	22.1	17.9	12.5	6.7	1.4	11.2	
ჭრებალო, 525													
-0.6	1.2	5.6	11.2	16.3	19.6	22.1	22.4	18.4	12.7	6.8	1.1	11.4	
ლევეტები, 760													
-1.8	-1.3	3.5	8.9	14.3	17.3	20.0	20.1	15.9	10.6	5.0	-0.3	9.4	
ოონი, 788													
-1.0	0.3	4.0	9.5	14.5	17.6	20.4	20.5	16.4	11.2	5.8	0.8	10.0	
ლაილაში, 853													
-1.4	-0.2	3.2	8.8	13.5	16.7	19.2	19.6	16.0	11.5	6.0	1.3	9.5	
შოვი, 1507													
-5.6	-4.6	-1.2	3.8	9.6	12.8	15.6	15.6	11.4	6.6	1.4	-3.4	5.2	
მამისონის უღ. 2854													
-12.0	12.2	-8.9	-4.1	0.6	3.8	7.3	7.6	4.0	-0.5	-5.3	-9.1	-2.4	

ცხრილის თანახმად ყველაზე ცივი თვე ყველგან იანვარია, ყველაზე თბილი თვეები-ივლისი-აგვისტოა, ხოლო შემოდგომა გაზაფხულზე თბილია.

ცხრილი 2.1.1-დან ჩანს აგრეთვე, რომ ტემპერატურის ცვლილების მთავარი ფაქტორი ადგილის სიმაღლეა. სიმაღლის გაზრდასთან ერთად ტემპერატურა ეცემა. ეს კარგად ჩანს ნახ.2.1.1-ზე

წარმოდგენილი დამოკიდებულებებიდან და მათი აღმწერი შესაბამისი ფუნქციებიდან.

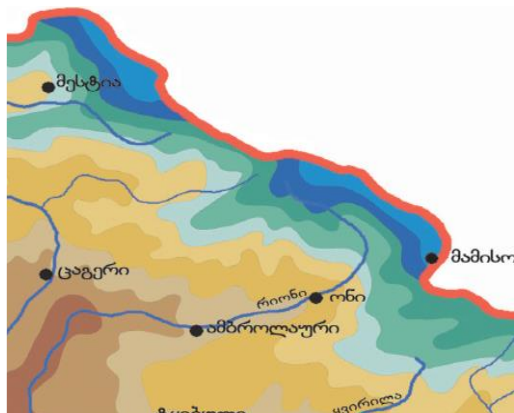


ნახ. 2.1.1. ჰაერის ტემპერატურის ცვლილება სიმაღლის მიხედვით რაჭა-ლეჩხუმი, ქვემო სვანეთის რეგიონში და შესაბამისი აღმწერი ფუნქციები: 1-იანვარი; 2-ივლისი; 3-წელი (R^2 -დეტერმინაციის კოეფიციენტია)

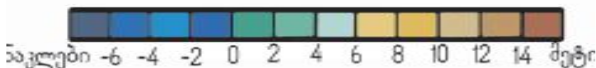
ნახ.2.1.1.-დან და შესაბამისი განტოლებებიდან ჩანს, რომ ტემპერატურა სიმაღლის მიხედვით წრფივად კლებულობს. ტემპერატურის ვერტიკალური გრადიენტი იანვრისა და საშუალო წლიური ტემპერატურებისათვის ყოველ 100მ სიმაღლეზე 0.5° -ს, ხოლო ივლისის ტემპერატურისათვის 0.6° - შეადგენს. ამავე ნახ.-ზე წარმოდგენილი დეტერმინაციის კოეფიციენტი გვიჩვენებს, თუ რამდენია ადგილის სიმაღლის წვლილი ტემპერატურის ცვლილებაში. როგორც დეტერმინაციის კოეფიციენტის მნიშვნელობები გვიჩვენებს, ადგილის სიმაღლის წვლილი ტემპერატურის ცვლილებაში გადამწყვეტია და 100 %-ს უახლოვდება.

ამიღებული განტოლებების მაღალი საიმედობიდან გამომდინარე შეგვიძლია საკმაო სიზუსტით ვიმსჯელოთ სხვადასხვა სიმაღლითი სარტყლის ტემპერატურულ რეჟიმზე და წარმატებით გამოვიყენოთ ისინი სხვადასხვა გაანგარიშებებში.

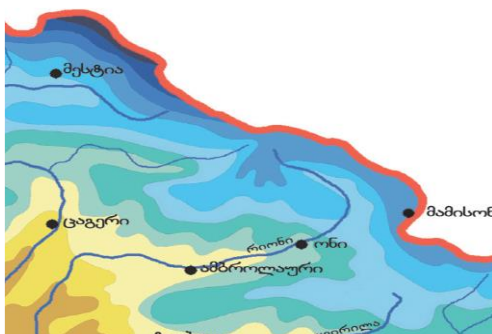
რეგიონის ტერიტორიის ტემპერატურული რეჟიმი კარგად აისახება ნახ.2.1.2.-2.1.6-ზე წარმოდგენილ იზოთერმების რუკებზე (საქართველოს კლიმატური და აგროკლიმატური ატლასი, 2011).



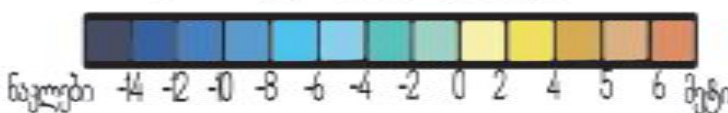
ჰაერის საშუალო ნლიური ტემპერატურა, °C



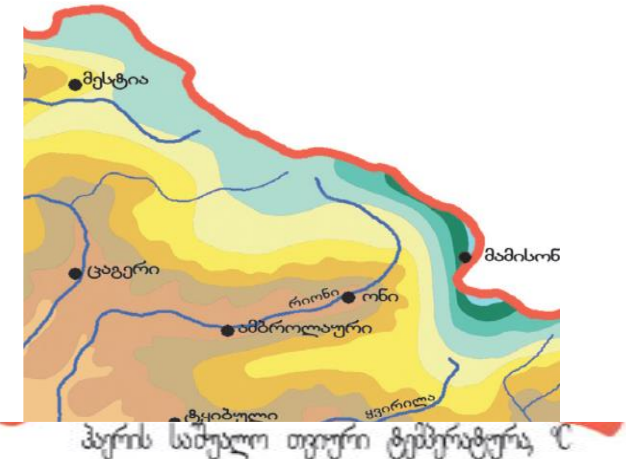
ნახ. 2.1.2. ჰაერის ტემპერატურა (საშუალო წლიური)



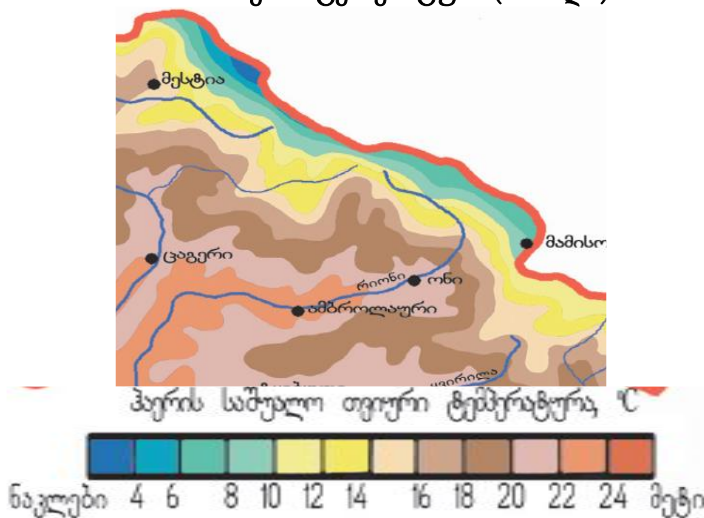
ჰაერის საშუალო თემპერატურა, °C



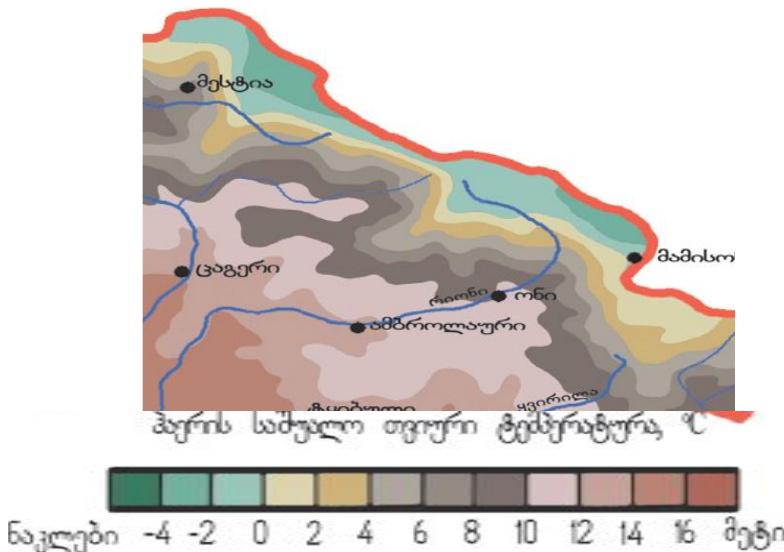
ნახ. 2.1.3. ჰაერის ტემპერატურა (იანვარი)



ნახ. 2.1.4. ჰაერის ტემპერატურა (აპრილი)



ნახ. 2.1.5. ჰაერის ტემპერატურა (ივლისი)



ნახ. 2.1.6. ჰაერის ტემპერატურა (ოქტომბერი)

ნახ.2.1.2-დან ჩანს, რომ ჰაერის საშუალო წლიური ტემპერატურა საკვლევ ტერიტორიაზე ძირითადად დადებითია და მინუს 4-დან 16°-მდე იცვლება. უდიდესი ტემპერატურები აღინიშნება რიონის ხეობაში, ხოლო უმცირესი-კავკასიონის მაღალმთიან ზონაში. ტერიტორიის უდიდეს ნაწილზე ტემპერატურა 4-12° ფარგლებში მერყეობს.

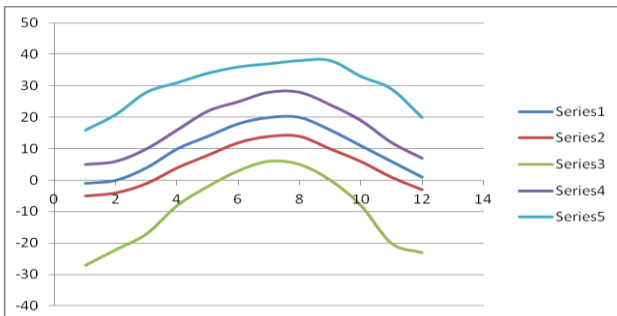
ნახ. 2.1.3-ის თანახმად იანვრის საშუალო თვიური ტემპერატურა მინუს 12-14°C-დან პლიუს 5° C-მდე ფარგლებში მერყეობს. უდიდესი ტემპერატურები აგრეთვე რიონის ხეობაში აღინიშნება, კავკასიონის მაღალმთიან ზონაში კი მინუს 14°C-მდე ეცემა.

აპრილში ტერიტორიის უდიდეს ნაწილზე ტემპერატურა დადებითია და 11°-მდე აღწევს, მაღალმთიან ზონაში კი უარყოფითია. ამ შემთხვევაშიც ყველაზე მაღალი ტემპერატურა აგრეთვე რიონის ხეობაში აღინიშნება, ხოლო ყველაზე დაბალი ტემპერატურა კი კავკასიონის მაღალმთიან ზონაში.

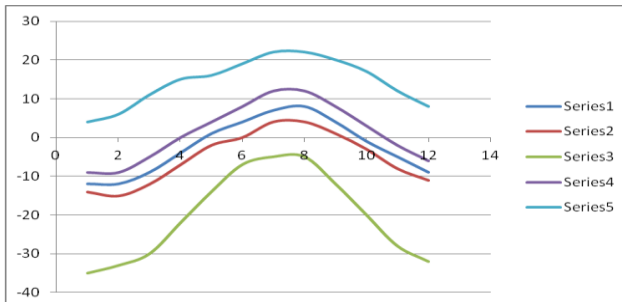
ტემპერატურის წლიური სვლა ხასიათდება მინიმუმით იანვარში, ხოლო მაქსიმუმით ივლის-აგვისტოში. აასეთივე სვლა აქვს ტემპერატურის ექსტრემალურ მახასიათებლებს-აბსოლუტურ მინიმუმს და აბსოლუტურ მაქსიმუმს, საშუალო მინიმუმს და საშუალო მაქსი-

მუმს. ეს კარგად ჩანს ნახ. 2.1.7- დან სადაც წარმოდგენილია ჰაერის ტემპერატურის საშუალო და ექსტრემალური მნიშვნელობების წლიური სელა ორ განსხვავებულ ფიზიკურ-გეოგრაფიულ პირობებში: ონში (788 მ ზღვის დონედან) და მამისონის უღელტეხილზე (2854 მ). ივლისის თვეში ჰაერის საშუალო ტემპერატურა 7°-დან 22°-მდე იცვლება, მაქსიმუმით აგრეთვე აგრეთვე რიონის ხეობაში და მინიმუმით კავკასიონზე.

ა)



ბ)



ნახ. 2.1.7. ჰაერის ტემპერატურის საშუალო და ექსტრემალური მნიშვნელობების წლიური სელა ონში (ა) და მამისონის უღელტეხილზე (ბ): 1-საშუალო; 2-საშუალო მინიმუმი; 3-აბს-ოლუტური მინიმუმი; 4-საშუალო მაქსიმუმი; 5-აბს-ოლუტური მაქსიმუმი.

ოქტომბრის თვის ტემპერატურა მინუს 0.5° -დან პლიუს $12-13^{\circ}$ ფარგლებში მერყეობს. ამ თვეშიც შენარჩუნებულია ძირითადი გეოგრაფიული კანონზომიერება—ტემპერატურის თანდათანობითი დაცემა რიონის ხეობიდან კავკასიონის მიმართულებით, ადგილის სიმაღლის ზრდასთან ერთად.

როგორც ნახ.2.1.7-დან ჩანს, ექსტრემალურ ტემპერატურათა მნიშვნელობაზი რეგიონში საკმაოდ დიდ დიაპაზონში მერყეობს. მაგალითად, მამისონის უდელტებილზე იანვარში ტემპერატურის აბსოლუტური მინიმუმი მინუს 35 გრადუსზე დაბლა ეცემა, ხოლო ზაფხულში ტემპერატურის აბსოლუტური მაქსიმუმი 22-23 გრადუსს აღწევს.

2.2. ჰაერის სინოტივე

ჰაერის სინოტივის ძირითადი მახასიათებლებია წყლის ორთქლის პარციალური წნევა და ჰაერის შეფარდებითი სინოტივე. წყლის ორთქლის პარციალური წნევა, ჰაერის ტემპერატურის მსგავსად, წლიურ სვლაში უმცირეს მნიშვნელობებს ზამთარში, ხოლო უდიდესს მნიშვნელობებს _ზაფხულში აღწევს. ამასთანავე სიმაღლის ზრდით პარციალური წნევაც აგრეთვე კანონზომიერად კლებულობს (ცხრ. 2.2.1).

ცხრილი 2.2.1. ჰაერის წყლის ორთქლის პარციალური წნევა (ჰპა)

თ 3 ე												წელი
I	II	III	IV	V	VI	VII	VIII	IX	X	XI	XII	
ცაგერი, 474												
5.6	5.8	6.7	9.2	13.2	16.7	19.6	19.4	15.8	11.3	8.3	6.3	11.5
ამბროლაური, 524												
5.1	5.3	6.2	8.6	12.4	15.7	18.5	18.9	14.6	10.6	7.8	5.8	10.7
ჭრებალო, 525												
5.2	5.4	6.3	8.8	12.6	16.0	19.0	18.7	15.1	11.0	8.1	5.9	11.0
ლენტეხი, 760												
5.0	5.2	5.7	7.8	11.1	14.1	17.0	16.6	13.3	9.5	7.1	5.5	9.8
ონი, 788												
4.6	4.8	5.4	7.4	10.8	13.8	16.4	15.8	12.8	9.4	6.9	5.2	9.4
შოვი, 1507												
3.5	3.7	4.4	6.0	8.6	11.0	13.2	12.8	10.3	7.2	5.5	4.2	7.5
მამისონის ულ. 2854												
2.0	2.0	2.6	3.8	5.2	6.8	8.6	8.2	6.4	4.4	3.2	2.5	4.6

ცხრილიდან აგრეთვე ჩანს, რომ წლის განმავლობაში პარციალური წნევის საშუალო წლიური მნიშვნელობა რეგიონის ტერიტორიაზე იცვლება დაახლოებით 4-დან 12 ჰპა-მდე ფარგლებში.

იანვარში წყლის ორთქლის პარციალური წნევა უმცირესია და მერყეობს 2-დან 5-6 ჰპა-ფარგლებში. გაზაფხულიდან პარციალური წნევა იზრდება და მაქსიმუმს ივლის-აგვისტოში აღწევს, როდესაც ის 8-20 ჰპა ფარგლებში იცვლება. ზაფხულის შემდეგ პარციალური წნევა ეცემა.

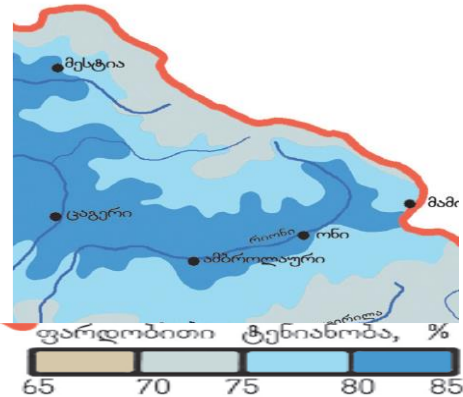
ჰაერის სინოტივის აგრეთვე მნიშვნელოვანი მახასიათებელია შეფარდებითი სინოტივე. ის წარმოადგენს ჰაერში შემავალი წყლის ორთქლის პარციალური წნევის შეფარდებას გაჯერებული წყლის ორთქლის პარციალურ წნევასთან იმავე ტემპერატურაზე და გამოისახება პროცენტებში-(%). ეს პარამეტრი დამოკიდებულია ჰაერის ტემპერატურაზე, ცირკულარულ პროცესებზე, ღრუბლიანობაზე, ქარის რეჟიმზე, ოროგრაფიაზე და ა.შ. შეფარდებით სინოტივეს აგრეთვე ახასიათებს სეზონური სვლა, თუმცა მნიშვნელოვნად დამოკიდებულია ადგილობრივ პირობებზე (ცხრ. 2.2.2.)

ცხრილი 2.2.2 ჰაერის შეფარდებითი სინოტივე (%)

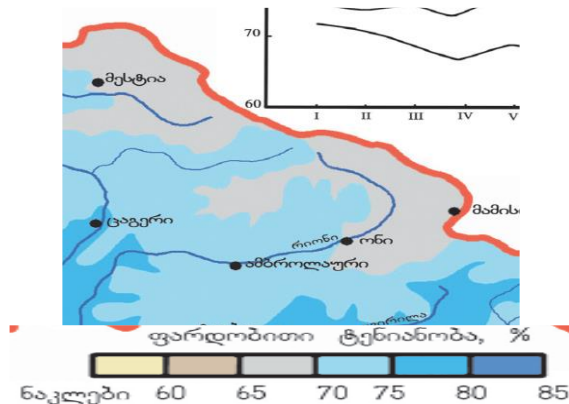
თ 3 ე													წელი
I	II	III	IV	V	VI	VII	VIII	IX	X	XI	XII		
ცაგერი, 474													
84	82	77	72	72	74	75	75	78	83	80	84	78	
ამბროლაური, 524													
81	78	73	68	70	71	72	71	74	78	78	81	75	
ჭრებალო, 525													
84	80	74	68	70	71	73	72	75	80	80	84	78	
ლენტეხი, 760													
85	82	77	71	70	72	74	74	78	81	80	86	78	
ონი, 788													
78	74	70	65	68	70	70	68	72	76	74	77	72	
შოვი, 1507													
80	80	78	76	74	75	76	76	80	80	80	81	78	
მამისონის უღ. 2854													
81	80	83	81	82	82	81	80	80	78	74	76	80	

როგორც ცხრილიდან ჩანს შეფარდებითი სინოტივისსაშუალო წლიური მნიშვნელობა 72-80 % ფარგლებში მერყეობს. წლიურ სვლაში მაქსიმუმი ზამთარში, ძირითადად დეკემბერში ან იანვარში, ხოლო მინიმუმი ძირითადად გაზაფხულზე აღინიშნება.

შეფარდებითი სინოტივის ტერიტორიული განაწილების შესახებ ზამთრის და ზაფხულის სეზონების ცენტრალურ თვეებში წარმოდგენას გვაძლევს ნახ.2.2.1 და ნახ.2.2.2- ზე წარმოდგენილი რუკები (საქართველოს კლიმატური და აგროკლიმატური ატლასი, 2011).



ნახ. 2.2.1. ჰაერის შეფარდებითი სინოტივე (%). იანვარი



ნახ. 2.2.2. ჰაერის შეფარდებითი სინოტივე (%). ივლისი.

როგორც ნახ. 2.2.1-დან ჩანს ჰაერის შეფარდებითი სინოტივე იანვრის თვეში რეგიონის მთელ ტერიტორიაზე იცვლება 65-85%-ს ფარგლებში.

ნახ. 2.2.2-ის თანახმად ივლისში შეფარდებითი სინოტივე იცვლება 65-80%-ს ფარგლებში. სინოტივე უდიდესია მდინარეთა

ხეობებში, ხოლო უმცირესი მაღალმთიან ზონაში. ჰაერის სინოტივის მნიშვნელოვანი მახასიათებელია დღეთა რიცხვი სინოტივის სხვადასხვა მნიშვნელობით.

როდესაც შეფარდებითი სინოტივე ნაკლებია 30%-ზე, მას მშრალ დღეს უწოდებენ, ხოლო როდესაც შეფარდებითი სინოტივე აღმატება 80%-ს, მას ნოტიო დღეს უწოდებენ (იხ.ცხრილი 2.2.3).

ცხრილი 2.2.3 მშრალი (შეფარდებითი სინოტივე $\leq 30\%$) და ნოტიო ($\geq 80\%$) დღეთა რიცხვი

დღეთა რიცხვი	თ 3 ე												ტელი
	I	II	III	IV	V	VI	VII	VIII	IX	X	XI	XII	
ცაგერი													
მშრალი ($\leq 30\%$)	0	0.4	1.4	4.5	2.0	1.2	0.9	1.2	0.8	0.2	0.2	0.2	13.0
ნოტიო ($\geq 80\%$)	10	7.7	6.6	4.6	3.2	2.6	2.1	2.4	2.9	4.1	6.3	10.5	63.0
ონი													
მშრალი ($\leq 30\%$)	0.5	2.3	6.3	9.6	5.9	3.0	2.7	4.8	4.3	4.2	3.3	1.1	48.0
ნოტიო ($\geq 80\%$)	7.9	5.0	4.2	2.4	2.5	1.9	1.6	1.5	2.1	4.3	4.7	6.8	44.9
მამისონის უღ													
მშრალი ($\leq 30\%$)	3.0	2.2	2.0	1.0	0.6	0.4	0.6	1.3	1.9	2.3	3.0	3.9	22.2
ნოტიო ($\geq 80\%$)	18.0	17.7	18.9	15.7	14.5	12.0	12.9	11.4	11.8	15.1	14.1	17.6	179.7

ცხრილის თანახმად მშრალ დღეთა რიცხვი რეგიონის ტერიტორიაზე წელიწადში დაახლოებით 10-50-ფარგლებში იცვლება. შედარებით მეტია ნოტიო დღეთა რიცხვი, როდესაც შეფარდებითი სინოტივე $\geq 80\%$. ასეთი დღეები შეადგენს 45-180-ს და მაქსიმუმს მაღალმთიან ზონაში აღწევს. მშრალ დღეთა რიცხვი უდიდესია ზაფხულში ან შემოდგომაზე, მაღალმთიან ზონაში კი მისი მაქსიმუმი ზამთრის თვეებზე გადაინაცვლებს. ნოტიო დღეთა რიცხვი უდიდესია ზამთარში, ხოლო უმცირესი კი ზაფხულში.

2.3. ატმოსფერული ნალექები

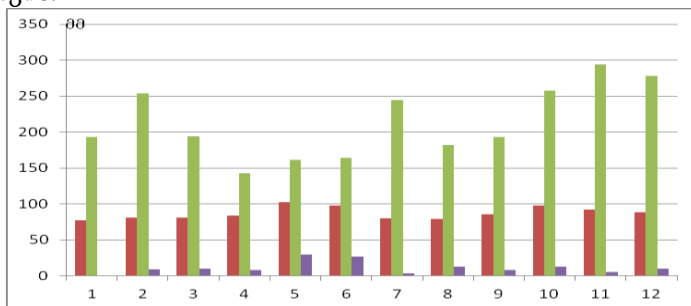
ცხრილში 2.3.1. წარმოდგენილია ატმოსფერული ნალექების თვიური და წლიური ჯამების მნიშვნელობები რეგიონის მთავარ პუნქტებში.

ცხრილი 2.3.1-დან ჩანს, რომ რეგიონის ტერიტორიაზე წლის განმავლობაში უდიდესი ნალექი გაზაფხულზე, ზაფხულის დასაწყისში, ან შემოდგომის დასაწყისში, ხოლო უმცირესი ზამთარში მოდის.

ცხრილი 2.3.1 ატმოსფერული ნალექების თვიური და წლიური ჯამები, მმ

სადგური,	თ ვ ი უ რ ი												წ ლ ი
	I	II	III	IV	V	VI	VII	VIII	IX	X	XI	XII	
ცაგერი	106	110	108	111	112	114	96	87	110	122	107	114	1298
ამბროლაური	79	86	86	86	105	99	80	80	87	99	94	93	1075
ჭრებალო	77	79	84	89	109	103	84	82	90	102	97	92	1088
ლენტეხი	100	104	103	106	109	111	93	83	106	118	102	102	1244
ონი	77	81	81	84	103	98	80	79	86	98	92	89	1048
შოვი	95	102	103	101	122	114	91	92	102	118	115	109	1264

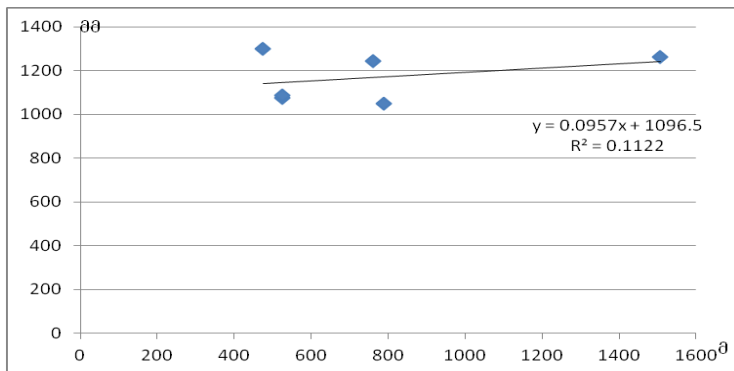
ნაბ. 2.3.1-ზე წარმოდგენილია ნალექების თვიური ჯამების უდიდესი, საშუალო და უმცირესი მნიშვნელობების ჰისტოგრამები ონისათვის.



ნაბ. 2.3.1. ატმოსფერული ნალექების წლიური სვლა ონში: უდიდესი, საშუალო და უმცირესი მნიშვნელობები

როგორც ნახ. 2.3.1-დან ჩანს იანვრის თვეში მთელი თვის განმავლობაში შესაძლებელია ნალექი საერთოდ არ მოვიდეს. ამავე დროს ცალკეულ წლებში შესაძლებელია მოვიდეს ნალექების ისეთი რაოდენობა, რომ ჯამში რამოდენიმეჯერ აღემატებოდეს ნალექების თვიურ ნორმას.

ნახ. 2.3.2-ზე წარმოდგენილია ნალექების ჯამების სიმაღლის მიხედვით ცვლილება რეგიონში, შესაბამისი აღმწერი ფუნქცია და დეტერმინაციის კოეფიციენტი.

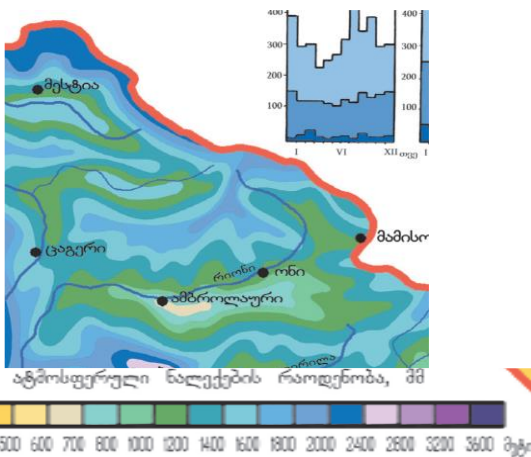


ნახ. 2.3.2. ატმოსფერული ნალექების წლიური ჯამების ცვლილება სიმაღლის მიხედვით Dდა შესაბამისი აღმწერი ფუნქცია (R^2 დეტერმინაციის კოეფიციენტია)

დეტერმინაციის კოეფიციენტი საკმაოდ მცირეა, რაც იმას ადასტურებს, რომ ადგილის სიმაღლის ხვედრითი წილი ნალექთა ჯამის ცვლილებაში უმნიშვნელოა და მხოლოდ 11%-ს შეადგენს. ამდენად დანარჩენი წილი, ანუ 89%, ნალექთა ჯამების გადანაწილებაში რელიეფის ფორმას და სხვა მორფომეტრულ ფაქტორებს შეაქვს.

ატმოსფერული ნალექების ტერიტორიული განაწილების კანონზომიერებები კარგად ჩანს ნახ. 2.3.3-ზე წარმოდგენილი იზოპიეტების რუკიდან (საქართველოს კლიმატური და აგროკლიმატური ატლასი, 2011).

ნახ. 2.3.3.-ს თანახმად, რეგიონის ტერიტორიაზე მოსული ნალექების წლიური ჯამები მერყეობს 1000-დან 2000 მმ-მდე. უმცირესი ნალექები მდინარეთა ხეობებში მოდის, ხოლო ნალექების უდიდესი რაოდენობა კავკასიონის მაღალმთიან ზონაში აღინიშნება.



ნახ. 2.3.3. ატმოსფერული ნალექების წლიური ჯამები (მმ)

ცხრილში 2.3.2 წარმოდგენილია ატმოსფერული ნალექების მნიშვნელოვანი მახასიათებლები-დღეთა რიცხვი ნალექებით.

ცხრილი 2.3.2 ნალექებიან დღეთა რიცხვი

	I	II	III	IV	V	VI	VII	VIII	IX	X	XI	XII	წ კ
15.5	15.5	11.6	12.2	14.5									
15.6	15.6	11.5	13.5	14.0									
17.0		17.0	12.4	14.0	15.1								
17.5			16.5	12.7	13.0	12.8							
20.7				19.8	14.6	14.8	14.2						
					18.3	13.3	12.7	13.0					
						19.9	15.4	10.6	10.7	10.9			
							16.9						
								15.0	9.2	9.7	10.0		
									14.1	9.9	10.1	10.9	
										13.8	10.2	11.6	
											13.4		
											13.1	12.2	10.6
												13.9	13.3
												193	184
													138
													148
													152
													წ ლ

თ ვ ი
ცაგერი, 474
ამბოლაური, 524
ოონი, 788
შოვი, 1507
მამისონის უღ. 2854

ცხრილიდან ჩანს, რომ ნალექიან დღეთა რიცხვი რეგიონში საშუალოდ 130-200 დღეს შეადგებს. ნალექებიან დღეთა რიცხვის წლიური სვლა ძირითადად შეესაბამება ნალექების ჯამების წლიური სვლას.

2.4 თოვლის საფარი

თოვლის საფარის რეჟიმული მახსიათებლების (საშუალო დეკადური და მაქსიმალური სიმაღლე, გაჩენისა და გაქრობის თარიღები, არსებობის ხანგრძლივობა, სიმკვრივე, წონა და წყლიანობა, თოვლის ხანგრძლივობა და ინტენსივობა, თოვლის საფარით ზამთრების არსებობის ალბათობა, დიდთოვლიანი, საშუალოთოვლიანი და მცირეთოვლიანი ზამთრების განმეორადობა და სხვ.) შესწავლას აქვს დიდი მნიშვნელობა ადამიანის სამეურნეო საქმიანობისათვის. კერძოდ სოფლის მეურნეობის მცენარეების დარგში თოვლის საფარი ხელს უწყობს საშემოდგომო მარცვლოვანი კულტურების ნორმალურ განვითარებას იცავს რა მათ ყინვებისაგან ზამთრის პერიოდში, ნიადაგში ზრდის ტენიანობას რაც დადებითად მოქმედებს მარცვლოვანი კულტურების მოსავლიანობაზე. გაზაფხულზე თოვლის საფარის დნობის პერიოდში იზრდება მთის მდინარეების ჯამური ჩამონადენი და ჰიდროელექტროსადგურების მიერ გამომუშავებული ელექტროენერგიის რაოდენობა. მთიანი რაიონების გლაციერ-ნივალურ ზონაში მყინვარების წარმოშობა და მათი არსებობა განპირობებულია წელიწადის განმავლობაში აქ მოსული მყარი ატმოსფერული ნალექებით (ძირითადად თოვლით). აბლიაციის პერიოდში მთის მდინარეების ჯამურ ჩამონადენში მთავარ როლს ასრულებს მყინვარული მდგრენელი. თოვლის საფარის რეჟიმული მახსიათებლების ცოდნა აუცილებელია სახალხო მეურნეობის მთელ რიგ დარგებთან (სამთო ტურიზმი, ალპინიზმი, სამთო-სათხილამურო სპორტი და სხვ) დაკავშირებული პერსონალისთვის. როგორც ცნობილია, ამ დარგების რეარეაციული ინფრასტრუქტურის ობიექტები (საცხოვრებელი, ადმინისტრაციული, სასპორტო-კულტურული შენობები, საბაგირო გზები, ელქტროგადამცემი ხაზები და სხვ.), ძირითადად განლაგებულია მდგრადი თოვლის საფარის ზონაში, რომელიც ხასიათდება უხვთოვლიანობით და ხშირ შემთხვევაში ოროგრაფიის ელემენტების (მაგალითად ფერდობების) ისეთი მახსიათებლებით, რომლებიც ხელს უწყობენ თოვლის ზვავების წარმოქმნას და საფრთხეს უქმნიან ტურისტების, ალპინისტების და მომსახურე პერსონალის სიცოცხლეს. ზვავსამიშროება მდგრადი თოვლის საფარის ზონაში წარმოადგენს

აქტუალურ პრობლემას და სპორტული-რეკრეაციული ინფრასტრუქტურის და სხვა დანიშნულების ობიექტების დაგეგმარების და მშენებლობის პროცესში ამ მოვლენის პროფილაქტიკური ღონისძიებები აუცილებლად უნდა იქნეს გათვალისწინებული.

აღსნიშნავია ის გარემოაება, რომ სპორტული-რეკრეაციული ინფრასტრუქტურის დაგეგმარების და მშენებლობის საკითხი მდგრადი თოვლის საფარის ზონაში ლიმიტირებულია თოვლის საფარის არსებობის ხანგრძლივობით და სიმაღლით: იმ შემთხვევაში თუ მრავალწლიური დაკვირვებების ინფორმაციით მოცემულ რაიონში მდგრადი თოვლის სფარის არსებობის ხანგრძლივობა 3 თვეზე, ხოლო მისი მაქსიმალური სიმაღლე 30სმ-ზე ნაკლებია მაშინ რაიონი ამ პრობლემის რეალიზაციისათვის ითვლება უპერსპექტივოდ.

თოვლის საფარის არსებობის ხანგრძლივობით რაჭა-ლეჩხუმის და ქვემო სვანეთის ტერიტორიაზე გამოიყოფა ორი ზონა: არამდგრადი და მდგრადი თოვლის საფარით. არამდგრადი თოვლის საფარის ზონა აღინიშნება დაბლობ რაიონებში 700-800მ სიმაღლემდე (სადგური ონი, სიმაღლე-788მ). ზამთრის განმავლობაში ამ ზონაში თოვლის საფარი შეიძლება რამდენჯერმე გაჩნდეს და გაქრეს. ამ ზონაში ადგილი აქვს ზამთრებს საერთოდ თოვლის საფარის გარეშე განსაკუთრებით მკაცრი და უხვთოვლიანი ზამთრის პირობებში, როგორც გამონაკლისი არამდგრადი თოვლის საფარის ზონაში შესაძლოა გაჩნდეს მდგრადი თოვლის საფარი ერთი თვით ან მეტი ხანგრძლივობით. არამდგრადი თოვლის საფარის ზონაში თოვლის საშუალო დეკადური სიმაღლე მერყეობს ჩვეულებრივად 3-8სმ ფარგლებში.

მუდმივი ლარტყის ჩვენებით თოვლის საფარის საშუალო დეკადური სიმაღლე რაჭა-ლეჩხუმის პუნქტებში მოცემულია ცხრილ 2.4.1.-ში (Справочник по климату СССР, вып. 14, 1970)

როგორც ცხრილ 2.4.1.-დან ჩანს, თოვლის საფარის საშუალოდეკადური სიმაღლე მაქსიმალურია მამისონის უღელტეხილზე ოთხი თვის (I-IV) განმავლობაში: მერყეობს 30(1)_36(IV) სმ-ის ფარგლებში, მინიმალურია მაისის მესამე და ივნისის პირველ დეკადებში (თოვლის ინტენსიური დნობის პერიოდი) და სექტემბერ-ნოემბერში (მდგრადი თოვლის საფარის ფორმირების პერიოდში) მერყეობს 4-23სმ-ის საზღვრებში. სადგურ შოვში (1507მ) მდგრადი თოვლის საფარის ფორმირება ხდება დეკადების მეორე მესამე დეკადებში (24-31სმ), ხოლო გაქრობა აპრილის მესამე დეკადაში. თოვლის საფარის საშუალო დეკადური სიმაღლის მაქსიმუმი ამ სადგურზე აღინიშნება სამი

თვის (I-III) განმავლობაში, მერყეობს 46სმ-დან (იანვრის პირველი დეკადა) – 73სმ-დე (თებერვლის მესამე დეკადა). რაც შეეხება სადგურებს ჭრებალო, ცაგერი ამბროლაური და ონი, ისინი მდებარეობენ არამდგრად თოვლის საფარის ზონაში. ამ სადგურებში არამდგრადი თოვლის საფარის საშუალო დეკადური სიმაღლე შესაბამისად აღწევს 19 (ჭრებალო), 26 (ცაგერი), 24 (ამბროლაური, ონი) სმ-ს. სადგურ ხერგაში (1131მ) თოვლის საფარის საშუალო დეკადური სიმაღლე თებერვლის სამივე დეკადაში მერყეობს 74-75სმ-ის საზღვრებში. მდგრადი თოვლის საფარი აქ ჩნდება დეკემბერში და არსებობს აპრილის მეორე დეკადის ჩათვლით. ცხრილ 2.4.1.-ში გარდა თოვლის საფარის საშუალო დეკადური სიმაღლეებისა მოცემულია აგრეთვე ზამთრის განმავლებაში თოვლის საფარის მაქსიმალური და მინიმალური სიდიდეები.

ცხრილი 2.4.1. მოდმიერი ლარტყლის ჩენენგით თოვლის საფარის საშუალო დეკადური სიმაღლე (სმ)

IX	X	XI	XII	I	II	III	IV	V	VI	ზამთარში	ლარტყლის
3	1	2	3	1	2	3	1	2	3	1	საშუალო ადგილი
მათისონის უდ											
4	4	5	9	17	20	23	24	25	27	30	31
საშუალო											
32	33	34	34	35	34	33	35	36	34	29	21
მოვალეობის უდ											
11	11	12	15	19	24	28	25	25	22	17	9
მოვალეობის უდ											
6	10	17	21	26	22	21	14	11	5		
ონი											
11	12	15	19	20	22	20	19	12	6	2	
ონი											
5	6	8	11	16	20	22	20	19	12	6	2
ჭრებალო											
7	8	13	15	19	14	10	6	4			
ამბროლაური											
8	15	17	22	16	13	8	4				
ხერგა											
9	15	22	27	34	48	63	75	74	75	71	65
სადგურებზე ურავი, ცაგერი, ონი, ჭრებალო, ამბროლაური თოვლის საფარის უდიდესი საშუალო სიდიდეები მერყეობენ 30(ჭრება-											
52	32	12								99	175
ლარტყლის მინიმუმი											
19										19	ლარტყლის მინიმუმი

სადგურებზე ურავი, ცაგერი, ონი, ჭრებალო, ამბროლაური თოვლის საფარის უდიდესი საშუალო სიდიდეები მერყეობენ 30(ჭრება-

ლო) _46(ურავი) სმ-ის საზღვრებში. მამისონის უდელტეხილზე ეს მაჩვენებელი ტოლია 56სმ-ისა, სადგურ ხერგაზე და შოვში შესაბამისად 99 და 94სმ-ისა.

თოვლის საფარის დეკადური სიმაღლეების აბსოლუტური მაქსიმუმი სადგურებზე ურავი, ონი, ჭრებალო, ამბროლაური მერყეობენ 71 (ამბროლაური)_ 90(ონი)სმ-ის საძღვრებში. სადგურებზე ხერგასა და მამისონის უდელტეხილზე ეს მაჩვენებელი ტოლია შესაბამისად 175 და 176სმ-ისა, ხოლო სადგურ შოვში 193სმ-ისა. თოვლის საფარის დეკადური სიმაღლეების მინიმალური მაჩვენებელი სადგურებზე ამბროლაური, ჭრებალო, ონი, ცაგერი, ურავი მერყეობს 1(ამბროლაური)_6(ურავი)სმ-ის ფარგლებში. მამისონის უდელტეხილზე და ხერგაზე ეს მაჩვენებელი ტოლია შესაბამისად 23 და 19სმ-ისა, ხოლო სადგურ შოვშე 36სმ-ისა.

ერთ წერტილში გავლის სიმაღლის საზომი ლარტყის მონაცემები ვერ იძლევან სრულ წარმოდგენას თოვლის საფარის განაწილების თავისებურებებზე საკვლევი ტერიტორიის ფართობზე, ვინაიდან მთიანი რეგიონის რთული რელიეფის პირობებში თოვლის საფარის განაწილება ხდება არათანაბრად. უფრო სრულ წარმოდგენას თოვლის საფარის სიმაღლეების განაწილებაზე იძლევა სამარშრუტო თოვლაგეგმები. ცხრილ 2.4.2.-ში მოცემულია თოვლის საფარის სიმაღლე დეკადის ბოლო დღეში სამარშრუტო თოვლაგეგმვით სადგურებისათვის შოვი, ცაგერი და ონი. თოვლაგეგმვა ჩატარებულია მინდორზე.

ცხრილი 2.4.2. თოვლის საფარის სიმაღლე თოვლაგეგმვით დეკადის ბოლო დღეს (სმ) (Справочник по климату СССР, вып. 14, 1970)

სადგური	IX				XII				I				II				III				ზამთარში		
	3	1	2	3	1	2	3	1	2	3	1	2	3	1	2	3	საშ.	მაქ.	მინ.				
შოვი	12	21	31	33	39	55	58	66	72	80	79	78	53	100	145		85						
ცაგერი						20	31	33	29	27	18				54	134	14						
ონი				8	10	17	24	26	23	18	16				38	94	5						

ზამთარში თოვლის საფარის უდიდესი სიმაღლეების შედარება ლარტყის და თოვლაგეგმვის მონაცემებით გვიჩვენებს (ცხრილი 2.4.2.), რომ სადგური ონის შემთხვევაში თოვლის სიმაღლის უდიდესი საშუალო, მაქსიმალური და მინიმალური სიმაღლეები ორივე შემ-

თხვევაში ახლოა ერთმანეთთან, ხოლო სადურების ცაგერისა და შოვის შემთხვევაში მუდმივი ლარტყით და თოვლაგეგმვით მიღებული ამ მახასიათებლების სიდიდეები მნიშვნელოვნად განსხვავდებიან ერთმანეთისაგან.

ცსრილში 2.4.3. მოცემულია: 1 – თოვლის საფარის წონა 1m^2 -ზე(კპა), 2 – თოვლის საფარის დეკადური უდიდესი საშუალო(სმ), 3 – თოვლის საფარის დღეთა რაოდენობა, 4 – თოვლის საფარში წყლის მარაგი(მმ).

როგორც ცსრილ 2.4.3.-დან ჩანს, ადგილის აბსოლუტური სიმაღლის მატებისას თოვლის საფარის არსებობის დღეთა რაოდენობა იზრდება 86-დან (ამბროლაური 547გ) 248-მდე (მამისონის უღ. 2854გ), ასევე მატულობს თოვლის საფარში წყლის მარაგი 68მმ-დან (ამბროლაური 547გ) – 240მმ-მდე (მამისონის უღ. 2854გ). თოვლაგეგმვის თოვლის საფარის სიმკვრივე დეკადის ბოლო დღეს იცვლება სადგურ ცაგერში 0,22მ/სმ-დან (იანვრის მესამე დეკადა) – 0,31მ/სმ-მდე (თებერვლის მესამე და მარტის პირველი დეკადა), სადგურ ონში 0,25მ/სმ-დან (თებერვლის პირველი დეკადა) – 0,31მ/სმ-მდე (მარტის პირველი დეკადა), სადგურ ცაგერში თოვლის საფარში წყლის მარაგი შეადგენს 120მმ-ს (Справочник по климату СССР, вып. 14, 1970).

ცსრილი 2.4.3. თოვლის საფარის მახასიათებლები (საქართველოს სამეცნიერო-გამოყენებითი კლიმატური ცნობარი, ნაწ.1, 2004)

სადგური	1	2	3	4
ამბროლაური	0,81	34	86	68
მამისონის უღ.	1,23	56	248	240
ონი	0,75	34	103	88
შოვი	1,88	94	173	238

სადგურ შოვში ზამთრების განმეორადობა (ალბათობა%) თოვლის საფარის უდიდესი დეკადური სიმაღლით მაქსიმალურია 41-50სმ-ის შემთხვევაში (31%), მამისონის უღ.-ზე 51-60სმ-ის შემთხვევაში (22%), ცაგერში და ონში 21-30სმ შემთხვევაში (19-20%), ამბროლაურში 11-12სმ შემთხვევაში (19%).

თოვლის საფარით დღეების რაოდენობა შეადგენს: შოვში 139-ს, მამისონის უღ.-ზე 248-ს, ურავში 68-ს, ცაგერში 54-ს, ონში 71-ს, ჭრებალოში 40-ს, ამბროლაურში 53-ს, ხერგაში 127-ს.

თოვლის საფარის გაჩენის და გაქრობის, მდგრადი თოვლის საფარის ფორმირების და რღვევის თარიღები (საშუალო, ყველაზე ადრეული და ყველაზე გვიანი) მოცემულია ცხრილ 2.4.4.-ში.

თოვლის საფარის სხვადასხვა უზრუნველყოფის (%) უდიდესი დეკადური სიმაღლეები (სმ) მოცემულია ცხრილ 2.4.5.-ში.

დამოკიდებულება $n=f(H)$ ანალზურად წარმოიდგინება წრფივის ფუნქციის სახით:

$$n = 70H + 40 \quad (1)$$

ამ გამოსახულებით, როდესაც $H=0,5$ $n=75$, როდესაც $H=3$ $n=250$ -ს.

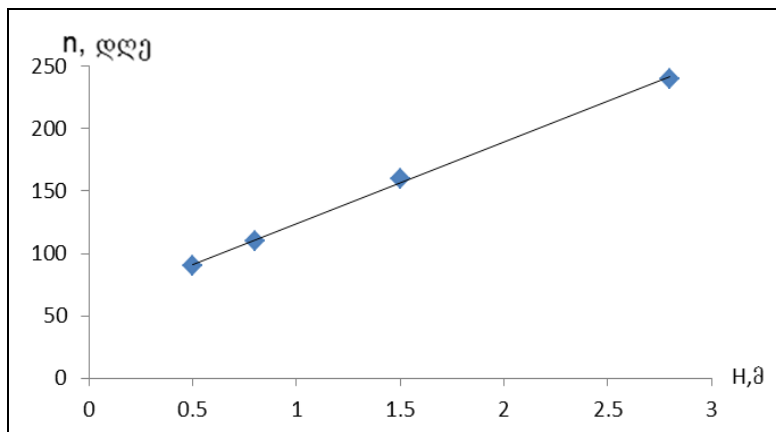
ცხრილი 2.4.4. ოთვლის საფარის გაჩენის და გაქრობის მდგრადი ოთვლის საფარის ფორმირების და რღვევის თარიღები (საშუალო, ყველაზე აღრეული და ყველაზე გვიანი) (Справочник по климату СССР, вып. 14, 1970)

ოთვლის საფარის გაჩენის თარიღები		მდგრადი ოთვლის საფარის ფორმირების თარიღები		მდგრადი ოთვლის საფარის რღვევის თარიღები		ოთვლის საფარის გაქრობის თარიღები	
საშუალო აღრეული	ველაზე გვიანი	საშუალო აღრეული	ველაზე გვიანი	საშუალო აღრეული	ველაზე გვიანი	საშუალო აღრეული	ველაზე გვიანი
შოთა							
1/XI	25/IX	8/XII	4/XII	8/XI	6/I	11/IV	21/III
მათისონის უდ.							
23/IX	27/VIII	3/XI	16/X	17/IX	13/XI	7/VI	26/IV
ცეცხლი							
27/XI	1/X	26/I	20/XII	20/XI	-	10/III	-
ცაგერი							
15/XII	10/XI	20/II	6/I	22/XI	-	11/III	-
ონი							
26/XI	5/X	-	24/XII	20/XI	-	2/III	-
ჭრებალო							
19/XII	15/X	10/II	-	22/XI	-	-	-
ამბროლაური							
11/XII	13/X	24/I	-	22/XI	-	-	-
ხერგა							
13/XI	1/X	19/XII	15/XII	8/XI	24/III	7/IV	9/III
Активация Windows							

აღსანიშნავია ის გარემოება, რომ თოვლის საფარის ხანგრძლივობის დამოკიდებულება ადგილის აბსოლუტურ სიმაღლეზე რაჭალებრბუმის რეგიონისათვის აქვს მაჩვენებლიანი ფუნქციის სახე $n=ab^H$

**ცხრილი 2.4.5. თოვლის საფარის უდიდესი დეკადური
სიმაღლეების (სმ) უზრუნველყოფა**

სადგური	დეკადური სიმაღლეების უზრუნველყოფა %						
	95	90	75	50	25	10	5
შოვი	45	54	72	89	107	137	161
მამისონის უღ.	27	31	41	51	63	85	128
ცაგერი	4	7	16	38	59	83	97
ონი	4	7	16	31	51	70	77
ამბროლაური	4	78	14	31	52	66	70
ხერგა	27	51	80	100	126	150	169



**ნაბ.2.4.1. თოვლის საფარის ხანგრძლივობის დამოკიდებულება
ადგილის აბსოლუტურ სიმარტეზე, $n=f(H)$**

2.5 ქარი

ტერიტორიაზე ქარის რეჟიმული მახასიათებლები დამოკიდებულია ზოგად ცირკულაციურ პროცესებზე, გეოგრაფიულ მდებარეობაზე და რელიეფის მორფოლოგიაზე. რაჭა-ლეჩხუმის და ქვემო სვანეთის რეგიონი თავისი გეოგრაფიული მდებარეობის შედეგად იმყოფება ზომიერი და სუბტროპიკული განედისათვის დამახასიათებელი დასავლეთის მიმართულების ზოგადი ცირკულაციის გავლენის ქვეშ. მაგრამ, საქართველოს რელიეფის რთული ოროგრაფიის ელემენტების (დაბლობები, ვაკეები, ზეგნები, ხეობები, ქედები და სხვ.) მექანიკური გავლენის შედეგად ატმოსფეროს დაბალ ფენებში აღინიშნება

ადგილობრივი ქარების გაჩენა მათთვის დამახასიათებელი ზოგადი ცირკულაციისაგან სრულიად განსხვავებული სიჩქარეებით და მიმართულებებით. გარდა ამისა, მზის სხივური ენერგიით მთავარი რელიეფის ელემენტების არათანაბარი გათბობა განსაზღვრავს მათ რადიაციული და სითბური ბალანსების სიდიდეში დიდ სიჭრელეს, რომელიც განაპირობებს ლოკალური თერმული გენეზისის სხვადასხვა სიჩქარეების და მიმართულებების ქარების წარმოშობას. ქარების საშუალოთვიური და წლიური სიჩქარე რაჭა-ლეჩხუმის ტერიტორიაზე მოცემულია ცხრილ 2.5.1.-ში (საქართველოს სამეცნიერო გამოყენებითი კლიმატური ცნობარი, 2004).

ცხრილი 2.5.1. ქარების საშუალოთვიური და წლიური სიჩქარე (მ/წმ)

თ ვ 3 ე												წელი
I	II	III	IV	V	VI	VII	VIII	IX	X	XI	XII	
ამბროლაური												
1.4	1.9	2.4	2.4	2.1	1.9	2.0	1.9	1.8	1.6	1.4	1.3	1.9
მამისონის უღ.												
6.8	6.6	6.0	4.9	4.4	4.8	4.9	4.7	5.0	5.6	5.8	6.6	5..5
ონი												
0.5	0.7	1.0	0.9	0.9	0.8	0.8	0.7	0.6	0.4	0.4	0.3	0.7
შოვი												
1.2	1.3	1.4	1.4	1.4	1.3	1.4	1.2	1.4	1.3	1.1	1.2	1.3
ცაგერი												
0.6	0.7	1.1	1.4	1.3	1.2	1.2	1.1	1.0	0.8	0.7	0.5	1.0
ჭრებალო												
0.3	0.3	0.8	1.2	1.2	1.1	1.2	1.0	0.7	0.4	0.4	0.2	0.7
ხერგა												
0.7	0.9	1.0	1.1	1.2	1.2	1.1	1.1	0.9	0.7	0.7	0.5	0.9

როგორც ცხრილიდან ჩანს ქარის საშუალოწლიური სიჩქარე მაქსიმალურია მამისონის უღ.-ზე (5,5მ/წმ), მინიმალურია ონში, ჭრებალოში (0,7მ/წმ). შოვში და ამბრილაურში იგი მერყეობს შესაბამისად 1,3-1,9 მ/წმ-ის ფარგლებში. ქარის დაბალი საშუალოწლიური სიჩქარით ხასიათდება აგრეთვე სადგური ხერგა (0,9მ/წმ). ქარის საშუალოთვიური სიჩქარე მამისონის უღ.-ზე მაქსიმალურია

ზამთარში, მერყეობს 6,6(XII,II)_6,8(I) მ/წმ-ის ფარგლებში, მინი-მალურია წელიწადის თბილ (IV-IX) პერიოდში, მერყეობს 4,4(V)-5,0(IX) მ/წმ-ის ფარგლებში. სადგურ შოვში მთელი წელიწადის გან-მავლობაში ქარის საშუალოთვიური სიჩქარის სიდიდეები ახლოა ერ-თმანეთთან: მერყეობენ 1,1(XI)-1,4(III,IV,V,VII,IX) საზღვრებში. სად-გურ ონში ოთხი თვის (X-I) განმავლობაში ქარის საშუალოთვიური სიჩქარის სიდიდე მერყეობს 0,3(XII)-0,5(I) მ/წმ-ის საზღვრებში. დანარ-ჩენ თვეებში (II-XI) ქარის საშუალოთვიური სიჩქარეების სიდიდეები უმნიშვნელოდ მატულობენ: მერყეობენ 0,6(IX)-1,0(III) მ/წმ-ის ფარ-გლებში. სადგურებზე ჭრებალო, ხერგა, ცაგერი ქარის საშუალოთვი-ური სიჩქარის სიდიდეები მინიმალურია წელიწადის ცივ (XI-II) პე-რიოდში, მაქსიმალურია დანარჩენ თვეებში. ამ სადგურებზე საშუალ-ოთვიური სიჩქარეების აბსოლუტური მინიმუმი შეადგენს 0,2მ/წმ-ს (ჭრებალ, XI), ხოლო აბსოლუტური მაქსიმუმი _1,4მ/წმ (ცაგერი, IV).

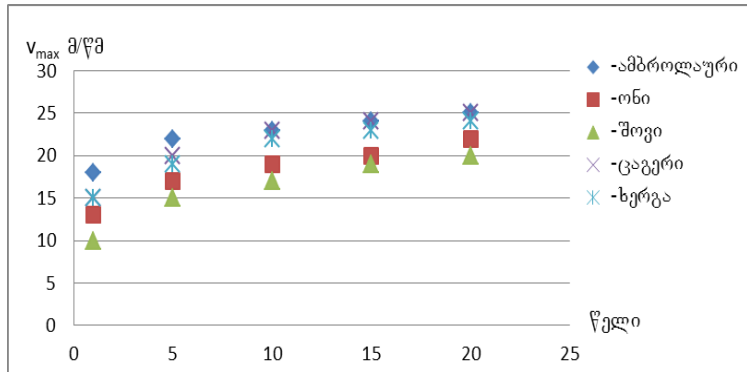
ცხრილი 2.5.2 ქარის უდიდესი სიჩქარე, შესაძლებელი 1,5,10,15,20 წელიწადში ერთხელ, მ/წმ

პუნქტი	წელი				
	1	5	10	15	20
ამბროლაური	18	22	23	24	25
ონი	13	17	19	20	22
შოვი	10	15	17	19	20
ცაგერი	15	20	23	24	25
ხერგა	15	19	22	23	24

როგორც ნახ 2.5.1.-დან ჩანს, ქარის მაქსიმალურმა სიჩქარემ მაგა-ლითად სადგურ შოვში შეიძლება ერთხელ მიაღწიოს ერთი წლის განმავლობაში 10მ/წმ-ს, 5 წლის განმავლობაში 14მ/წმ-ს, 10 წლის გან-მავლობაში 17მ/წმ-ს, 15 წლის განმავლობაში 18მ/წმ-ს და 20 წლის გან-მავლობაში 20მ/წმ-ს. სადგურ ამბროლაურში კი დროის ამ მონაკვეთ-ში (1,5,10,15,20 წელი) ქარის მაქსიმალური სიჩქარე ერთხელ აღწევს შესაბამისად 18,22,23,24 და 25მ/წმ-ს. ცხრილ 2.5.2.-ში და ნახ. 2.5.1.-ზე მოცემული ქარის სიჩქარეების ალბათობა დროის ინტერვალების მი-ხედვით, როგორც წესი გაითვალისწინება სამშენებლო ნორმატივებ-ში. ინფრასტრუქტურის სხვადასხვა დანიშნულების ობიექტების მშე-

ნებლობის და შემდეგ ექსპლოატაციის პროცესში ძლიერი ქარებისა-გან დამანგრეველი შედეგების პროფილაქტიკის მიზნით.

ქარის მიმართულების და შტილის განმეორადობა წელიწადში მოცემულია ცხრილ 2.5.3.-ში.



ნახ. 2.5.1. ქარის მაქსიმალური სიჩქარის (v_{max}) დამოკიდებულება წლების რაოდენობაზე

ცხრილი 2.5.3. ქარის მიმართულების და შტილის განმეორადობა წელიწადი (%)

რუმბი									
ზ	ჩაღ	აღ	საღ	ს	სდ	დ	ჩდ	შტილი	
ამბროლაური									
2	4	39	8	2	5	37	3	21	
მამისონის უდ.									
0	2	22	7	1	4	57	7	11	
ონი									
7	18	10	5	5	31	16	8	51	
შოვი									
2	11	33	1	4	12	30	7	60	
ცაგერი									
14	12	6	6	17	23	11	12	67	
ჭრებალო									
15	7	18	4	10	20	21	5	65	
ხერგა									
9	13	8	13	27	16	10	4	66	

როგორც ცხრილ 2.5.3.-დან ჩანს რეგიონის ამ სადგურებზე ქარების მიმართულების განმსაზღვრელი ფაქტორია რთული რელიეფი. სადგურ მამისონის უღ.-ის გარდა, თითქმის 3კმ სიმაღლეზე გაბატონებულია თავისუფალი ატმოსფეროს დამახსიათებელი დასავლეთის ცირკულაცია, ამ სადგურში დასავლეთის მიმართულების ქარის განმეორადობა წელიწადში აღწევს 57%-ს. შტილის მაქსიმალური განმეორადობა წელიწადში სადგურებზე შოვი, ცაგერი, ჭრებალო, ხერგა მერყეობს 60(შოვი)-67(ცაგერი) % ფარგლებში. შტილების მინიმალური რაოდენობა აღნიშნულია მამისონის უღ.-ზე (11 შტილი წელიწადში) და სადგურ ამბოლაურში (21 შტილი წელიწადში).

გრადაციების მიხედვით ქარის სიჩქარის ალბათობა (%) შემთხვევათა საერთო რიცხვიდან) მოცემულია ცხრილ 2.5.4.-ში და ნახ. 2.5.2.-ზე

ცხრილი 2.5.4. გრადაციების მიხედვით ქარის სიჩქარის ალბათობა (%) შემთხვევათა საერთო რიცხვიდან), წელიწადი (Справочник по климату СССР, Ветер, 1968)

V, მ/წმ											
0-1	2-3	4-5	6-7	8-9	10-11	12-13	14-15	16-17	18-20	21-24	მამისონის უღ.
13.0	20.4	24.5	17.8	9.7	5.7	3.5	1.8	1.1	1.5	0.4	
ონი											
70.2	18.7	8.3	2.2	0.5	0.02	0.04	0.01	0.02	0.01		

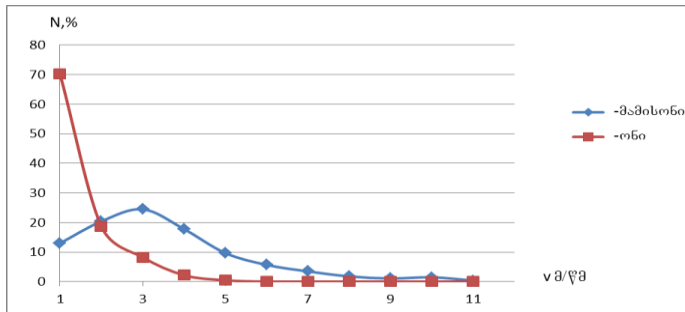
როგორც ნახ. 2.5.2.-დან ჩანს, დამოკიდებულება $N=f(v)$ სადგური ინის შემთხვევაში (კახეთის დაბლობი სადგურების ანალოგიურად) ანალიზურად წარმოიდგინება პირველი რიგის ჰიპერბოლის განტოლებით:

$$N = a + bv + \frac{c}{v} \quad (1)$$

ამ განტოლებას სადგურ ონისათვის აქვს შემდეგი სახე:

$$N = 56,7 + 7,35v + \frac{79,9}{v} \quad (2)$$

რაც შეეხება ქარის სიჩქარის გრადაციების მიხედვით განმეორადობას მამისონის უღელტეხილის შემთხვევაში მას, როგორც ნახ. 2.5.2.-დან ჩანს, აქვს სრულიად განსხვავებული (დაბლობი სადგურებია მხედველობაში) სახე.



ნახ. 2.5.2. ქარის სიჩქარის განმეორადობა გრადაციების მიხედვით, %

სხვადასხვა სიჩქარის ქარის განმეორადობის გათვალისწინებას არსებითი მნიშვნელობა აქვს მაღალი ძაბის ელექტროგადამცემი ხაზების, საბაგირო გზების, მაღლივი შნობების, სახმელეთო, საზღვაო და საჰაერო ტრანსპორტის ექსპლოატაციის და ტერიტორიის ქარის ენერგეტიკული რესურსების პოტენციალის შეფასების თვალსაზრისით.

დღე-დამის სხვადასხვა საათებში (1,7,13,19სთ) ქარის საშუალოწლიური სიჩქარე (მ/წმ) მოცემულია ცხრილ 2.5.5.-ში.

როგორც ცხრილ 2.5.5.-დან ჩანს, რეგიონის ამ სადგურებზე ქარის საშუალოწლიური სიჩქარე მაქსომალურია 13საათზე და მერყეობს 1,3(ჭრებალო) – 5,8(მამისონის უდ.) მ/წმ-ის საზღვრებში. ამ მაჩვენებლის მინიმალური სიდიდეები 0,4(ჭრებალო) – 0,8(ონი) მ/წმ-ის საზღვრებში. ამბოლაურში ის შეადგენს 1,8მ/წმ-ს, მამისონის უდ.–ზე, 5,0/წმ-ს. ქარის დაბალი საშუალოწლიური სიჩქარეები აღნიშნულია დილის 7საათზე. ისინი სადგურებზე ცაგერი, ონი, ჭრებალო, ხერგა მერყეობენ 0,3(ჭრებალო) – 0,7(ონი) მ/წმ-ს საზღვრებში. დაკვირვებების ამ ვადაზე ამბოლაურში და მამისონის უღელტეხილზე ქარის საშუალოწლიური სიჩქარე შესაბამისად შეადგენს 1,8 და 5,2მ/წმ-ს.

ცხრილი 2.5.5. ქარის საშუალოწლიური სიჩქარე დღე-დამის სხვადასხვა საათებში (1,7,13,19სთ), მ/წმ

საათები	სადგური					
	ცაგერი	ონი	ჭრებალო	ამბოლაური	ხერგა	მამისონის უდ.
1	0,8	0,8	0,4	1,8	0,6	5,5
7	0,6	0,7	0,3	1,7	0,5	5,2
13	1,4	2,5	1,3	3,4	1,8	5,8
19	1,0	1,2	1,0	2,1	0,8	5,3

რაჭა-ლეჩხუმის მთიან ტერიტორიაზე მთელი წლის განმავლობაში აღინიშნება მთა-ხეობების ქარები. როგორც ცნობილია (Климат и климатические ресурсы Грузии, 1971) მთა-ხეობების ქარების წარმოშობის ძირითადი მიზეზია მთის ფერდობების და ხეობის მზის სხივური ენერგიით არათანაბარი გათბობა. დღის განმავლობაში შედარებით ინტენსიურად თბება ხეობის ფსკერი და განსაკუთრებით გამთბარი ჰაერი მოძრაობს ხეობებში და ფერდობებზე ზევით ხეობების და ფერდობების ქარის სახით. ღამის საათებში კი ჰაერი დიდ სიმაღლეებზე ინტენსიური გაცივების შედეგად იწყებს მოძრაობას ფერდობებზე ქვევით (შედარებით თბილი ჰაერის მიმართულებით) მთის ქარების სახით. რაჭა-ლეჩხუმის შუა და მაღალი მთის ზონაში ფერდობების და ხეობების ქარები დაიკვირვება 3000მ სიმაღლემდე. ამ ნიშნულს ზემოთ ამ განედებისათვის დამახასიათებელი საერთო ცირკულაციის გავლენის შედეგად წელიწადის განმავლობაში გაბატონებულია და-სავლეთის მიმართულების ქარები.

დღე-ღამის განმავლობაში (სხვადასხვა საათებში 7,13,19,1სთ) ქარის მიმართულების მაქსიმალური განმეორადობა (%) და შტილების რაოდენობა წელიწადში მრავალწლიური მონაცემების ანალიზის საფუძვლზე მოცემულია ცხრილ 2.5.6.-ში.

ცხრილი 2.5.6. დღელამის საათებში (7,13,19,1სთ) ქარის მიმართულების განმეორადობა (%) და შტილების რაოდენობა საშუალოდ წელიწადში, (Справочник по климату СССР, Ветер, вып. 14, Гидрометеоиздат Л., 1968)

t, სთ	ორიენტაცია								
	ჩ	ჩაღ	აღ	საღ	ს	სდ	დ	ჩდ	შტილი
მამისონის უღ.									
1	0	2	26	7	1	3	55	6	13
7	0	2	31	9	1	3	47	7	12
13	1	1	14	6	1	7	63	7	9
19	0	1	18	7	1	4	62	7	10
ამბროლაური									
1	3	5	58	7	1	1	23	2	25
7	1	6	50	11	3	4	23	2	28
13	1	2	14	7	2	12	58	4	26
19	2	4	39	7	3	5	36	4	22
ქარის მიმართულების განმეორადობა, %, წელიწადი									
ამბროლაური									

ცხრილი 2.5.6-ის გაგრძელება								
2	4	39	8	2	5	37	3	21
მამისონის უღ.								
0	2	22	7	1	4	57	7	11
ონი								
7	18	10	5	5	31	16	8	51
შოვი								
2	11	33	1	4	12	30	7	60
ქარის მიმართულების განმეორადობა, %, იანვარი/ივლისი ამბოლაური								
2/1	5/3	46/27	6/7	2/1	4/6	32/52	3/3	
მამისონის უღ.								
0/1	2/1	16/13	4/15	0/1	6/5	64/43	8/3	
ონი								
7/6	25/11	15/7	9/3	5/4	23/36	11/24	5/9	
შოვი								
4/1	19/4	44/19	1/1	3/6	7/16	19/40	3/13	

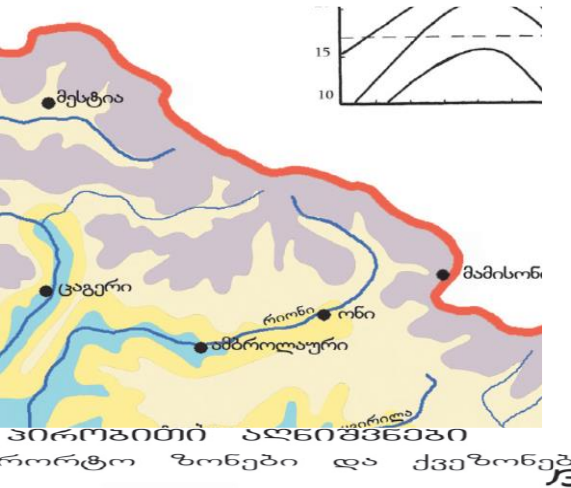
როგორც ცხრილ 2.5.6.-დან ჩანს, ქარის მიმართულების განმეორადობა წელიწადში მაქსიმალურია დასავლეთის ორიენტაციისათვის: მერყეობს 30-57%-ის ფარგლებში (სადგურები ამბოლაური, მამისონის უღ., და შოვი), შტილების რაოდენობა წელიწადში მაქსიმალურია სადგურებში ონი(51) და შოვი(60). მამისონის უღელტეხილზე დღეღამის სხვადასხვა საათებში ქარის მიმართულების განმეორადობა მაქსიმალურია დასავლეთის ორიენტაციისათვის იცვლება 47 (7სთ) -63(13სთ)%-ის ფარგლებში, მინიმალურია ჩრდილოეთის ორიენტაციისათვის იცვლება 0-1%-ის საზღვრებში, სადგურ ამბოლაურში ქარის მიმართულების მაქსიმალური განმეორადობა მაქსიმალურია აღმოსავლეთის და დასავლეთის რუმბებისათვის: აღწევს ორივე შემთხვევაში 58%-ს.

თავი III პლიოგატური რესურსების პოტენციალი

3.1. საკურორტო კლიმატური რესურსები

რაჭა-ლეჩხუმში და ქვემო სვანეთს გააჩნია საკმაოდ მდიდარი საკურორტო კლიმატური რესურსები. ნახ. 3.1.1-ზე წარმოდგენილია რეგიონის საკურორტო ზონების რუკა (ე.შ. ელიზბარაშვილი, ნ.შ. გონგ ლაძე, 1980; საქართველოს კლიმატური და აგროკლიმატური ატლასი. თბილისი, 2011).

ნახ. 3.1.1-დან ჩანს, რომ რეგიონი მოიცავს 4 საკურორტო ქვეზონას: დასავლეთ საქართველოს დაბლობის ნოტიო და ზომიერად ნოტიო ქვეზონას, დასავლეთ საქართველოს დაბალი მთის ზომიერად ნოტიო ქვეზონას, საშუალო მთის საკურორტო ზონას და მაღალი მთის ზონას.



საკურორტო ზონები და ქვეზონები

B3

- სანაპირო ნოტიო სუბტროპიკული ქვეზონა
- დასავლეთ საქართველოს დაბლობის ნოტიო და ზომისავლეთ ნოტიო ქვეზონა
- აღმოსავლეთ საქართველოს დაბლობის ზომიერად ნიტიო ქვეზონა
- აღმოსავლეთ საქართველოს დაბლობის ზომიერად მშრალი ქვეზონა
- დასავლეთ საქართველოს დაბალი მთის ზომიერდ ნიტიო ქვეზონა
- აღმოსავლეთ საქართველოს დაბალი მთის ზომიერდ მშრალი ქვეზონა
- საშუალო მთის საკურორტო ზონა
- მაღალი მთის კლიმატური ზონა

ნახ. 3.1.1. საკურორტო ზონები

დასავლეთ საქართველოს დაბლობის ნოტიო და ზომიერად ნოტიო ქვეზონას რეგიონში უკავია მცირე ტერიტორია მდინარეთა ხეობებში. ქვეზონა ხასიათდება ძალიან რბილი, უთოვლო ზამთრით და ძალიან თბილი ზომიერად ნოტიო ზაფხულით. იანვრის თვის საშუალო ტემპერატურაა $4\text{--}6^{\circ}$, ივლისის- $21\text{--}24^{\circ}$, ხოლო საშუალო წლიური ტემპერატურა $12\text{--}14^{\circ}$. ამინდების კომპლექსური კლასიფიკაციის თანახმად წლის განმავლობაში გაბატონებულია მზიანი, ზომიერად ნოტიო ამინდები, წლის ცივ პერიოდში ხშირია წვიმიანი ამინდები. ბრიზული ცირკულაციის ძლიერი მოქმედების გამო, ზღვიური წარმოშობის ქიმიური მიკროელემენტები მრავლად არის გაბნეული ჰერში, ამიტომაც ქვეზონის გამოყენება პერსპექტიულია კარდიოლოგიური, ნევროლოგიური და პულმონოლოგიური ავადმყოფების სამკურნალოდ.

დაბალი მთის ზომიერად ნოტიო ქვეზონა ხასიათდება ძალიან რბილი ზამთრით და თბილი ზომიერად ნოტიო ზაფხულით. იანვრის თვის საშუალო ტემპერატურაა მინუს 2 პლუს 3 $^{\circ}$, ივლისის- $18\text{--}22^{\circ}$, ხოლო საშუალო წლიური ტემპერატურა $10\text{--}14^{\circ}$. ამინდების კომპლექსური კლასიფიკაციის თანახმად წლის ყველა სეზონში გაბატონებულია მზიანი, ზომიერად ნოტიო და ნოტიო ამინდები. ქვეზონის კლიმატური რესურსები ხელს უწყობს რაიონი წარმატებით იქნას გამოყენებული კარდიოლოგიური, ნევროლოგიური და პულმონოლოგიური ავადმყოფების სამკურნალოდ, ხოლო არსებული ბალნეოლოგიური რესურსები საშუალებას იძლევა განვითარდეს გასტროენტეროლოგიური და ართროლოგიური პროფილის სამედიცინო დაწესებულებები.

საშუალო მთის საკურორტო ზონის ქვედა სარტყელში ჰავა ხასიათდება ზომიერად რბილი, თოვლიანი ზამთრით და ზომიერად თბილი, ზომიერად მშრალი ზაფხულით. იანვრის თვის საშუალო ტემპერატურაა მინუს 8-2 $^{\circ}$, ივლისის- $15\text{--}19^{\circ}$, ხოლო საშუალო წლიური ტემპერატურა $6\text{--}8^{\circ}$. ამინდების კომპლექსური კლასიფიკაციის თანახმად წლის თბილი პერიოდის განმავლობაში გაბატონებულია მზიანი და ზომიერად ნოტიო ამინდები, ხოლო წლის ცივი პერიოდის განმავლობაში მზიანი და ზომიერად ნოტიო ამინდები, ასეთი ჰავა მაღალი თერაპიული თვისებებისაა და შეიძლება გამოყენებულ იქნას ძირითადად სასუნთქი ორგანოების დაავადებათა სამკურნალოდ. ასეთივე სამკურნალო თვისებები გააჩნია ზედა სარტყლის კურორტებს, სადაც იცის ზომიერად რბილი ზამთარი მდგრადი თოვლის საფარით

და ზომიერად გრილი, ზომიერად მშრალი ზაფხული. იანვრის თვის საშუალო ტემპერატურაა მინუს 10-3°, ივლისის 10-15°, ხოლო საშუალო წლიური ტემპერატურა 0-5°. ამინდების კომპლექსური კლასიფიკაციის თანახმად წლის თბილი პერიოდის განმავლობაში გაბატონებულია მზიანი, ზომიერად ნოტიო და წვიმიანი ამინდები, ხოლო წლის ცივი პერიოდის განმავლობაში ხშირია ყინვიანი ამინდები.

მაღალი მთის ზონის კლიმატოთერაპიული მნიშვნელობა ნაკლებია, ის ხელსაყრელია ალპინიზმისა და ტურიზმის განვითარებისათვის.

რეგიონში მდებარეობს 4 მნიშვნელოვანი კურორტი: შოვი, უწერა, ლაშიჭალა და მუაში (ცხრილი 3.1.1).

ცხრილი 3.1.1. რაჭა-ლეჩხუმი, ქვემო სვანეთის კურორტები

კურორტი	დგილის სიმაღლე, მ	პროფილი
შოვი	1600	კლიმატო-ბალნეოლოგიური
უწერა	1070	ბალნეო-კლიმატური
ლაშიჭალა	850	ბალნეოლოგიური
მუაში	1250	ბალნეოლოგიური

შოვი-კლიმატო-ბალნეოლოგიური კურორტი, მდებარეობს ზემო რაჭაში, რაჭის კავკასიონის სამხრეთ ფერდობზე, საშუალო მთის საკურორტო ზონის ზედა სარტყელში, ზღვის დონედან 1600 მ სიმაღლეზე. კურორტი გარშემორტყმულია ტყეებით და მყინვარებით. აღრიცხულია 16 მინერალური წყარო, რომლებიც გამოიყენება სხვადასხვა დაავადებათა სამკურნალოდ. კურორტის ისტორია 1923 წლიდან იწყება, როდესაც აშენდა ულამაზესი სანატორიუმები და დასასვენებელი სახლები. შოვი საინტერესო ადგილია აგრეთვე ალპინიზმისა და სათხილამურო სპორტისათვის.

უწერა- კბალნეო-კლიმატური კურორტი, მდებარეობს ზემო რაჭაში, ონიდან 15 კმ-ში, საშუალო მთის საკურორტო ზონის ქვედა სარტყელში, ზღვის დონედან 1070 მ სიმაღლეზე. უწერაში 28 სახის ბუნებრივი მინერალური წყალი ამოდის, რომლებიც გამოიყენება, როგორც სასმელად, ისე სააბაზანოდ. კურორტი გარშემორტყმულია ტყეებით, რომელთაც სამკურნალო ფაქტორი აქვს.

ლაშიჭალა- ბალნეოლოგიური კურორტი, მდებარეობს ლეჩხუმში, ცაგერიდან 20 კმ მანძილზე, დასავლეთ საქართველოს დაბალი მთის ზომიერად ნოტიო საკურორტო ქვეზონაში, ზღვის დონედან

850 მ სიმაღლეზე. ცნობილია მინერალური წყლებით, რომელთაც სამკურნალო თვისებები გააჩნია.

მუჟაში- ბალნეოლოგიური კურორტი, მდებარეობს ქვემო სვანეთში, სვანეთის ქედის სამხრეთ ფერდობზე, მდინარე ცხენისწყლის ხეობაში, საშუალო მთის საკურორტო ზონის ქვედა სარტყელში, ზღვის დონედან 1250 მ სიმაღლეზე. განთქმულია მინერალური წყლებით, რომელთაც სამკურნალო თვისებები გააჩნია.

3.2. ჰელიოენერგეტიკული რესურსები

საქართველოს ჰელიოენერგეტიკული რესურსების შეფასება და მათი ტერიტორიული განაწილების თავისებურებები პირველად დადგენილი იქნა 1959 წ. გ.მელიას მიერ (მელია, 1959). ანალოგიურად კვლევა საქართველოს აქტინომეტრიული სადურების ქსელის ხუთწლიანი (1955-1960წწ) ხანგრძლივობის მონაცემების საფუძველზე ჩატარდა ი. ცუცქირიძის მიერ (ცუცქირიძე, 1961). აღნიშნული კვლევების შედეგად დადგინდა, რომ საქართველოს ტერიტორიას გააჩნია მნიშვნელოვანი ჰელიოენერგეტიკული პოტენციალი, რომლის ათვისებამ და ჩართვამ სახალხო მეურნეობის რიგ დარგებში შესაძლოა მოიტანოს საგრძნობი ეკონომიკური ეფექტი.

მომდევნო პერიოდში (1987წ) საქართველოს ტერიტორიის ჰელიოენერგეტიკული პოტენციალის კომპლექსური შეფასების და მისი ტერიტორიული განაწილების რეკა დამუშავებული იქნა მონოგრაფიაში (სვანიძე, გაგუა, სუხишვილი, 1987).

ამ ნაშრომში გაანალიზებულია მზის პირდაპირ და ჯამურ რადიაციებზე, მზის ნათების ხანგრძლივობაზე მნიშვნელოვნად გაზრდილი ხანგრძლივობის (1954-1985წწ) რიგები. გარდა ამისა, დაკვირვებების ინფორმაცია დამუშავებულია სტატისტიკური და ალბათური ანალიზის მეთოდიკის გამოყენებით, რამაც მნიშვნელოვნად გაზარდა ჰელიოენერგეტიკული მახასიათებლების სივრცულ-დროითი განაწილების და კადასტრული შეფასებების სიზუსტეზე. აღნიშნულ მონოგრაფიაში მთლიანად საქართველოს და კერძოდ რაჭა-ლეჩეუმის და ქვემო სვანეთის ტერიტორიის ჰელიოენერგეტიკული რესურსების დონით კომპლექსურ დარაიონებას საფუძვლად დაედო ისეთი რეპრეზენტატული მახასიათებლები, როგორიცაა ჯამური და ჰორიზონტალურ ზედაპირზე მზის პირდაპირი რადიაციების დღედამური (I, VII), თვიური (I, VII), სეზონური (V-IX) და წლიური ჯამები, საერთო ღრუბლიანობის რაოდენობა, საერთო ღრუბლიანობით მოწმენდილი

დღეების რაოდენობა წელიწადში, ჰაერის საშუალოთვიური ტემპერატურა.

იმ ხუთი ჰელიოენერგეტიკული ზონიდან, რომლებიც მოცემულია საქართველოს ჰელიოენერგეტიკული რესურსების ტერიტორიული განაწილების რუკაზე რაჭა-ლეჩხუმის და ქვემო სვანეთის ტერიტორია მოქცეულია სამი ზონის A,B,C ფარგლებში. პირველ A ზონას ეკუთვნის კავკასიონის მაღალმთიანი ზონა (ვკმ-ზე ზევით). ამ ზონაში მზის პირდაპირი და ჯამური რადიაციის ივლისის ჯამები შესაბამისად ტოლია 14-16 და 20-25მჯ/მ-ის დღედამები. მეორე B ზონას უკავია რეგიონის ტერიტორიის ჩრდილოდასავლეთის შავი ზღვისაკენ ორიენტირებული ფერდობები. დღედამის განმავლობაში ამ ზონის ტერიტორიაზე მოდის საშუალოდ 20-23მჯ/მ-ის ტოლი ჯამური რადიაცია და 13-14მჯ/მ პირდაპირი რადიაცია, რაც თვეში შესაბამისად შეადგენს 650-700 და 400-450მჯ/მ-ს. მესამე C ზონას ძირითადად მიეკუთვნება დიდი კავკასიონის წინამთის და საშუალო მთის რაიონები რაჭა-ლეჩხუმის ტერიტორიაზე. დღედამის გამნავლობაში ივლისში ჯამური რადიაციის ჯამი 11-13მჯ/მ-ს. ჯამური და პირდაპირი რადიაციის თვიური ჯამები (VII) შესაბამისად შეადგენს 600650 და 350-400მჯ/მ-ს.

ცხრილ 3.2.1.-ში მოცემულია ამ სამი ზონისათვის დამახსიათებელი ჰელიოენერგეტიკული რესურსების მნიშვნელობები წელიწადში ჯამური რადიაციის ჯამები $\Sigma_{\text{Q}} \text{ მჯ/მ}$, ჰორიზონტალურ ზედაპირზე მზის პირდაპირი რადიაციის ჯამები მაისიდან ნოემბრის ჩათვლით $\sum_{\text{v-xiS}} \text{ მჯ/მ}^2$. მზის ნათების ხანგრძლივობა საათებში მაისიდან სექტემბრის ჩათვლით $\sum_{\text{v-IXS}} \text{ სთ}$. მზის ნათების ხანგრძლივობა ივლისში 250 საათზე მეტი მეტი პროცენტებში $P_{\text{SSVII}} \geq 250 \text{ სთ \%}$, წელიწადში მოწმენდილ დღეთა რაოდენობით.

ა ზონაში არსებობს ნებისმიერი ტიპის ჰელიოსისტემების ეფექტური გამოყენების პირობები. B ზონაში არსებობს პირობები, რომლებიც მთლიანად აკმაყოფილებენ იმ მოთხოვნილებებს, რომლებიც აუცილებელია საშუალო და პატარა ზომის ჰელიოსისტემების გამოსაყენებლად. C ზონაში არსებობს ისეთი პირობები, რომლებიც აუცილებელია ჰელიოსისტემების ცალკეული სახეობების გამოსაყენებლად.

**ცხრილი 3.2.1. პელიოდების გეტიკული რესურსების მახასიათებლები
(Сваниძე, Гагуа, Сухишвили, 1987)**

მახასიათებელი				
$\sum_{\text{წლი}} Q, \partial \chi / \partial^2$	$\sum_{\text{V-} xiS', \partial \chi / \partial^2}$	$\sum_{\text{IXSS}, \partial \chi / \partial^2}$	$P_{\text{SSVII}} \geq 250 \text{ს}$ თ, %	მზიან დღეთა რიცხვი წელიწადში
		A ზონა		
5000-6000	1900-2000	1250-1300	80-90	65-80
		B ზონა		
4900-5200	1800-1900	1200-1250	60-80	55-65
		C ზონა		
4800-5000	1700-1800	1100-1200	40-60	50-55

ამ ზონების კომპლექსური პელიოდების გეტიკული მასიათებლები მოცემულია ცხრილ 3.2.2.-ში.

**ცხრილი 3.2.2. კომპლექსური პელიოდების გეტიკული მასიათებლები (Сваниძე, Гагуа,
Сухишвили, 1987).**

ზონა	$\Sigma S', \partial \chi / \partial^2$				$\Sigma Q, \partial \chi / \partial^2$				მზის ნაოების სანერბლივობა SS სო				P%, $\sum \geq 250 \text{სო}$										
	დღე- დაბე		თვე		სეზონი		ფერი		დღე- დაბე		თვე		ფერი		დღე- დაბე		თვე		სეზონი				
	I	VII	I	VII	V-IX		I	VII	I	VII	I	VII	I	VII	I	VII	V-IX		I	VII	V-IX		
A 3-4	14-16	100-450-500	1900-2000	3000	6-8	20-25	180-250	650-700	5000-6000	3-4	9-10	130-140	290-320	1250-1300	2200-2500	80-90	VII						
B 2-3	13-14	70-90	400-450	1800-1900	1800-2900	5-6	20-23	160-180	650-700	4900-6000	3-4	8-10	100-180	270-290	1200-1250	2200-2400	60-80						
C 3-4	11-13	100-120	350-400	1700-1800	2700-2800	7-8	20-23	220-230	600-650	5000-5200	4-5	7-8	120-130	250-270	2000-2200	2000-2200	40-60						

საქართველოს კლიმატურ და აგროკლიმატურ ატლასში (სამუკაშვილი, ჰელიოენერგეტიკული რესურსები. საქართველოს კლიმატური და აგროკლიმატური ატლასი, 2011). მოცემულია საქართველოს და კერძოდ რაჭა-ლეჩხუმის და ქვემო სვანეთის ტერიტორიაზე ჰელიოენერგეტიკული რესურსების განაწილების რუკა.

რუკის შედგენისას გამოყენებული იქნა საქართველოს აქტინომეტრიული სადგურების ქსელზე დაკვირვებების მთელი პერიოდის ინფორმაცია (1953-1990წწ.). მასში გამოყენებული დაკვირვებების ინფორმაციის ხანგრძლივობა ხუთი წლით მეტია (Сваниძე, Гагуа, Сухишвили, 1987)-ში გამოყენებული დაკვირვებების მახასიათებლების ხანგრძლივობაზე. ინფორმაციის პერიოდის გაგრძელებამ ხუთი წლით რაიმე საგრძნობი კორექტივები ჰელიოენერგეტიკული რესურსების განაწილების ახალ რუკაზე არ შეიტანა. რაჭა-ლეჩხუმის და ქვემო სვანეთის რეგიონი კვლავ აღმოჩნდა ჰელიორესურსების განაწილების სამ ზონაში. ჰელიოენერგეტიკული რესურსების განაწილების რუკაზე გამოყოფილია აგრეთვე სამი ზონა ჰელიოენერგეტიკული მახასიათებლების ანალოგიური მნიშვნელობებით.

3.3. ქარის ენერგეტიკული რესურსები

ქარის ენერგია წარმოადგენს ეკოლოგიურად სუფთა, აღდგენილი (განახლებადი) და ამოუწურავი ენერგიის ერთ-ერთ სახეობას. მას ჰიდროენერგიასა და ჰელიოენერგიასთან ერთად მნიშვნელოვანი წვლილის შეტანა შეუძლია ქვეყნის სათბობ-ენერგეტიკულ ბალანსში და ორგანული გენეზისის სითბური წყაროების მიერ დაბინძურებული გარემოს გაჯანსაღებაში.

საქართველოში ქარის ენერგიის პრაქტიკული გამოყენების პრობლემის შესწოლა იწყება მეოცე საუკუნის 50-იან წლებიდან. 1959 წელს გამოქვეყნებული გ.მელიას ნაშრომში შეფასებულა საქართველოს ტერიტორიაზე ქარის ენერგეტიკული პოტენციალი (Мелия, 1959). იმავე წელს გამოქვეყნებულ ე.სუხიშვილის შრომაში (Сухишвили, 1959) გაანალიზებულია კოლხეთის დაბლობის და შავი ზღვის სანაპირო ზოლის ქარის რეჟიმული და ენერგეტიკული მახასიათებლები. 1968 წელს გამოცემულ კლიმატურ ცნობარში (Справочник по климату СССР, вып. 14, ветер, Л. 1968), რომელიც დასაბეჭდად მომზადებული იქნა თბილისის ჰიდრომეტეოროლოგიური ობსერვატორის კლიმატის განყოფილების თანამშრომლების მიერ, მოცემულია საქართველოს ტერიტორიაზე ქარის რეჟიმული მახასიათებლები: ქა-

რის საშუალოთვიური და წლიური სიჩქარე, ქარის საშუალოთვიური და წლიური სიჩქარე დღეღამის სხვადასხვა საათობში, ქარის სიჩქარის ალბათობა გრადაციების მიხედვით, ძლიერი ქარებით ($>15\text{მ/წ}$) დღეების საშუალო და მაქსიმალური რაოდენობა თვეების და წელიწადის მიხედვით, ქარის სიჩქარის დღეღამური სვლა და სხვა.

1971 წელს გამოცემულ ჰიდრომეტეოროლოგიის ინსტიტუტის კოლექტივის ნაშრომში (Климат и климатические ресурсы Грузии, 1971) საქართველოს ტერიტორიისათვის ქარის საშუალოთვიური და საშუალოწლიური სიჩქარეების ანალიზის საფუძველზე დაკონკრეტებულია ქარის ენერგოდანადგარების გამოყენების პერსპექტიული რაონები და მოცემულია ქარის ენერგორესურსების განაწილების სქემატური რუკა.

1987 წელს ჰიდრომეტეოროლოგიის ინსტიტუტის თანამშრომლების (Сванидзе и др., 1987) მიერ გამოქვეყნებულ ფუნდამენტურ ნაშრომში, გ.გრინევიჩის მრომებში (Гриневич, 1963, 1966) მოცემული ქარის ენერგორესურსების კადასტრული შესწავლის და შეფასების მეთოდიკის გამოყენებით, დადგენილია ქარის ენერგოდანადგარების ექსპლოატაციის რეჟიმული მახასიათებლები საქართველოს ტერიტორიისათვის, მოცემულია ქარის ენერგორესურსების დონით მისი სქემატური დარაიონება.

2004 წელს გამოცემულ “საქართველოს ქარის ენერგეტიკულ ატლასში” (საქართველოს ქარის ენერგეტიკული ატლასი, 2004) გაანალიზებულია საქართველოს მეტეოროლოგიური სადგურების ქსელზე (165 მეტეოროდგური) არსებული მრავალწლიური დაკვირვებების მონაცემები და 8 პერსპექტიულ მოედანზე დამონტაჟებულ მაღლივ მეტეორნებზე მიღებული მოკლევადიანი (2-5 წელი) ინფორმაცია. ატლასში მოცემულია ქარის რეჟიმული მახასიათებლებისა და ენერგეტიკული პოტენციალის მოდელირება, რომელშიც გათვალისწინებულია რელიეფის დამზადებელი დაბრკოლებებისა და ქვეფენილი ზედაპირის უსწორმასწორობის (სიბისტის) გავლენა ქარის სიჩქარეზე და მიმართულებაზე. ხაზგასმულია ის გარემოება, რომ ქარის საშუალო სიჩქარე წარმოადგენს ქარის კადასტრის იმ მნიშვნელოვან მახასიათებლს, რომელიც აუცილებელია ქარის ენერგეტიკული პოტენციალის გამოყენების პერსპექტიულობის შეფასების თვალსაზრისით. ცხრილ 3.3.1-ში მოცემულია ქარის საშუალოთვიური და წლიური სიჩქარე რეგიონის რამდენიმე პუნქტისათვის.

როგორც ცხრილი 3.3.1.-დან ჩანს რაჭა-ლეჩხუმის და ქვემო სვანეთის ტერიტორიაზე ქარის სიჩქარის საშუალოთვიური და წლიური სიდიდეები მაქსიმალურია მამისონის უღელტეხილზე და მინიმალურია სადგურ ჭრებალოში. ქარის სიჩქარის საშუალოთვიური სიდიდეები მამისონის უღელტეხილზე წელიწადში მერყეობს 4.4მ/წმ-დან (V)-6.7მ/წმ-მდე (II) მაქსიმუმით ზამთრის თვეებში და მარტში (6.2-6.7მ/წმ) მინიმუმით მაისიდან სექტემბრის ჩათვლით 4.4მ/წმ-დან (V)-4.8მ/წმ-მდე (VII,IX).

ცხრილი 3.3.1. ქარის სიჩქარის საშუალოთვიური და წლიური სიდიდეები მ/წმ (Справочник по климату СССР, 1968)

თ ვ 3 0												ი ა კ ი
I	II	III	IV	V	VI	VII	VIII	IX	X	XI	XII	
შოვი												
1.1	1.7	1.5	1.3.	1.2.	1.0	1.0	0.8	1.0	1.3	1.3	1.2	1.2
მამისონის უღ.												
6.6	6.7	6.2	5.2	4.4	4.7	4.8	4.6	4.8	5.6	5.5	6.2	5.4
ცაგერი												
0.6	0.7	1.1	1.4	1.3	1.2	1.2	1.1	1.0	0.8	0.7	0.5	1.0
ონი												
0.8	1.1	1.6	1.9	1.6	1.5	1.6	1.6	1.2	0.9	0.8	0.6	1.3
ჭრებალო												
0.3	0.3	0.8	1.2	1.2	1.1	1.2	1.0	0.7	0.4	0.4	0.2	0.7
ამბროლაური												
1.7	1.9	2.8	3.1	2.6	2.4	2.5	2.5	2.2	1.9	1.9	1.6	2.3
ხერგა												
0.7	0.9	1.0	1.1	1.2	1.2	1.1	1.1	0.9	0.7	0.7	0.5	0.9

ქარის სიჩქარის წლიური სიდიდეები რაჭა-ლეჩხუმის ტერიტორიებზე მერყეობენ 0.7მ/წმ-დან (ჭრებალო)- 5.4მ/წმ-მდე (მამისონის უღელტეხილი) ქარის სიჩქარის წლიური სიდიდით გამოირჩევა სადგური ამბლორაური (2.3მ/წმ), შოვში და ონში ქარის სიჩქარის წლიური სიდიდე მერყეობს შესაბამისად 1.2მ/წმ(შოვი)-1.3მ/წმ(ონი) ფარგლებში. სადგურებზე: ჭრებალო, ხერგა და ცაგერი ეს მახასიათებელი მერყეობს 0.7მ/წმ-დან (ჭრებალო)- 1.0მ/წმ-მდე (ცაგერი) ფარგლებში.

ქარის სიჩქარის საშუალოთვიური და წლიური სიდიდეები (მ/წმ) (საქართველოს სამეცნიერო-გამოყენებითი კლიმატური ცნობარი)-ს მონაცემებით მოცემულია ცხრ. 3.3.2.-ში.

ცხრილი 3.3.2. ქარის სიჩქარის საშუალოთვიური და წლიური სიდიდეები (მ/წმ)

თ 3 9													წელი	
I	II	III	IV	V	VI	VII	VIII	IX	X	XI	XII			
ამბროლაუ-რი														
1.1 1.9 2.4 2.4 2.1 1.9 2.0 1.9 1.8 1.6 1.4 1.3 1.9														
მამისონის ულ.														
6.8	6.6	6.0	4.9	4.4	4.8	4.9	4.7	5.0	5.6	5.8	6.6	5.5		
ონი														
0.5	0.7	1.0	0.9	0.9	0.8	0.8	0.7	0.6	0.4	0.4	0.3	0.7		
შოვი														
1.2	1.3	1.4	1.4	1.4	1.3	1.4	1.2	1.4	1.3	1.1	1.2	1.3		

ცხრილ 3.3.1-ში მოცვანილი ქარის სიჩქარის საშუალოთვიური და წლიურური სიდიდეების გამოთვლის დაკვირვებების პერიოდის ხანგრძლივობა შეადგენდა 25 წელს (1936-1960), ხოლო ცხრილ 3.3.2.-ში მოცემული ანალოგიური მახასიათებლების სიდიდეები გამოთვლილია დაკვირვებების შედარებით ხანგრძლივი პერიოდისათვის (1936-1990წწ). როგორც ამ ცხრილების მონაცემების შედარებიდან ჩანს, დაკვირვებების პერიოდის ხანგრძლივობის ორჯერ გაზრდის შედეგად სადგურებზე მამისონის უღელტეხილი და შოვი ქარის სიჩქარის წლიური სიდიდეები დარჩა თითქმის უცვლელი- 5.4 და 5.5მ/წმ (მამისონის უღელტეხილი), 1.2 და 1.3მ/წმ (შოვი). სადგურ ამბლორა-ურში ქარის წლიური სიჩქარე დაკვირვების პერიოდის გახანგრძლივობით შემცირდა 0.4მ/წმ-ით, სადგურ ონში კი 0.6მ/წმ-ით, თითქმის ორჯერ (1.3 და 0.7მ/წმ).

ცხრილ 3.3.3.-ში მოცემულია იანვრისა და ივლისის თვეებისათვის ქარის საშუალოწლიური \bar{v} , უდიდესი $v_{\text{მაქ}}$ და უმცირესი $v_{\text{მინ}}$ სიჩქარეები (მ/წმ).

ქარის უდიდესი სიჩქარე აღნიშნულია იანვარში და ივლისში მამისონის უღელტეხილზე, შესაბამისად 11.3 და 7.6მ/წმ. სადგურ ამბლორა-ურში ამ მახასიათებლის სიდიდე იანვარში და ივლისში თითქმის უცვლელია, შეადგენს შესაბამისად 3.7(I) და 3.8(VII)მ/წმ-ს.

ცხრილი 3.3.3. ქარის საშუალოწლიური \bar{v} , უდიდესი v_{\max} და უმცირესი v_{\min} . სიჩქარეები მწმ (საქართველოს სამეცნიერო-გამოყენებითი კლიმატური ცნობარი, 2004)

სადგური	იანვარი			ივლისი		
	\bar{v}	v_{\max}	v_{\min}	\bar{v}	v_{\max}	v_{\min}
ამბროლაუ-რი	1.9	3.7	0.7	1.9	3.8	1.6
მამისონის უღ.	5.5	11.3	4.0	5.5	7.6	2.5
ონი	0.7	1.3	0.1	0.7	2.5	0.6
შოვი	1.3	1.7	0.1	1.3	1.6	0.2

სადგურ შოვში მამისონის უღელტეხილის ანალოგიურად v_{\max} -ის სიდიდეები იანვაში და ივლისში ერთმანეთთან: 1.7(I) და 1.6(VII)მწმ შესაბამისად სადგურ ონში ადგილი აქვს შებრუნებულ მოვლენას სხვა სადგურებისაგან განსხვავებით აქ v_{\max} -ის იანვრის მნიშვნელობა (1.3მ-წმ) ნაკლებია ივლისის სათანადო მნიშვნელობაზე (2.5მ-წმ). საქართველოს ტერიტორიაზე ქარის სიჩქარის მაქსიმალური მნიშვნელობები, როგორც წესი, აღინიშნებიან ზამთრის და გაზაფხულის პერიოდში, მინიმალური მნიშვნელობები კი ზაფხულის და გაზაფხულის პერიოდში. ამ კანონზომიერებიდან გამონაკლისს წარმოადგენენ ზოგიერთი სადგურები, რომელთა რიცხვს მიეკუთნება სადგური ონი.

ქარის სიჩქარის საშუალოთვიური და საშუალოწლიური მნიშვნელობების გარდა, ქარის ენერგეტიკული კადასტრის ძირითადი მახასიათებელია ქარის აქტიური და არააქტიური სიჩქარეების სიდიდე, მათი ხანგრძლივობისა და განმეორადობის ალბათობა. როგორც ცნობილია, ქარის ენერგოძრავის სიმძლავრე პირდაპირ პროპორციულია ქარის სიჩქარის კუბისა. ქარის ენერგოძრავები ნელი სვლით მუშაობას იწყებენ ქარის სიჩქარის 3-3.5მ-წმ-ის შემთხვევაში. მეორე ტიპის ქარის ენერგოძრავები სწრაფი სვლით მუშაობას იწყებენ ქარის სიჩქარის 4.5-5.0მ-წმ-ის შემთხვევაში. ქარის ეს სიჩქარეები ცნობილია მუშა სიჩქარეების სახელწოდებით. ქარის მუშა სიჩქარეების განმეორადობა წარმოადგენს ქარის ენერგეტიკული კადასტრის ასევე ერთ-ერთ ძირითად მახასიათებელს. ქარის სიჩქარეების ალბათობა გრადაციების მიხედვით წელიწადში (პროცენტებში შემთხვევათა საერთო რიცხვიდან) მოცემულია ცხრილ 3.3.4.-ში.

**ცხრილი 3.3.4. ქარის სიჩქარეების ალბათობა გრადაციების მიხედვით
წელიწადში (პროცენტებში შემთხვევათა საერთო რიცხვიდან) (Климат и климатические ресурсы Грузии, 1971)**

$v_{15\theta/\sqrt{\theta}}$														
0-1	2-3	4-5	6-7	8-9	10-11	12-13	14-15	16-17	18-20	21-24	25-28	29-34	35-40	
მამისონის უღ.														
13.0	20.4	24.5	17.8	9.7	5.7	3.5	1.8	1.1	1.5	0.4	0.3	0.3	0.01	
ონი														
70.2	18.7	8.3	2.2	0.5	0.02	0.04	0.01	0.02	0.01	0.002	-	-	-	-

ქარის სიჩქარეების ალბათობა გრადაციების მიხედვით დღე-ღამის სხვადასხვა (1,7,13,19) საათებში სადგურებზე მამისონის უღელტეხილი და ონი მოცემულია ცხრ. 3.3.5-ში.

ცხრილი 3.3.5. ქარის სიჩქარეების ალბათობა(%) გრადაციების მიხედვით დღეღამის სხვადასხვა (1,7,13,19სთ) საათებში

სთ	$v_{15\theta/\sqrt{\theta}}$									
	0-1	2-5	6-9	10-13	14-17	18-20	21-24	25-28	29-34	35-40
მამისონის უღ.										
1	14.6	43.8	26.9	8.7	2.9	1.8	0.5	0.4	0.4	-
7	14.0	45.9	27.6	7.8	2.7	1.2	0.4	0.2	0.2	0.01
13	10.5	12.8	29.6	11.1	3.4	1.6	0.4	0.2	0.4	0.02
19	13.0	46.9	25.9	9.2	2.6	1.5	0.4	0.3	0.2	0.01
ონი										
1	82.6	15.9	1.4	0.1	0.03	-		-	-	-
7	35.2	14.1	0.6	0.1	0.02	0.02	0.01	-	-	-
13	13.1	19.6	7.1	0.1	0.1	0.02	-	-	-	-
19	59.6	28.4	1.9	0.1	0.01	-	-	-	-	-

როგორც ცხრილებიდან (3.3.4, 3.3.5)-დან ჩანს, ქარის სამუშაო სიჩქარის წლიური განმეორადობა რაჭა-ლეჩხუმის ტერიტორიაზე, რომელიც აღწევს თითქმის 80%-ს დაფიქსირებულია მამისონის უღელტეხილზე (კავკასიონის მაღალმთიანი რაიონის ღია უღელტეხილზე), სადაც მთელი წელიწადის განმავლობაში გაბატონებულია დიდი სიჩქარის დასავლეთის მიმართულების ქარები. ამ სადგურში ქარის

სამუშაო სიჩქარეების საერთო ხანგრძლივობა ($\nu \geq 3\text{მ}/წმ$) წელიწადში აღწევს 6900-7000საათს.

წელიწადის სეზონების მიხედვით ქარის სამუშაო სიჩქარეების ($\nu \geq 3; 5\text{მ}/წმ$) განმეორადობა(%), ქარის სიჩქარეების ($\nu \geq 3\text{მ}/წმ$) საერთო ხანგრძლივობა წელიწადის სეზონების მიხედვით (სთ), ქარის სამუშაო სიჩქარეების ($\nu \geq 3\text{მ}/წმ$) საერთო ხანგრძლივობის განმეორადობა(%) სეზონების მიხედვით, წელიწადში საერთო ხანგრძლივობაზე დამოკიდებულებით და ქარის არააქტიური სიჩქარეების ($\nu = 0-2\text{მ}/წმ$) საერთო ხანგრძლივობის განმეორადობა(%) სეზონების მიხედვით წელიწადში საერთო ხანგრძლივობაზე დამოკიდებულებით სადგურ მამისონის უდელტეხილისათვის მოცემულია ცხრილ 3.3.6.-ში (Сухишвили, 1959).

ცხრილი 3.3.6. 1-(%), 2-(სთ), 3-(%), 4-(%)

1%							
ზამთარი		გაზაფხული		ზაფხული		შემოდგომა	
≥ 3	≥ 5	≥ 3	≥ 5	≥ 3	≥ 5	≥ 3	≥ 5
78	59	68	46	73	51	74	53
2სთ							
ზამთარი							
ქარის სიჩქარე მ/წმ							
≥ 3	≥ 4	≥ 5	≥ 6	≥ 7	≥ 8	≥ 9	≥ 10
1856	1412	1258	895	843	639	612	486
გაზაფხული							
1605	1118	958	606	532	374	322	247
ზაფხული							
1753	1206	1020	599	528	336	261	182
შემოდგომა							
1766	1283	1133	751	665	424	360	239
3(%)							
ზამთარი		გაზაფხული		ზაფხული		შემოდგომა	
27		23		25		25	
4(%)							
12		34		26		23	
100							

როგორც ცხრილ 3.3.6.-დან ჩანს, წელიწადის სეზონების მიხედვით ქარის საშუალო სიჩქარეების ($v \geq 3\text{m}/\text{წ}$) განმეორადობა ნელსვლიანიერგომრავების შემთხვევაში მერყეობს 8 (გაზაფხული-ისი) ფარგლებში წრაფი სვლითერგომრავების შემთხვევაშიარის სიჩქარეების $\geq 5\text{m}/\text{წ}$) განმეორადობადში მერყეობს 6 (გაზაფხული) – 59%-ისი) ფარგლებში.

ქარის სამუშაო სიჩქარეების ხანგრძლივობა ქარის სიჩქარის მატებისას 3-10მ/წ-ის ფარგლებში მცირდება ზამთარში 1856 საათიდან 486 საათამდე, გაზაფხულზე -1605 საათიდან 247 საათამდე, ზაფხულში -1753 საათიდან 182 საათამდე, შემოდგომაზე 1766 საათიდან 239 საათამდე.

ქარის სამუშაო სიჩქარეების ($v \geq 3\text{m}/\text{წ}$) ხანგრძლივობის განმეორადობა (%) სეზონების მიხედვით წელიწადში საერთო ხანგრძლივობაზე დამოკიდებულებით ახლოა ერთმანეთთან: მერყეობს 23 (გაზაფხული) -27%-ის (ზამთარი) ფარგლებში, ქარის არააქტიური სიჩქარეების ($v=0-2\text{m}/\text{წ}$) ხანგრძლივობის განმეორადობა (%) სეზონების მიხედვით წელიწადში საერთო ხანგრძლივობაზე დამოკიდებულებით მინიმალურია ზამთარში (12%), მაქსიმალურია გაზაფხულზე (34%), ზაფხულში და შემოდგომაზე ის შეადგენს შესაბამისად 26 და 23%-ს.

ცხრილ 3.3.7-ში მოცემულია სადგურ მამისონის უდელტეხილი-სთვის ქარის სამუშაო სიჩქარეების საერთო წლიური ხანგრძლივობის განმეორადობა (%) წელიწადში საათების საერთო რიცხვზე დამოკიდებულებით (ა), ქარის სხვადასხვა სიჩქარის ხანგრძლივობის განმეორადობა (%) სამუშაო სიჩქარეების საერთო ხანგრძლივობაზე დამოკიდებულებით. წელიწადში (ბ), ქარის არააქტიური სიჩქარეების ($v=0-2\text{m}/\text{წ}$) საერთო ხანგრძლივობა (საათი) წელიწადის სეზონების მიხედვით (გ) და ქარის არააქტიური სიჩქარეების ($v=0-2\text{m}/\text{წ}$) ხანგრძლივობის განმეორადობა (%) სეზონების მიხედვით (%წელიწადში საათების რიცხვიდან).

როგორც ცხრილ 3.3.7.-დან ჩანს, ქარის სამუშაო სიჩქარეების ზრდის პარალელურად საერთო წლიური ხანგრძლივონის განმეორადობა 80%-დან ($v \geq 3\text{m}/\text{წ}$) 13%-მდე ($v \geq 10\text{m}/\text{წ}$) ასევე ქარის სხვადასხვა სიჩქარის ხანგრძლივობის განმეორადობა(%). სამუშაო

სიჩქარეების ზრდისას მცირდება 100-დან ($v \geq 3\text{მ/წმ}$) 16%-მდე ($v \geq 10\text{მ/წმ}$). ქარის არააქტიური სიჩქარეების ($v=0-2\text{მ/წმ}$) საერთო ხანგრძლივობა მამისონის უღელტეხილზე მერყეობს 304 საათიდან (ზამთარი) 603 საათამდე (გაზაფხული). ზაფხულის და შემოდგომის სეზონებისთვის ეს მაჩვენებელი შესაბამისად ტოლია 455 და 418 საათისა. არააქტიური სიჩქარეების ხანგრძლივობა წელიწადში შეადგენს 1780 საათს. ქარის არააქტიური სიჩქარეების ხანგრძლივობის განმეორადობა სეზონების მიხედვით (%) წელიწადში საათების საერთო რიცხვიდან) მერყეობს 3%-დან (ზამთარი) – 7%-მდე (გაზაფხული). ზაფხულის და შემოდგომის შემთხვევაში ეს მაჩვენებელი ტოლია 5%-ისა. ამრიგად, ქარის არააქტიური სიჩქარეების ხანგრძლივობის განმეორადობა წელიწადში (%) წელიწადში საათების საერთო რიცხვიდან) შეადგენს 20 საათს.

ცხრილი 3.3.7. $\alpha(\%)$, $\delta(\%)$, $\beta(\text{სთ})$, $\varphi(\%)$ სადგური მამისონის უღელტეხილი (Сухишвили, 1959)

$\alpha (\%)$				
v	≥ 3	≥ 5	≥ 8	≥ 10
%	80	50	20	13
B $\delta (\%)$				
v	≥ 3	≥ 5	≥ 8	≥ 10
%	100	62	25	16
$\beta(\text{სთ})$				
t(სთ)	ზამთარი	აზაფხული	ზაფხული	შემოდგომა
	304	603	455	418
$\varphi(\%)$				
%	ზამთარი	აზაფხული	ზაფხული	შემოდგომა
	3	7	5	20

ქარის სამუშაო სიჩქარეების ხანგრძლივობის დროში და სივრცეში განაწილების კანონზომიერების დადგენისას დიდი მნიშვნელობა ენიჭება ქარის სამუშაო სიჩქარეების ($v \geq 3\text{მ/წმ}$) უწყვეტ ხანგრძლივობას ცხრილ 3.3.8-ში სადგური მამისონის უღელტეხილისათვის მოცემულია წელიწადის განმავლობაში ქარის

სამუშაო სიჩქარეების ($v \geq 3\text{მ}/\text{წმ}$) უწყვეტი ხანგრძლივობის (სთ) უზრუნვერლყოფა(%) (ა), ქარის სამუშაო სიჩქარეების ($v \geq 3\text{მ}/\text{წმ}$) უდიდესი უწყვეტი ხანგრძლივობა (სთ) და მისი უზრუნველყოფა(%) (ბ), ქარის სამუშაო სიჩქარეების ($v \geq 3\text{მ}/\text{წმ}$) უწყვეტი ხანგრძლივობის უზრუნველყოფა სეზონების მიხედვით(%) - (გ).

როგორც ცხრილ 3.3.8.-დან ჩანს, ქარის სამუშაო სიჩქარეების ($v \geq 3\text{მ}/\text{წმ}$) 6 საათიანი უწყვეტი ხანგრძლივობის (სთ) უზრუნველყოფა წელიწადში შეადგენს 90%-ს, 24 საათიანი უწყვეტი ხანგრძლივობის (სთ) უზრუნველყოფა 42%-ს, 48 საათიანის- 22%-ს, 72 საათიანის (3 დღეღამე) – 12%-ს, 168 საათიანის (7 დღე-ღამე) – 1%-ს. ქარის უწყვეტი ხანგრძლივობის ზრდასთან სინქრონულად მისი უზრუნველყოფა მცირდება.

ცხრილი 3.3.8. სადგურ მამისონის უღელტეხილზე ქარის მახასიათებლების ა, ბ, გ- სიდიდეები (Сухишвили, 1959)

ა - ქარის უწყვეტი ხანგრძლივობა, სთ								
≥ 6	≥ 12	≥ 24	≥ 48	≥ 72	≥ 96	≥ 120	≥ 144	≥ 168
99	70	42	22	12	8	4	2	1
ბ								
ხანგრძლივობა, სთ			თ 3 ე			უზრუნველყოფა, %		
348			XII			0.7		
გ - ხანგრძლივობა, სთ								
≥ 12	≥ 24	≥ 12	≥ 24	≥ 12	≥ 24	≥ 12	≥ 24	
ზამთარი		გაზაფხული		ზაფხული		შემოდგომა		
73	51	66	40	71	36	71	40	

მამისონის უღელტეხილზე ქარის სამუშაო სიჩქარის ($v \geq 3\text{მ}/\text{წმ}$) უდიდესი უწყვეტი ხანგრძლივობა შეადგენს 348 საათს დეკემბერში, მისი უზრუნველყოფა ტოლია 0.7%-სა. ქარის სამუშაო სიჩქარეების ($v \geq 3\text{მ}/\text{წმ}$) 12 საათიანი უწყვეტი ხანგრძლივობის უზრუნველყოფის(%) სიდიდე წელიწადის განმავლობაში შეადგენს 73%-(ზამთარი), 66%-ს (გაზაფხული), 71%-ს (ზაფხული და შემოდგომა), ხოლო 24 საათიანი უწყვეტი ხანგრძლივობის უზრუნველყოფის სიდიდე

შესაბამისად ტოლია 51% (ზამთარი), 40% (გაზაფხული, შემოდგომა) 36%-სა (ზაფხული). ქარის არააქტიური სიჩქარეების ($v=0-2\text{მ}/\text{წ}$) უწყვეტი ხანგრძლივობის უზრუნველყოფა (%) წელიწადში (ა), ქარის არააქტიური სიჩქარეების უდიდესი უწყვეტი ხანგრძლივობა (სთ) და მისი უზრუნველყოფა (%) –(ბ) და ქარის არააქტიური სიჩქარეების (0-2\text{მ}/\text{წ}) საშუალო უწყვეტი ხანგრძლივობის (სთ) სიდიდე წელიწადის სეზონების მიხედვით (გ) სადგურ მამისონის უღელტეხილზე მოცემულია ცხრ. 3.3.9-ში (Сухишвили, 1959).

ცხრილი 3.3.9. ქარის არააქტიური სიჩქარეების ($v=0-2\text{მ}/\text{წ}$)

მახასიათებლები

ქარის უწყვეტი ხანგრძლივობა (სთ)		
≥ 6	≥ 12	≥ 24
99	40	4
უდიდესი უწყვეტი ხანგრძლივობა (სთ)		
ხანგრძლივობა, (სთ)	თ ვ ე	უზრუნველყოფა, %
120	111	0.5
საშუალო უწყვეტი ხანგრძლივობა სეზონების მიხედვით (სთ)		
ზამთარი	გაზაფხული	ზაფხული
11	16	11
		11

აღსანიშნავია, რომ რაჭა-ლეჩხუმის რაიონისათვის დამახასიათებელია ქარის ენერგეტიკული რესურსების ცვალებადობის დიდი დიაპაზონი. რაჭა-ლეჩხუმის დაბლობის წინამთის ტერიტორიაზე (სადგურები: ჭრებალო, ამბროლაური, ცაგერი) ქარის ენერგეტიკული კადასტრის მნიშვნელოვანი მახასიათებელი ქარის სიჩქარის საშუალოთვიური და წლიური სიდიდე, ნაკლებია ქარის საშუალო სიჩქარეების მინიმალურ სიდიდეებზე (3\text{მ}/\text{წ}), რის შედეგად აქ არსებული პირობები არახელსაყრელია ქარის ენერგეტიკული რესურსების გამოსაყენებლად.

თავი IV. აგროკულტურების სითბოთი და ტენით უზრუნველყოფა

4.1 აგროკულტურების სითბოთი და ტენით უზრუნველყოფა

რაჭა-ლეჩხეუმი - ქვემო სვანეთის რეგიონი ზღ. დონიდან 800-1000 მ სიმაღლემდე ზომიერ კლიმატურ პირობებშია, ხოლო აღნიშნული სიმაღლის ზევით გადადის კონტინენტური კლიმატის ზონაში (მკაცრი კლიმატური ზონა). შედარებით მკაცრი კლიმატური და რთული რელიეფის პირობებიდან გამომდინარე, სასოფლო-სამეურნეო დანიშნულების მიწის სავარგულები მცირეა, რის გამოც სოფლის მერნეობის მრავალმხრივი დარგის ინტენსიური განვითარება შეზღუდულია. მიუხედავად ამისა, აյ შესაბამისი პირობების მიხედვით, წამყვანი კულტურებია ვაზი და ხეხილოვანები, მარცვლოვანი, ძირითადად სიმინდი და პარკოსანი (ლობიო) კულტურები. ვაზის განვითარებისათვის ხელსაყრელი ნიადაგურ-კლიმატური პირობებია, ძირითადად დაბლობ და მთის ფერდობებზე ზღ. დონიდან 400-800მ სიმაღლემდე. რეგიონში მნიშვნელოვანი ხვედრითი წილი აქვს კონტინენტურ თესლოვან კულტურებს, განსაკუთრებით ვაშლს და მსხალს. პერსპექტიულია აგრეთვე კურკოვანი, კაკლოვანი და კენკროვანი კულტურების გავრცელება. დაბლობში გვხვდება მშრალი სუბტროპიკული კულტურების (ლედვი, ბროწეული) მცირე ნარგაობა, თუმცა ისინი ყინვებისაგან ზოგჯერ საგრძობლად ზიანდება და მაღალ ზონაში აქტიურ (10°C -ის ზევით) ტემპერატურათა ჯამის ნაკლებობის გამო არ ვრცელდება.

რაჭა-ლეჩხეუმი - ქვემო სვანეთის რეგიონში ზემოაღნიშნული რთული და მრავალფეროვანი ბუნებრივი პირობების შესაბამისად, სოფლის მეურნეობის შემდგომ განვითარებას პირველხარისხოვანი მნიშვნელობა აქვს. იგი რეგიონში უზრუნველყოფს ეკონომიკის გაძლიერებას. აქედან გამომდინარე, ეფექტურად უნდა იქნას გამოყენებული მეცნიერულად დასაბუთებული აგროკლიმატური რესურსების მახასიათებლები, აღნიშნული კულტურების მოთხოვნილების გათვალისწინებით.

აგროკულტურების ნორმალური ზრდა-განვითარება და მაღალი პროდუქტიულობა ძირითადად დამოკიდებულია ადგილის აგროკლიმატურ რესურსებზე (სითბო, სინათლე, ატმოსფერული ნალექები და სხვა). მიწათმოქმედებაში დიდი მნიშვნელობა ენიჭება აგროკლიმატური რესურსების ეფექტურად გამოყენებას, განსაკუთრებით მთიანი და შედარებით მაღალმთიანი რეგიონისათვის. ერთერთ ასეთ მნიშვნელოვან რესურს წარმოადგენს სითბო, რომელიც აგრო-

კულტურების გარანტირებული მოსავლის მიღების საშუალებას იძლევა.

უნდა აღინიშნოს, რომ რეგიონში გაზაფხულზე ადრე ან გვიან ვეგეტაციის დაწყება ჰაერის საშუალო დღეღამურ ტემპერატურაზეა დამოკიდებული. დადგენილია, რომ ვაზი, მშრალი სუბტროპიკული კულტურები (ლელვი, ბროწეული და სხვა) ვეგეტაციას იწყებენ ჰაერის საშუალო დღეღამური ტემპერატურის 10°C -ის ზევით გადასვლის თარიღის დადგომიდან, ასევე მოცემულ ტემპერატურაზე შეიძლება დაიწყოს ბოსტნეული-ბალჩეული კულტურების ჩითილების და გრუნტში გადარგვა და სხვა.

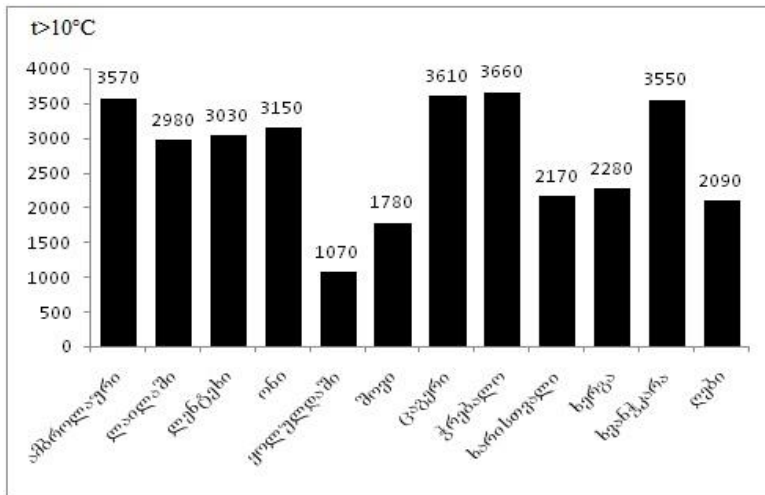
ჰაერის საშუალო დღეღამური ტემპერატურის 10°C -ის ზევით მდგრადი გადასვლის თარიღის დადგენა ხდება რეგრესიის განტოლებით:

$$n = 0,0447h + 45 \quad (1)$$

განტოლებაში n - ჰაერის საშუალო დღეღამური ტემპერატურის 10°C -ის ზევით დადგომის თარიღია (ანუ დღეთა რიცხვი 1 - თებერვლიდან ტემპერატურის 10°C -ის ზევით დადგომის თარიღამდე), h - ზღ. დონიდან სიმაღლე. მოცემულ რაიონში ზღ. დონიდან სიმაღლის მაჩვენებლის განტოლებაში (1) ჩასმით და სათანადო გაანგარიშებით მიღებული რიცხვი გადაითვლება 1 - თებერვლიდან, რაც განსაზღვრავს აღნიშნული რაიონისათვის 10°C -ის ზევით დადგომის თარიღს.

მოცემული რეგიონისათვის მოგვყავს 10°C -ის ზევით ტემპერატურის გადასვლის დადგომის საშუალო თარიღები. ამბროლაურში იგი დაიკვირვება 11.IV, ლაილაში - 22.IV, ლენტებში - 20.IV, ონში - 18.IV, შოვში - 18.V, ცაგერში - 10.IV, ხვანჭკარაში - 13.IV, ღებში - 6.V, უწერაში - 25.IV.

ტერიტორიაზე, სადაც კულტურები სითბოსადმი მოთხოვნილების შესაბამისად არ არის უზრუნველყოფილი, ზრდა-განვითარება ნორმალურად არ მიმდინარეობს, მოსავალის და მისი ხარისხის მაჩვენებელი დაბალია. ამიტომ, რეგიონის რაიონებში საჭიროა ჰაერის აქტიური (10°C -ის ზევით) ტემპერატურის ჯამის განსაზღვრა, რაც ყოველწლიურად იცვლება $\pm 400^{\circ}\text{C}$ და მეტით. ტემპერატურის ასეთმა ცვლილებამ შეიძლება გამოიწვიოს მოსავლის რაოდენობის მერყეობა (მატება ან კლება). ნახაზზე 4.1.1. მოცემულია საკვლევი რეგიონის აქტიურ ტემპერატურათა ჯამები რაიონების მიხედვით.



ნახ. 4.1.1. რაჭა-ლეჩხუმი - ქვემო სვანეთის რეგიონის აქტიურ ტემპერატურათა ჯამში ($>10^{\circ}\text{C}$) თბილ პერიოდში

ვაზის საგვიანო ჯიშების ("ცოლიკაური", "ციცქა") მტევნის მარცვლების სრული მომწიფებისათვის საჭიროა 10°C -ის ზევით 3700°C ტემპერატურათა ჯამი. აღნიშნული ჯიშები ტვიშში (ცაგერი) დამწიფდება ყოველ წელს, ჭრებალოში 5-ჯერ, ცაგერში 4-ჯერ, ხოლო ამბროლაურში 2-ჯერ ყოველ ათ წელში. ცხადია, ჭრებალოში, ცაგერში და ამბროლაურში ტემპერატურათა ჯამი ვერ უზრუნველყოფს აღნიშნული ჯიშების სრულ სიმწიფეს, ამიტომ მათი გაშენება ასეთ პირობებში არარენტაბელურია. მათი გაშენება მიზანშეწონილია სოფელ ტვიშის მიკროკლიმატურ პირობებში.

საყურადღებოა რეგიონში სიმინდის სხვადასხვა ჯიშების გავრცელების პერსპექტივა. საადრეო ჯიში "აჯამეთის ყვითელი" მთის "კრემისებური თეთრი" და "ყვითელი" მარცვლების სრული სიმწიფი-სათვის საჭიროებნ საშუალოდ 2200°C ტემპერატურათა ჯამს. მოცემული სიმინდის ჯიშების სრული სიმწიფე საჭირო ტემპერატურათა ჯამით უზრუნველყოფილი იქნება ყოველ წელს ზღ. დონიდან $1100-1200\text{m}$ სიმაღლემდე (ხერგა, ხარისთვალი, ღები და სხვა). სიმინდის საგვიანო ჯიშები - "აბაშის თეთრი", "ქართული კრუგი", "აჯამეთის თეთრი", "ჩოქელა" (სრული სიმწიფისათვის საჭიროებენ 3200°C ტემპერატურათა ჯამს) ზღ. დონიდან $400-600\text{ m}$ სიმაღლემდე სრული სიმწიფისათვის უზრუნველყოფილი იქნება საჭირო ტემპერატურათა ჯა-

მით ყოველ წელს (ცაგერი, ჭრებალო, ამბროლაური და სხვა), ხოლო 800მ სიმაღლემდე ონში უზრუნველყოფილი იქნება 5-ჯერ, ლენტებში 3-ჯერ ყოველ ათ წელში. უზრუნველყოფათა ეს მაჩვენებლები მოცემულ რაიონებში სიმინდის საგვიანო ჯიშის გავრცელებისათვის თითქოს არარენტაბელურია. თუმცა, სამარცვლე სიმინდის საჭიროების შემთხვევაში (ონისათვის, უზრუნველყოფა 5-ჯერ ყოველ ათ წელში) დანარჩენ 5 წელში ნედლი სახით ან სასილოსედ შესაძლებელია მისაღები იყოს ეკონომიკური თვალსაზრისით. ანალოგიური შემთხვევაა ლენტების რაიონისათვის (უზრუნველყოფა 3-ჯერ ყოველ ათ წელში), თუმცა, ამ რაიონისათვის ასეთი უზრუნველყოფა ნაკლებად მისაღებია.

რეგიონის რაიონებისათვის გამოთვლილია აქტიურ ტემპერატურათა ჯამების უზრუნველყოფები (ცხრ. 4.1.1).

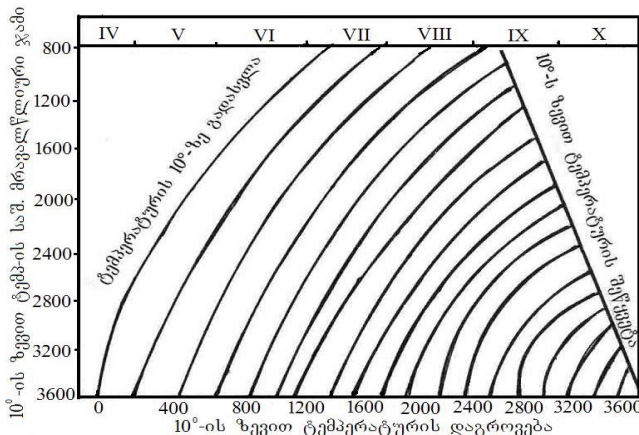
ცხრილში მოცემული 10°C-ის ზევით ტემპერატურათა ჯამებით (3500°C და მეტი) უზრუნველყოფილია 50%-ით რაჭა-ლეჩხუმი - ქვემო სვენეთის რეგიონი ზღ. დონიდან 400-800 მ სიმაღლემდე, რაც უზრუნველყოფს მარცვლეული, ბოსტნეული, ვაზის, ხეხილოვანი და სხვა კულტურების ნორმალურ განვითარებას და მაღალი ხარისხის მოსავალს. 800-1200 მ სიმაღლემდე ტემპერატურის ჯამი კლებულობს 3000°C-დან 2300°C-მდე.

ცხრილი 4.1.1 ჰაერის ტემპერატურათა ჯამების (>10° C) უზრუნველყოფა

მეტეოროდეგური	უზრუნველყოფა, %					
	10	30	50	70	90	95
ამბროლაური	3820	3670	3570	3470	3320	3230
ლენტები	3280	3130	3030	2930	2780	2710
ლაილაში	3230	3080	2980	2880	2730	2680
ონი	3400	3250	3150	3050	2900	2850
ყორულდაში	1320	1170	1070	970	820	760
შოვი	2030	1880	1780	1680	1530	1460
ცაგერი	2860	3710	3610	3510	3360	3290
ხერგა	2530	2380	2280	2180	2030	1960

მოცემულ პირობებში შესაძლებელია საადრეო სიმინდის, საგაზაფხულო ხორბლის, ქერის, ბოსტნეულის, ვაზის (საადრეო ჯიში) და ხეხილოვანი (ვაშლი, მსხალი და სხვა) კულტურების განვითარება. 1200-1600 მ სიმაღლემდე შესაძლებელია საადრეო ხეხილოვანი, კენ-

კროვანი და ბოსტნეული კულტურების გავრცელება, ასევე ხელსაყრელია სათიბ-საძოვრების გაფართოვება. მაშასადამე, აგროკულტურების (მათ შორის სხვადასხვა ჯიშები) მოთხოვნილება ტემპერატურათა ჯამის მიმართ განსხვავებულია. ტემპერატურათა ჯამის ნაკლებობის შემთხვევაში, მცენარეთა ფენოფაზების ნორმალური განვითარება არ მიმდინარეობს, რაც საბოლოოდ იწვევს მოსავლის შემცირებას. აგროკულტურების ნებისმიერი ფენოლოგიური ფაზის განვითარებისათვის (ყვავილობა, სიმინდის და თავთავიანი კულტურების ცვილისებრი სიმწიფე, ნაყოფების სიმწიფე და სხვა) უნდა განისაზღვროს როდის დაგროვდება (კონკრეტული თარიღი) საჭირო ტემპერატურათა ჯამი მოცემული ფაზისათვის. შედგენილია ნომოგრამა (ნახ. 4.1.2), რომელიც გამოიყენება ზღ. დონიდან 400-500 მ-დან 2000 მ და მეტ სიმაღლემდე.



ნახ. 4.1.2 ჰაერის ტემპერატურათა (10°C -ის ზევით) ჯამის დაგროვება დამოკიდებული ტემპერატურის საშუალო მრავალწლიურ ჯამზე

მაგალითისათვის. დაუშვათ, უნდა განისაზღვროს რომელი თვის თარიღში დაგროვდება 3200°C ტემპერატურის ჯამი (10°C -ის ზევით), რომელიც საჭიროა სიმინდის საგვიანო ჯიშის - "აბაშის თეთრის" ან "აჯამეთის თეთრის" ცვილისებრი ფაზის სრული სიმწიფისათვის. ნომოგრამაზე (ნახ. 4.1.2) განსაზღვრიდან ირკვევა, რომ მოცემული კულტურის ცვილისებრი ფაზის სიმწიფე დაიკვირვება ამბროლაურში და ცაგერში საშუალოდ 30.IX, ონში - 5.X, ლენტებში - 10.X.

რაჭა-ლეჩხუმი - ქვემო სვანეთის რეგიონის რაიონებისათვის აგროკულტურების სითბოთი უზრუნველყოფის პროგნოზის

პრაქტიკული გამოყენებისათვის შედგენილია რეგრესიის
განტოლებები:

$$\text{ამბროლაური} \quad \sum T = -12,4n + 4438 \quad (1)$$

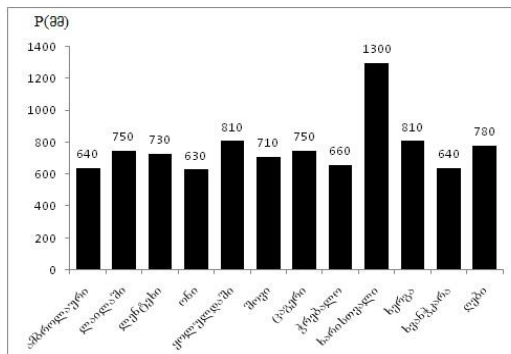
$$\text{ლენტეხი} \quad \sum T = -14,5n + 4176 \quad (2)$$

$$\text{ონი} \quad \sum T = -13,9n + 4220 \quad (3)$$

$$\text{ცაგერი} \quad \sum T = -13,1n + 4514 \quad (4)$$

მოცემულ განტოლებებში $\sum T$ - საპროგნოზო ჰაერის ტემპერატურის ჯამია 10°C -ის ზევით გადასვლის თარიღიდან, n - დღეთა რიცხვია 1 - თებერვლიდან ჰაერის ტემპერატურის 10°C -ის ზევით გადასვლის თარიღის დადგომამდე. აღნიშნული პროგნოზის ცდომილება (S_{\pm}) და-საშვებია $\pm 50^{\circ}\text{C}$, იშვიათად $\pm 100^{\circ}\text{C}$. მისი შედგენა შესაძლებელია მაისის პირველ პერტადაში. პროგნოზის წინასწარობა შეადგენს 4-5 თვეს.

აგროკულტურების გარანტირებული მოსავლის მიღებაში აგროკლიმატური რესურსებიდან დიდ როლს ასრულებს ატმოსფერული ნალექები. რეგიონის ტერიტორიაზე მათი განაწილება რამდენად-მე დამაკმაყოფილებელია, მაგრამ ზაფხულის ვეგეტაციის პერიოდში, განსაკუთრებით ზღ. დონიდან 700-800 მ სიმაღლემდე ზოგჯერ ნაკლებად არის განაწილებული. ამ შემთხვევაში არ მოიაზრება ხარის-თვალის (ამბროლაური) პირობებში ნალექების განაწილება, რადგან სავეგეტაციო პერიოდში იგი თანაბრად არის განაწილებული და საკ-მარისზე მეტიც დაიკვირვება. ნახაზზე 4.1.3. მოცემულია საკვლევი რეგიონის ატმოსფერული ნალექების ჯამები (მმ) რაიონების მიხედ-ვით.



ნაზ. 4.1.3. რაჭა-ლეჩხეთი - ქვემო სკანეთის რეგიონის ატმოსფერული ნალექების ჯამები (მმ) თბილ პერიოდში.

რეგიონის რაიონების მიხედვით სავეგეტაციო პერიოდისათვის მოგვავს ატმოსფერული ნალექების უდიდესი - 10%-ით და უმცირესი - 90%-ით უზრუნველყოფები (მმ) თბილ პერიოდში (ცხრ. 4.1.2).

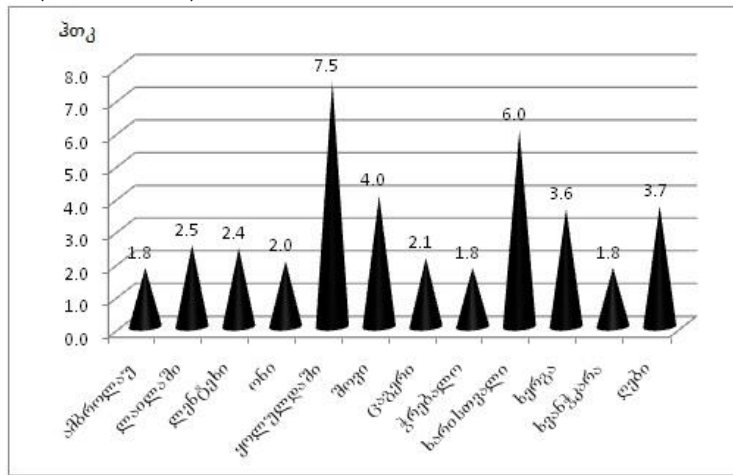
ცხრილი 4.1.2 ატმოსფერული ნალექებით (მმ) უზრუნველყოფა თბილ პერიოდში 10%-ით

მეტეოროლოგური	თ ვ ე						
	IV	V	VI	VII	VIII	IX	X
ლაილაში	176	164	168	170	136	188	200
ონი	118	132	132	133	128	129	165
ყორულდაში	183	201	169	163	188	172	221
შოვი	154	180	169	162	192	147	215
ცაგერი	152	150	152	158	148	156	218
ჭრებალო	129	142	132	122	132	148	191
ხერგა	168	167	157	142	150	180	253
90%-ით							
ლაილაში	46	56	54	26	39	39	41
ონი	36	56	49	26	30	37	27
ყორულდაში	52	68	64	48	46	57	49
შოვი	44	63	69	42	45	52	49
ცაგერი	32	38	46	30	30	34	44
ჭრებალო	29	37	42	23	25	34	34
ხერგა	31	46	39	27	40	56	45

ცხრილში 4.1.2 მოცემული მონაცემების ანალიზის მიხედვით, ატმოსფერული ნალექების უდიდესი - 10%-ით უზრუნველყოფა გა-ზაფხულზე (IV-V) ზღ. დონიდან 400-800 მ სიმღლემდე საშუალოდ 118-152 მმ ფარგლებშია. ზაფხულში მცენარეთა აქტიური ვეგეტაციის პერიოდში (VI-VIII), რამდენადმე მატულობს 128-158 მმ (ონი, ცაგერი), თუმცა იგი ჭრებალოში ოდნავ მცირდება, ხოლო შემოდგომაზე ყველა ხსენებულ ადგილში აშკარად მეტია წინა ორ სეზონთან შედარებით (129-191 მმ). აღნიშნულ სიმაღლემდე ნალექების უმცირესი 90%-ით უზრუნველყოფა ზაფხულის სეზონზე ოდნავ მცირდება (ონი, ცაგერი, ჭრებალო და სხვა). მოცემული მაჩვენებლები არ იძლევა სრულ გარანტიას მოსავლის ნორმალური ფორმირებისათვის. ამიტომ, სასურველია კულტურების ტენით უზრუნველყოფა.

აღნიშნული ზონა ზღ. დონიდან 800-1200 მ სიმაღლემდე ნალექების უდიდესი - 10%-ით და უმცირესი - 90%-ით უკეთ არის უზრუნველყოფილი. აქ აგროკულტურები არ საჭიროებენ დამატებით მორწყვითი ღონისძიების ჩატარებას (ლაილაში, ხერგა და სხვა), თუმცა ცალკეულ წლებში (გვალვა), შეიძლება საჭირო გახდეს მოსავლის შენარჩუნებისათვის. 1200-2000 მ სიმაღლემდე და ზევით ზონა კიდევ უფრო უკეთესად არის უზრუნველყოფილი აღნიშნული რაოდენობის ნალექებით. აქ ხეხილოვანი, კენკროვანი, ხორბლეული, ბოსტნეული კულტურების, ასევე მეცხოველეობის ძირხვენა კულტურებისა და სათიბ-საძოვრების განვითარებისათვის სრულიად დამაკაყოფილებელი პირობებია.

აქტიურ ტემპერატურათა ($>10^{\circ}\text{C}$) და ატმოსფერული ნალექების ჯამების საფუძველზე გამოთვლილი იქნა ჰიდროთერმული კოეფიციენტი (ჰტკ), რაც ნიადაგში წყლის ბალანსის მნიშვნელოვანი მაჩვენებელია (ნახაზი 4.1.4).



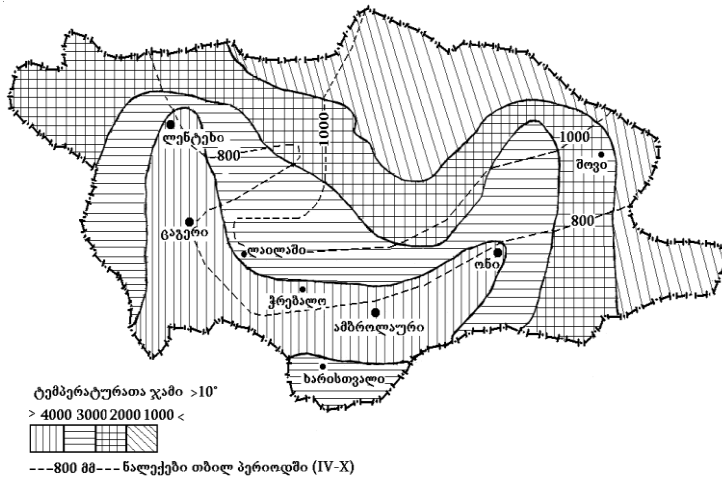
ნახ. 4.1.4 რაჭა-ლეჩხუმი - ქვემო სვანეთის რეგიონის ჰიდროთერმული კოეფიციენტის მაჩვენებლები თბილ პერიოდში.

მოცემული აგროკლიმატური მახასიათებლები რეგიონის ტერიტორიისათვის საკმაოდ ხელსაყრელია აგროკულტურების ნორმალური განვითარებისათვის, განსაკუთრებით ზღ. დონიდან 400-800 მ სიმაღლემდე. სადაც შესაძლებელია მარცვლეულის, ვაზის, ბოსტნეულის და სხვა კულტურების მაღალ დონეზე წარმოება. მოცემული სიმაღლის ზევით ტემპერატურის ჯამი მცირდება და ზოგიერთი კულტურის (ვაზი, ხეხილოვანი, ბაღჩეული) გავრცელება რამდენადმე იზ-

ღუდება. თუმცა, ასეთ მაღალ პირობებში კარგად ვითარდება საშემოდგომო და საგაზაფხულო ხორბალი, ქერი, შვრია, ბოსტნეული და სხვა.

4.2 აგროკლიმატური ზონები

აგროკულტურების მაღალი მოსავლის მიღება მნიშვნელოვან-წილად არის დამოკიდებული აგროკლიმატური რესურსების ეფექტურად გამოყენებაზე. აქედან გამომდინარე, აგროფერმერულ და კერძო სექტორის მეურნეობებში კულტურების წარმოების რენტაბელობისათვის საჭიროა მათი რაციონალურად განლაგება, აგროკლიმატური რესურსების მოთხოვნილების შესაბამისად. აღნიშნულთან და-კავშირებით, სავეგეტაციო პერიოდში აქტიური ($>10^{\circ}\text{C}$) ტემპერატურისა და ატმოსფერული ნალექების ჯამების გათვალისწინებით, შედგენილია რაჭა-ლეჩხუმი - ქვემო სვანეთის რეგიონის აგროკლიმატური ზონების რუკა (ნახ. 4.2.1), სადაც გამოყოფილია 4 აგროკლიმატური ზონა.



ნახ. 4.2.1 რაჭა-ლეჩხუმი - ქვემო სვანეთის რეგიონის აგროკლიმატური ზონები

I - ზონა მდებარეობს ზღ. დონიდან 400-800 მ სიმაღლემდე. აქტიურ ტემპერატურათა ჯამი 3000-3600°C და ცოტა მეტია. ატმოსფერული ნალექების ჯამი (მმ) ცივ პერიოდში (XI-XIII) შეადგენს 420-550 მმ, თბილ პერიოდში (IV-X) 630-750 მმ. ბოლო წაყინვების შეწყვეტა დაიკვირვება საშუალოდ 3-5.IV, პირველი წაყინვები დაიკვირვება

31.X-13.XI. უყინვო პერიოდის დღეთა რიცხვი საშუალოდ შეადგენს 199-222 დღეს.

მოცემული ზონის აგროკლიმატური რესურსები დანარჩენ ზონებთან შედარებით ყველაზე მეტად ხელსაყრელია მრავალფეროვანი აგროკულტურების განვითარებისა და წარმოებისათვის. აქ შესაძლებელია ხორბლის (საშემოდგომო, საგაზაფხულო), სიმინდის, ქერის, ვაზის, ხეხილოვანი, კივის (აქტინიდია), ბოსტნეული, ბაღჩეული კულტურების განვითარება და წარმოება. აღნიშნულ ზონაში ცაგერის რაიონის სოფელ ტვიშის მიდამოებში (400-500 მ სიმაღლემდე) შესაძლებელია მშრალი სუბტროპიკული კულტურების განვითარება (ლელვის, ბრონჟეულის, სუბტროპიკული ხურმის). ცალკეულ წლებში ზამთრის ძლიერი ყინვების (-18, -19°C) შემთხვევაში მათი დაუზიანებლობის ალბათობა (%) მცირება. ამიტომ მათი გავრცელება გარკვეულ რისკებს უკავშირდება, თუმცა ეს კულტურები პერსპექტიული და სასარგებლო იქნება თუ ყინვების შემთხვევაში (-15, -16°C და მეტი) მათ მიმართ გატარდება ყინვებისაგან დაცვის სათანადო ღონისძიებები.

II - ზონა ვრცელდება ზღ. დონიდან 800-1400 მ სიმაღლემდე. აქტიურ ტემპერატურათა ჯამი 2000-3000°C შეადგენს. ატმოსფერული ნალექები ცივ პერიოდში 550-800 მმ-მდეა, თბილ პერიოდში 800 მმ-დან 1300 მმ-მდე. ბოლო წაყინვები დაიკვირვება საშუალოდ 17.IV-5.V, პირველი წაყინვები 9.X-29.X. უყინვო პერიოდის ხანგრძლივობა შეადგენს საშუალოდ 155-193 დღეს.

ზონაში შესაძლებელია მარცვლეულის (საშემოდგომო, საგაზაფხულო ხორბალი), სიმინდის ვაზის (საადრეო ჯიში), ხეხილოვანი, ბოსტნეული და სხვა კულტურების განვითარება.

III - ზონა მოიცავს ზღ. დონიდან 1400-1800 მ სიმაღლემდე ტერიტორიას. აქტიურ ტემპერატურათა ჯამი შეადგენს 2000-1000°C. ატმოსფერული ნალექების ჯამი ცივ პერიოდში 500-550 მმ, თბილ პერიოდში 700-800 მმ. ბოლო წაყინვები დაკვირვება 6.V-20.V, პირველი წაყინვები 23.IX-8.X. უყინვო პერიოდის ხანგრძლივობა საშუალოდ შეადგენს 124-153 დღეს.

აღნიშნულ ზონაში შესაძლებელია მარცვლეულის (საშემოდგომო და საგაზაფხულო ხორბალის, ქერის, შვრის), კარტოფილის, ბოსტნეული, კენკროვანი კულტურების, ასევე მეცხოველეობის წვინიანი საკვები ძირხვენების წარმოება და სათიბ-სამოვრების განვითარება.

IV - ზონა მდებარეობს ზღ. დონიდან 1800-2000 მ და მეტ სიმაღლეში. აქტიურ ტემპერატურათა ჯამი 1000°C-დან 600°C-მდეა. ცივ პერიოდში ნელექების რაოდენობა თითქმის იგივეა რაც III ზონაშია (550 მმ), ასევე ანალოგიურია იგი თბილ პერიოდშიც (800 მმ). ბოლო წაყინვები მოსალოდნელია საკმაოდ გვიან 21.V-27.V, ხოლო პირველი წაყინვები 15.IX-22.IX. უყინვო პერიოდის დღეთა რიცხვი აშკარად შემცირებულია (110-123 დღე).

ზონაში შესაძლებელია გავრცელებული იქნას პერსპექტიული ბოსტნეული და კენკროვანი კულტურები, რომლებიც გამოცდილია მაღალმთის პირობებში და იძლევიან მაღალხარისხოვან მოსავალს (უცხო სუნელი, ქინძი, ცერეცო, ანისა, ოხრახუში, ნიახური, კარტოფილი, შავი მოცხარი, უკლო ქაცვი და სხვა). პერსპექტიულია მეცხოველეობის წვნიანი ძირხვენა საკვები კულტურის ("კუუზიკუ", "ესკო") ფართოდ განვითარება, ასევე სათიბ-საძოვრების გაფართოება.

რაჭა-ლეჩხუმი - ქვემო სვანეთის რეგიონის აგროკულიმატური რესურსები ხელსაყრელია მრავალი სახის აგროკულტურის ზრდა-განვითარებისა და სასურველი მოსავლის მისაღებად. აქედან გამომდინარე, ზოგიერთი მათგანის სარეკომენდაციოდ მოყვანილია თესვისა და ძირითადი ფაზების დადგომის ვადები (ცხრ. 4.2.1).

4.3 აგროკულტურებისათვის ამინდის არახელსაყრელი მოვლენები

წაყინვები. რაჭა-ლეჩხუმი - ზემო სვანეთის რეგიონში წაყინვები არ წარმოადგენს იშვიათობას, რაც მნიშვნელოვან ზარალს აყენებს აგრარულ სექტორს. განსაკუთრებით საშიშია გაზაფხულის გვიანი და შემოდგომის ნაადრევი წაყინვები, რომლებიც შეიძლება არც თუ ისე იშვიათად განმეორდეს.

გაზაფხულისა პერიოდში წაყინვები აზიანებს აგროკულტურების ნორჩ ფოთლებს, ყვავილებს, ბოსტნეული და ბაღჩეული კულტურების ჩითილებს, ხორბლის ჯეჯილს, ვაზის ნორჩ ფოთლებს, ყლორტებს, შემოდგომაზე - კარტოფილის ფოჩებსა და სხვა. ამიტომ მნიშვნელოვანია მოსალოდნელი წაყინვების გათვალისწინება, რისთვისაც გამოიყენება წაყინვების წინააღმდეგ ბრძოლის შესაბამისი ღონისძიებები.

გაზაფხულზე ჰაერის წაყინვები, ნიადაგის ზედაპირზე წაყინვებან შედარებით შეიძლება შეწყდეს 7-10 დღით გვიან, ხოლო ზოგიერთ ადგილებში 15 დღით კიდევ უფრო გვიან. დაბლობებში წაყინვე-

ბი ღია, გაშლილ და შემაღლებულ ადგილებთან შედარებით გვიან წყდება.

ცხრილი 4.2.1 ერთწლიანი და მრავალწლიანი კულტურების ძირითად ფენოლოგიურ ფაზათა განვითარების დადგომის ვადები

კულტურა	ჯიში	ოქება	არმოცნება	ყავილობა	სიმრიცე (მისარეცენა)
ამბობლაური					
საშ. ხორბალი	ბეზოსტაია-1	ოქტომბრის III დეკ. დასაწ.	ნოემბრის I დეკ. ბოლო	მაისის III დეკ. ბოლო	ივლისის II დეკ. ბოლო
ლობიო	ჩიტისკერცხა	მაისის I დეკ. დასაწ.	მაისის II დეკ. ბოლო	ივნისის III დეკ. დასაწ. III დეკ. ბოლო	ივლისის
სიმრიცხი	პაშური თეთრი	აპრილის III დეკ. ბოლო	მაისის II დეკ. ბოლო	ივნისის III დეკ. ბოლო	ივლისის
ონი					
ლობიო	ადგილობრივი წითელი	აპრილის III დეკ. დასაწ.	მაისის I დეკ. ბოლო	ივნისის III დეკ. დასაწ. I დეკ. დასაწ.	აგვისტო
პომიდორი	მაიკო			ივნისის III დეკ. ბოლო	აგვისტო II დეკ. ბოლო
კური	ნეკენსკ-12	აპრილის III დეკ. ბოლო	მაისის I დეკ. ბოლო	ივნისის I დეკ. დასაწ. III დეკ. ბოლო	ივლისის
კულტურა		ყავილობა		ნაყოფების სიმრიცე	
ცაგერი					
ცაგერი		მაისის I დეკ. ბოლო	სექტემბრის I დეკ. ბოლო		
ამბობლაური					
ცაგერი		მაისის I დეკ. დასაწ.	ოქტომბრის I დეკ. დასაწ.		
ცაგერი		ივნისის I დეკ. დასაწ.	სექტემბრის III დეკ. დასაწ.		
ცაგერი		ივნისის I დეკ. დასაწ.	სექტემბრის III დეკ. დასაწ.		

ჰაერში გაზაფხულის და შემოდგომის წაყინვების ინტენსივობის ცვლილება დამოკიდებულია რელიეფზე. მაგალითად, მთის მწვერვალებზე და ზედა ფერდობების ნაწილზე წაყინვების ინტენსივობა იცვლება -2°C -მდე, ბორცვიან ადგილებში -1.5 , -4°C -მდე, მთების ხეობებში -2 , -5°C -მდე, ხოლო ქვაბულ (ტაფობი) ადგილებში -4 , -6°C -მდე.

მოცემული რეგიონის ტერიტორიაზე ბოლო წაყინვების დადგომის თარიღები დაიკვირვება სხვადასხვა დროს. ზღვის დონიდან 400-800 მ სიმაღლემდე დაიკვირვება 5.IV-15.IV-მდე, ჭრებალოში - 5.IV, ცაგერში - 6.IV, ამბროლაურში - 7.IV, ლენტებში - 15.IV; 800-1200 მ სი-

მაღლემდე დაიკვირვება 16.IV-29.IV-მდე, ლაილაში - 16.IV, ხარის-თვალში - 29.IV; 1200-1600 მ სიმაღლეზე დაიკვირვება 30.IV-13.V-მდე, შოვში - 30.IV, ხერგაში - 13.V. აღნიშნული სიმაღლის (1600 მ) ზევით წაყინვები მოსალოდნელია კიდევ უფრო გვიან, მაისის II დეკადის ბოლოს 19.V (ყორულდაში).

პირველი წაყინვები 400-800 მ სიმაღლემდე დაიკვირვება 22.X-6.XI-მდე, 800-1200 მ სიმაღლემდე - 6.X-4.XI-მდე, ლაილაში - 4.XI, ხარისთვალში - 6.X; 1200-1600 მ სიმაღლემდე - 30.IX-5.X-მდე; ხერგაში - 30.IX, შოვში - 5.X; 1600 მ სიმაღლის ზევით - 27.IX (ყორულდაში).

რეგიონში ძირითადად დაიკვირვება რადიაციული (ადგილობრივი) ტიპის წაყინვები, რომელიც ხანმოკლეა (1-2 დღე), იშვიათად გრძელდება 3-4 დღე და მოიცავს მცირე ტერიტორიას. ასევე, დაიკვირვება შემოჭრილი ცივი ჰაერის მასა - ადვექციური და რადიაციული ტიპის წაყინვები 2 დღემდე, იშვიათად 3-4 დღე.

რაჭა-ლეჩებუმი - ქვემო სვანეთის რეგიონის ტერიტორიაზე უყინვო პერიოდის ხანგრძლივობა (დღე) დამაკმაყოფილებელია. ზღ. დონიდან 400 მ სიმაღლიდან 800 მ-მდე იგი საშუალოდ შეადგენს 218-189 დღეს, ჭრებალოში - 214 დღეს, ცაგერში - 209 დღეს, ლენტებში - 189 დღეს, ამბროლაურში - 218 დღეს, ონში - 206 დღეს; 800-1200 მ სიმაღლემდე - 208-140 დღეს; ლაილაში - 208 დღეს, ხარისთვალში - 147 დღეს, ხერგაში - 140 დღეს; 1200-1600 მ სიმაღლემდე იგი რამდენადმე მცირდება (130 დღე, ყორულდაში).

ვერტიკალური ზონალობის მიხედვით, უყინვო პერიოდის დღეთა რიცხვის ხანგრძლივობიდან გამომდინარე, შეზღუდულია ზოგიერთი კულტურის განვითარება. კერძოდ, მშრალი სუბტროპიკული კულტურებისათვის - ლევი, ბროწეული, ზღ. დონიდან 600 მ სიმაღლემდე, ვაზის (ჯიშების მიხედვით) 800-1000 მ სიმაღლემდე.

მოცემული რეგიონის ტერიტორიაზე ზღ. დონიდან სიმაღლის მიხედვით წაყინვების თარიღების დადგომის განსაზღვრისათვის შედგენილია რეგრესის განტოლებები:

$$n = 0,0351h + 46,17 \quad (1)$$

ბოლო წაყინვისათვის,

$$n = -0,0380h + 91,2 \quad (2)$$

პირველი წაყინვისათვის, განტოლებებში n - წაყინვის თარიღია (ანუ დღეთა რიცხვი 1 - თებერვლიდან ბოლო წაყინვის დადგომის

თარიღამდე, ხოლო 1 - სექტემბრიდან პირველი წაყინვის დადგომის თარიღამდე), h - ადგილის სიმაღლე ზღ. დონიდან (მ). ბოლო წაყინვების განტოლების ცდომილება $S_{\pm 7}$ დღეა, ხოლო პირველი წაყინვების $S_{\pm 9}$ დღე (ზღ. დონიდან სიმაღლეებს და წაყინვების თარიღებს შორის კორელაციური კავშირი შეადგენს $r=0.90$ ბოლო წაყინვის, $r=0.86$ პირველი წაყინვის).

მოცემული განტოლებების გამოყენებით სოფლის მეურნეობის სპეციალისტები, კერძო აგროსექტორის ფერმერები შეძლებენ ზღ. დონიდან მოცემული ტერიტორიის ნებისმიერ სიმაღლეზე წაყინვების თარიღების დადგენას.

უყინვო პერიოდის ხანგრძლივობის (დღე) განსაზღვრისათვის შედგენილია შესაბამისი რეგრესიის განტოლება:

$$n = -0,0727h + 255 \quad (3)$$

განტოლების შედგენამდე გამოვლენილი იქნა მჭიდრო კორელაციური დამოკიდებულება, ზღ. დონიდან სიმაღლესა და უყინვო პერიოდის ხანგრძლივობას (დღე) შორის ($r=0.88$).

განტოლებაში n - უყინვო პერიოდის ხანგრძლივობაა (დღე), h - ადგილის სიმაღლე ზღ. დონიდან (მ). განტოლების ცდომილებაა $S_{\pm 16}$ დღე. განტოლებით, ნებისმირ ადგილზე ზღ. დონიდან სიმაღლის ცოდნის შემთხვევაში, შეიძლება განისაზღვროს უყინვო პერიოდის ხანგრძლივობა (დღე).

თოვლი და სექტემბერი ატმოსფერული ნალექების სახეებიდან, მყარ ნალექს წარმოადგენს თოვლი. მისი პოტენციალი მრავალმხრივია მდინარეების, ტბების და სხვა რესურსების უზრუნველყოფაში. თოვლის საფარი, განსაკუთრებით მკაცრი ზამთრის პირობებში, ძლიერი გაყინვისაგან იცავს ნიადაგის ზედაპირს და მის სიღრმეს -20 , -25°C და მეტი ტემპერატურის შემთხვევაში. ასევე, საშემოდგომო კულტურებს (ხორბალი, შვრია, ქერი, ზოგიერთი ბოსტნეული კულტურა და სხვა), რის შედეგად ისინი იზამთრებენ დამაკმაყოფილებლად. აღნიშნულთან დაკავშირებით, რაჭა-ლეჩხუმი - ქვემო სვანეთის რეგიონის ტერიტორიისათვის მოგვყავს მრავალწლიური მეტეოროლოგიური დაკვირვებათა მონაცემები თოვლის საფარის სხვადასხვა ფიზიკურ მდგომარეობაზე (ცხრ. 4.3.1).

ცხრილის მონაცემების მიხედვით, ზღ. დონიდან 400-800 მ სიმაღლემდე თოვლის საფარის ხანგრძლივობის დღეთა რიცხვი დაიკვირვება 40 დღიდან 80 დღემდე (ჭრებალო, ამბროლაური, ცაგერი, ონი, ლენტეხი); 800-1200მ სიმაღლემდე 80-127 დღე

(ლაილაში, ხერგა და სხვა); 1200-1600 მ-მდე 127-138 დღე (შოვი და სხვა); 1600-2000 მ-მდე და ზევით 140-170 დღე და მეტი (ყორულდაში და სხვა).

ცხრილი 4.3.1 თოვლის საფარის გაჩენის, მდგრადი თოვლის საფარის წარმოქმნის, დაშლის და დნობის საშუალო თარიღები

თოვლის საფარის დღეთა რიცხვი	თოვლის საფარის გაჩენა	მდგრადი თოვლის საფარის წარმოქმნა	მდგრადი თოვლის საფარის დაშლა (რღვევა)	თოვლის საფარის დნობა
ამბროლაური				
53	11.XII			21.III
ლენტეხი				
80	5.XII	20.XII	25.III	28.III
ლაილაში				
72	8.XII	6.I	16.III	2.IV
ონი				
71	26.XI	21.XII	2.III	29.III
შოვი				
138	1.XI	4.XII	11.IV	23.IV
ცაგერი				
54	15.XII	6.I	16.III	2.IV
ჭრებალო				
40	19.XII			18.III
ყორულდაში				
170	22.X	26.XI	2.V	5.V
ღები				
127	16.XI	7.XII	9.IV	19.IV
ხერგა				
127	13.XI	15.XII	7.IV	18.IV

თოვლის საფარის ხანგრძლივობის დღეთა რიცხვი ზღ. დონიდან სიმაღლის მიხედვით კანონზომიერად მატულობს. ყველაზე ნაკლებია რეგიონის დაბალ ზონაში (400-800 მ ზღ. დონიდან), ხოლო

ყველაზე მეტია მაღალ ზონაში (800 მ და ზევით), რომლის ხანგრძლივობა 2-3 თვეს აღემატება დაბალ ზონასთან შედარებით. ასევე, კანონით მიმდინარე ხდება თოვლის საფარის გაჩენა. მაგალითად, იგი გვიან დაიკვირვება 26.XI-დან 19.XII-მდე 400-800 მ სიმაღლემდე (ონი, ლენტები, ამბროლაური, ცაგერი, ჭრებალო), ადრე დაიკვირვება 22.X-დან 16.XI-მდე 800მ და ზევით (ყორულდაში, შოვი, ხერგა, ღები და სხვა). აღნიშნული სიმაღლეების შესაბამისად, ასევე გვიან და ადრე დაიკვირვება მდგრადი თოვლის საფარის წარმოქმნა და მისი დნობა-გაქრობა. მდგრადი თოვლის საფარის წარმოქმნიდან (400-800მ სიმაღლემდე) მისი დნობა-გაქრობის დაწყებამდე გრძელდება დაახლოებით 3 თვე (ამბროლაური, ცაგერი, ლენტები, ონი, ლაილაში), ხოლო აღნიშნული სიმაღლის ზევით (1600მ და მეტი) 4-5 თვემდე (ღები, ხერგა, შოვი, ყორულდაში). მაშასადამე, დაბალ ზონაში, გაზაფხულზე ადრე შესაძლებელი სასოფლო-სამეურნეო სამუშაოების ჩატარება, ხოლო შემოდგომაზე - გვიანამდე, მაღალ ზონასთან შედარებით.

თოვლის საფარის სამუალო დეკადური სიმაღლე რეგიონის ტერიტორიაზე ყველაზე მეტი დაიკვირვება ძირითადად იანვრის III დეკადიდან თებერვლის III დეკადის ჩათვლით, ხოლო ყორულდაში, როგორც ყველაზე მაღალი ზონა დაიკვირვება მარტის ბოლომდე.

მდგრადი თოვლის საფარის სიმაღლეების განსაზღვრიდან გამოირკვა, რომ, რომ იგი ამბროლაურში დაიკვირვება საშუალოდ 2სმ, ლენტებში - 46 სმ, ონში - 48სმ, ცაგერში - 31სმ. მდგრადი თოვლის საფარის სიმაღლე, მოცემულ რაიონებში კარგად უზრუნველყოფს საშემოდგომო კულტურების გამოზამთრებას -20, -25°C და ოდნავ მეტი ჰაერის ტემპერატურის დროს.

სეტყვა. სეტყვა აგრძელი სექტორისათვის საშიშ მეტეოროლოგიურ მოვლენას წარმოადგენს, რომლის შედეგად ნადგურდება მოსავლის მნიშვნელოვანი ნაწილი. იგი განსაკუთრებით გაზაფხულზე აზიანებს აგროკულტურების ფოთლებს, ყვავილებს, ნასკვებს, ჩითილებს და სხვა. შემოდგომაზე აზიანებს კარტოფილის მიწისზედა ნაწილებს, ნაყოფებს სიმწიფის პერიოდში და სხვა. რითაც ეკონომიკური თვალსაზრისით დიდი ზარალი ადგება აგრძელ სექტორს.

რაჭა-ლეჩხუმი - ქვემო სვანეთის რეგიონის ტერიტორიაზე სეტყვის მოვლენა, არც თუ ისე ხშირად აღინიშნება და იგი ნაკლებად ინტენსიური ხასიათისაა. სეტყვა ძირითადად დაიკვირვება თბილ პერიოდში, აპრილიდან ოქტომბრის ჩათვლით. სავეგეტაციო პერიოდში (IV-X) სეტყვიან დღეთა რიცხვი, თვეების მიხედვით საშუალოდ შე-

ადგენს 0.07-1.1 დღეს. ყველაზე მეტი შემთხვევა დაიკვირვება გაზაფხულზე მაისის თვეში და ზაფხულის დასაწყისში (ივნისი). რეგიონში სეტყვისაგან აგროკულტურების დაზიანება იშვიათად არის მოსალოდნელი.

გვალვა - არახელსაყრელი მეტეოროლოგიური მოვლენაა სოფლის მეურნეობისათვის. იგი განსაკუთრებით მცენარეთა აქტიური ვეგეტაციის პერიოდში (ზაფხული) იშვიათად, მცირე ატმოსფერული ნალექების დროს (5მმ-მდე) და გახანგრძლივებული (30 და მეტი დღე) მაღალი ჰაერის ტემპერატურისას (24-25°C და მეტი) ჰაერში და ნიადაგში ქმნის ტენის დეფიციტს, რაც დამღებელად მოქმედებს ერთწლიან კულტურებზე (ხორბალი, სიმინდი, ბოსტნეული და სხვა), რადგან ნიადაგში მათი ფესვთა სისტემის განლაგების ფენაში (20-30 სმ და ოდნავ მეტი) საკმარისი არ არის ტენის მარაგი. ასეთ პირობებში, გვალვის გახანგრძლივებისას მრავალწლიანი კულტურების განვითარება აშკარად ფერხდება და არ არის გამორიცხული მოსავლის 50-60%-ით შემცირება. ამიტომ, გარდაუვალია კულტურების ქვეშ ნიადაგის მორწყვა, გაფხვიერება, სარეველა მცენარეებისაგან განთავისუფლება მოსავალის გადასარჩენად.

რეგიონის ტერიტორიის ტენით უზრუნველყოფის შეფასება შესაძლებელია ჰიდროთერმული კოეფიციენტით (ჰთკ). აღნიშნული სიდიდე მიღებულია ტენის პირობით ბალანსად, რომელიც წარმოადგენს მოსული ატმოსფერული ნალექების ჯამის (მმ) შეფარდებას აორთქლებასთან, ჰაერის დღელამური საშუალო ტემპერატურის 10°C-იან პერიოდში. ჰიდროთერმული კოეფიციენტის მიხედვით, როცა იგი 1-ის ტოლია გვალვის პროცესი დაწყებულია. ასეთ შემთხვევაში, მოსული ნალექების ჯამი ორთქლდება და უტოლდება აორთქლებული წყლის რაოდენობას, ამიტომ მცენარე სრულფასოვნად ვერ იყენებს ატმოსფერულ ნალექს.

მნიშვნელოვანია გვალვიანობის სხვადასხვა მაჩვენებლების (ინდექსების) განსაზღვრა, ჰიდროთერმული კოეფიციენტის მიხედვით. აღნიშნულთან დაკავშირებით, ტენის მინიმალური ბალანსის მაჩვენებელი სიმინდის და ხორბლის კულტურისათვის შეადგენს 0.5, სოიოსა და ლობიოსათვის - 0.7-0.8, ვაზისათვის - 0.3, ლეღვისა და ბროწეულისათვის - 0.2-0.3, კივისათვის (აქტინიდია) - 1.0 (მითითებული მინიმალური ბალანსის ქვევით მათი განვითარება წყდება). მოცემული კულტურები გვალვიანობის მაჩვენებლებით და მის მიმართ ამტანობით განსხვავდებიან ერთმანეთისაგან. აქედან გამომდინარე, აღ-

ნიშნული ტენის მინიმალური ბალანსის მაჩვენებლების მიხედვით, მათ მიმართ უნდა გატარდეს შესაბამისი ღონისძიებები ნიადაგში ტენის რაოდენობის გადიდებისათვის.

რაჭა-ლეჩხუმი - ქვემო სვანეთის ტერიტორიაზე ზღ. დონიდან 400-800 მ სიმაღლემდე ზაფხულის ვეგეტაციის დროს (VII-VIII) ჰიდროთერმული კოეფიციენტი რამდენადმე დამაკმაყოფილებელია, იგი 0.5-0.7-ის ფარგლებშია (ამბროლაური, ონი, ცაგერი). თუმცა, ცალკეულ წლებში ნალექების სიმცირისას აგროკულტურები (ძირითადად ერთწლიანი) საჭიროებენ ნიადაგის ტენით უზრუნველყოფას მოსავლის შენარჩუნებისათვის. ჰიდროთერმული კოეფიციენტი 800-1200 მ სიმაღლემდე უფრო მეტია (0.7-0.9) იმავე პერიოდთან შედარებით (ლაილაში, ხერგა და სხვა). ასეთ პირობებში ერთწლიანი კულტურები ცალკეულ წლებში, სასურველი მოსავლის მისაღებად ზაფხულში (VII-VIII) ნალექების სიმცირისას საჭიროებენ ტენით უზრუნველყოფისათვის დამატებით ღონისძიებას. აღნიშნული სიმაღლის ზევით 1200 მ და მეტზე ჰათ თითქმის ორმაგი და მეტია, ამიტომ ყველა სახის აგროკულტურები არ საჭიროებენ მელიორაციულ ღონისძიებებს.

ხორშაკი (ქარშოშინი) - წარმოადგენს გვალვას, მხოლოდ მეტად გამძაფრებული ჰაერის ტენიანობის დიდი დეფიციტის შემთხვევაში, ამიტომ მას ატმოსფერულ გვალვას უწოდებენ. ხორშაკის მოვლენისას მცენარეები ძალიან სწრაფად განიცდიან ნიადაგში ტენის ნაკლებობას, რადგან მცენარეებიდან მიმდინარეობს გაძლიერებული ტრანსპირაცია ჰაერში ტენის დეფიციტის გამო.

რეგიონის ტერიტორიისათვის ზღ. დონიდან 400-800 მ სიმაღლემდე მოგვყავს ხორშაკის სხვადასხვა ტიპის მრავალწლიური მეტეოროლოგიური დაკვირვებათა მონაცემები (ცხრ. 4.3.2).

ცხრილის ანალიზიდან გამომდინარე, რეგიონში ცალკეულ წლებში შესაძლებელია სუსტი ხორშაკის მოვლენა საშუალოდ 42 დღე, ხოლო საშუალო ინტენსიური - 12 დღე. აღნიშნული ხორშაკის ტიპები არ იქნება აგროკულტურებისათვის დამაზიანებელი, თუ დროულად მოხდება ნიადაგის მორწყვა (1 ან 2-ჯერ), გაფხვიერება. ეს ღონისძიებები უნდა ჩატარდეს ონის, ცაგერის და ლენტების რაიონებში, მოსავლის უდანაკარგოდ მიღების მიზნით. სუსტი ხორშაკის შემთხვევაში, რასაც ზოგჯერ ადგილი აქვს რეგიონში, თუ ნიადაგში (0-20 სმ), პროდუქტიული ტენის როდენობა 20-30 მმ-დან იქნება აგროკულტურები 5 დღის განმავლობაში შეიძლება არ დაზიანდეს. როცა ნიადაგის ფენებში (0.5-1.0 მ) პროდუქტიული ტენი 50 მმ-დან 100

მმ-მდეა (შესაბამისად), საშუალო ინტენსივობის ხორშაკი ვერ აზიან-ებს მათ 4 დღის განმავლობაში, ინტენსიური - 3 დღის განმავლობაში, ხოლო ძლიერ ინტენსიური - 1-2 დღის განმავლობაში.

ცხრილი 4.3.2 ხორშაკის ინტენსივობის ალბათობა თბილ პერიოდში (IV-X)

მეტეო-სადგური	ხორშაკის ტიპი	საშუალო დღეთა რიცხვი			ალბათობა, %
		საშუალო	ცვლაზე მეტი	ყველაზე ნაკლები	
ამბროლაური	სუსტი	42.4	61	16	100
	საშ. ინტენს.	11.7	26	1	100
	ინტენსიური	1.9	5	0	85
	ძლიერ ინტენს.	0.6	4	0	33

ქარი - რეგიონის ტერიტორიაზე საკმაოდ ხშირად დაიკვირვება. იგი განსაკუთრებით გაზაფხულზე დიდ როლს ასრულებს მცენარეთა ყვავილობის პერიოდში. ზომიერი ქარი (4-5 მ/წმ) ხელს უწყობს მათ დამტვერვას. ზოგჯერ ძლიერი ქარები (≥ 15 მ/წმ) მცენარეთა ვეგეტაციის ნებისმიერ ფაზაში უარყოფითად მოქმედებს მათ განვითარებასა და მოსავალზე. თუმცა, რეგიონში ასეთი ქარები არც ისე ხშირია. ცხრილში 4.3.3 მოცემულია რეგიონისათვის დამახასიათებელი ძლიერ ქარიან (≥ 15 მ/წმ) დღეთა რიცხვი თბილ პერიოდში.

ცხრილის მიხედვით, ყველაზე მეტი ძლიერ ქარიან დღეთა რიცხვი დაიკვირვება გაზაფხულზე. მაშასადამე, ზაფხულში მცენარეთა აქტიური ვეგეტაციის პერიოდში (VI-VIII) ძლიერი ქარებით საშუალო დღეთა რიცხვი მცირდება ამბროლაურში, ცაგერში, ხერგაში და ყორულდაში, ხოლო იგი არ დაიკვირვება ჭრებალოსა და შოვში. სავეგეტაციო პერიოდში, ზემოაღნიშნულ ტერიტორიებზე ძლიერ ქარიან დღეთა რიცხვი საშუალოდ 0.1-დან 5 დღემდეა. 0.1-დან 1.0 დღემდე ასეთი ქარები არახელსაყრელია, რადგან შესაძლებელია მისმა მოქმედებამ აგროკულურებს გააცვინოს ყვავილების 30-40% და მეტი, ნაყოფები 40-50% და მეტი, თუ ისინი დაცული არ იქნებიან ქარებისაგან. აღნიშნულმა ქარებმა შეიძლება გამოიწვიოს ნიადაგიდან 10-15% და მეტი ტენის აორთქლება. ამიტომ, ვეგეტაციის პერიოდში ასეთი ქარე-

ბის გახანგრძლივების (1-2 დღით) შემდეგ სასურველია ნიადაგის გაფხვიერება-კულტივაცია.

სავეგეტაციო პერიოდში, უდიდესი ძლიერ ქარიან დღეთა რიცხვი ამბროლაურში დაიკვირვება 15 დღე, ცაგერში - 28, ჭრებალოში - 3, ხერგაში - 20, შოვში - 3 და ყორულდაში - 9 დღე. ეს მონაცემები საშუალო მაჩვენებლებია, მაგრამ მიუხედავად ამისა, ქარების შესუსტებისათვის მიზანშეწონილია ქარსაფარი ზოლების შექმნა, განსაკუთრებით იქ სადაც ყველაზე მეტი ძლიერ ქარიან დღეთა რიცხვი - 15 და მეტი დაიკვირვება (ამბროლაური, ცაგერი, ხერგა და სხვა).

ქარებს ტერიტორიის ოროგრაფიული თავისებურებებიდან გამომდინარე, სხვადასხვა მიმართულებით მოძრაობა ახასიათებთ. ამიტომ, რეგიონის ტერიტორიაზე სოფლის მეურნეობის მუშაკებმა, ფერმერებმა და კერძო სექტორის მიწათმოქმედებმა უნდა გაითვალისწინონ გაბატონებული ქარების მიმართულების განმეორადობა რაიონების მიხედვით.

აღნიშნულთან დაკავშირებით, მოცემულია გაბატონებული ქარების მიმართულების განმეორადობა (%) (ნახ. 4.3.1).

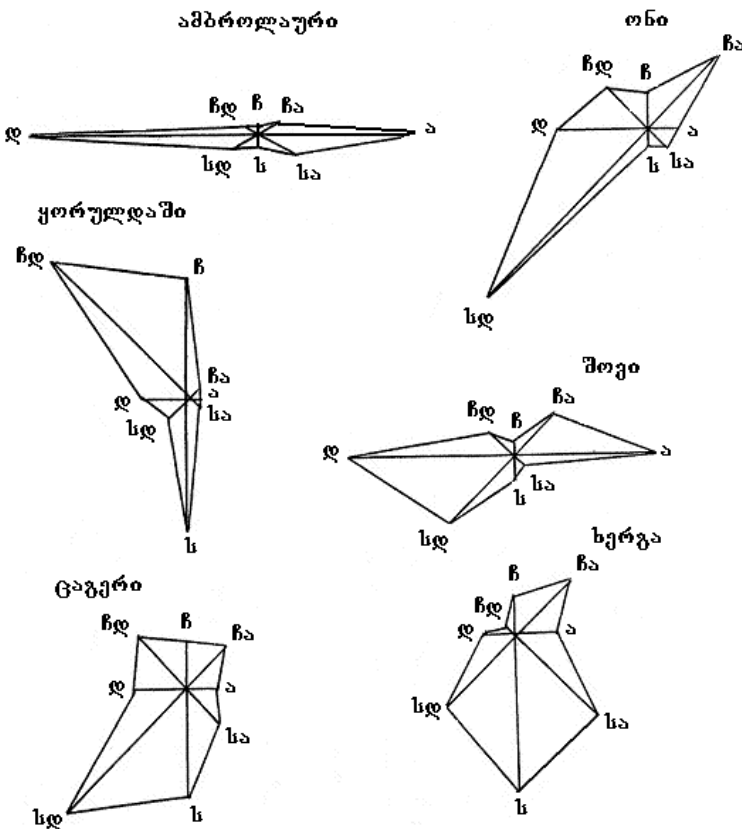
ცხრილი 4.3.3 ძლიერი ქარით (≥ 15 მ/წმ) საშუალო დღეთა რიცხვი თბილ პერიოდში

IV	V	VI	VII	VIII	IX	X	დღეთა რიცხვი
ამბროლაური							
1.1	0.8	0.5	0.2	0.1	0.04	0.5	3
ყორულდაში							
0.1	0.06	0.2	0.05	0.4	0.2	0.0	1
შოვი							
0.03	0.03	0.0	0.0	0.0	0.0	0.04	0.1
ცაგერი							
1.3	1.0	1.0	0.3	0.7	0.2	0.3	5
ჭრებალო							
0.08	0.08	0.0	0.0	0.0	0.0	0.0	0.2
ხერგა							
0.9	0.4	0.2	0.2	0.5	0.2	0.08	2

ნახაზიდან ნათლად ჩანს, რომ ამბროლაურში და შოვში გაბატონებულია დასავლეთის და აღმოსავლეთის ქარები, ონში ძირითა-

დად სამხრეთ-დასავლეთის, ყორულდაში (ლენტეხი) ჩრდილო-და-სავლეთის და სამხრეთის, ცაგერში სამხრეთ დასავლეთის და სამხრე-თის, ხერგაში ძირითადად სამხრეთის ქარია გაბატონებული.

მოცემული გაბატონებული ქარების მიმართულებების განმეორადობა (%) გასათვალისწინებელია ქარსაფარი ზოლების გაშენებისას. მათი გათვალისწინება არსებითად შეამცირებს ქარების ზემოქმედებას აგროკულტურებზე და შექმნის ხელსაყრელ მიკროკლიმატურ პირობებს კულტურების ნორმალური განვითარებისა და მაღალი პროდუქტიულობისათვის.



ნახ. 4.3.1 გაბატონებული ქარების მიმართულებების განმეორადობა (%) თბილ პერიოდში

4.4 აგრომეტეოროლოგიური პროგნოზები

აგრომეტეოროლოგიური პროგნოზების მეთოდები ძირითადად დამყარებულია აგრომეტეოროლოგიური პირობების აღრიცხვაზე და აგროკულტურების მდგომარეობის მაჩვენებლებზე, რომლებიც არსებით გავლენას ახდენენ მოცემული კულტურების განვითარებაზე. ასეთია, ნიადაგის ტენიანობა, ჰაერის ტემპერატურისა და ატმოსფერული ნალექების ჯამი (მმ), ≥ 5.0 მმ და ≥ 10.0 მმ ნალექებით დღეთა რიცხვი, მცენარეების ფენოფაზათა დადგომის ვადები, მცენარეთა სიმაღლე (სმ) და სხვა. აღნიშნული ფაქტორების (პრედიქტორების) მიხედვით, დამუშავებულია მეტეოროლოგიურ და აგრომეტეოროლოგიურ დაკვირვებათა მონაცემები, მოსავალთან ერთად. დამუშავების შედეგად გამოვლენილია მჭიდრო კორელაციური კავშირი და შედგენილია რეგრესიის საპროგნოზო განტოლება საშემოდგომო ხორბლის კულტურისათვის. მოგვყავს რაჭა-ლეჩუმი - ქვემო სვანეთის რეგიონში საშემოდგომო ხორბლის მწარმოებელი რაიონებისათვის აღნიშნული განტოლება:

$$U = -4,017x + 0,939y + 9,164z - 85,366 \quad (1)$$

განტოლებაში U - საპროგნოზო მოსავალია ($^{\circ}\text{C}$), x - ატმოსფერული ნალექების ჯამი (მმ) IV-V თვეებში, y - ≥ 5.0 მმ ატმოსფერული ნალექების დღეთა რიცხვი (იმავე პერიოდში), z - მცენარეთა საშუალო სიმაღლე (სმ) 1m^2 -დან, რომელიც გაიზომება მაისის ბოლოს. აღნიშნულ ფაქტორებზე მონაცემების აღება ემთხვევა საშემოდგომო ხორბლის კულტურის მილში გამოსვლის ფაზიდან ყვავილობის ფაზამდე პერიოდს. განტოლების დასაშვები ცდომილება შეადგენს $S_{\pm} 0.22$ $^{\circ}\text{C}$. პროგნოზი შედგება ივნისის პირველ პერიადაში, მისი წინასწარობა 1.5-2 თვეა.

მოცემულ რაიონში მითითებული კულტურის მოსავლის პროგნოზის შედგენისათვის, საჭიროა ინფორმაცია პრედიქტორებზე, რაიონის მეტეოროლოგიური სადგურიდან ან საგუშაგოდან. მიღებული მონაცემების განტოლებაში ჩასმით და სათანადო გაანგარიშებით მიიღება საპროგნოზო მოსავალი $^{\circ}\text{C}$.

მოცემული რეგიონისათვის მოგვყავს ასევე ვაზის კულტურის ("ცოლიკაური") მტევნის მარცვლების სიმწიფის თარიღის განსაზღვრის განტოლება:

$$y = -1,23x + 175 \quad (2)$$

მოცემულ განტოლებაში y - სიმწიფის დაწყების თარიღია, x - დღეთა რიცხვი 20 მარტიდან კვირტების გაშლამდე.

მაგალითისათვის. ამბროლაურის რაიონისათვის განტოლების (2) გამოყენებით პროგნოზის შედგენისას, დაუშვათ კვირტების გაშლა აღინიშნა 25 აპრილს. ე.ი. მოცემულ რაიონში დღეთა რიცხვი 20 მარტიდან 25 აპრილამდე იქნება 36. ამ რიცხვის ჩასმით შესაბამის განტოლებაში (2) და სათანადო გაანგარიშებით მიიღება:

$$y = -1.23 * 36 + 175 = 131 \text{ დღეს.}$$

ე.ი. მოსალოდნელი საპროგნოზო ხანგრძლივობის პერიოდი ვაზის კვირტების გახსნიდან მტევნის მარცვლების სიმწიფემდე შეადგენს 131 დღეს, რომელიც გადაითვლება 25.IV-დან (კვირტების გახსნიდან) და სიმტკიფის თარიღი იქნება 3 სექტემბერი.

სოფლის მეურნეობის მუშაკებისა და ფერმერებისათვის მნიშვნელოვანია აგრეთვე, ზამთრის ყინვების პროგნოზირების მეთოდი მევენახეობისა და მეხილეობის რაიონებისათვის. მეთოდს საფუძვლად უდევს საკმაოდ მჭიდრო კორელაციური კავშირი - ზამთრის აბსოლუტურ მინიმალურ ტემპერატურას, შემოდგომაზე ჰაერის დღელამური საშუალო ტემპერატურის 5°C -ზე ქვევით გადასვლის თარიღსა და ოქტომბრის თვის აბსოლუტურ მინიმალურ ტემპერატურას შორის. მოგვყავს რეგიონისათვის საპროგნოზო განტოლება:

$$U = 0,38x + 0,26y - 24,6 \quad (3)$$

განტოლებაში U - ზამთრის მოსალოდნელი (საპროგნოზო) აბსოლუტური მინიმალური ტემპერატურაა, x - ოქტომბრის თვის აბსოლუტური მინიმალური ტემპერატურა, y - ჰაერის საშუალო დღელამური ტემპერატურის გადასვლა 5°C -ზე ქვევით, რომელიც იწყება 20 ოქტომბრიდან.

პროგნოზის შედგენის წესი. დაუშვათ, ლენტების რაიონში ოქტომბრის თვის აბსოლუტურმა მინიმალურმა ტემპერატურამ შეადგინა 1.5°C (x), ჰაერის საშუალო დღელამური ტემპერატურა 5°C -ზე ქვევით გადავიდა 10 ნოემბერს, ე.ი. 20 ოქტომბრიდან 10 ნოემბრის ჩათვლით დღეთა რიცხვი იქნება 21 (y). აღნიშნული მონაცემების განტოლებაში (3) ჩასმით და სათანადო გაანგარიშებით მიიღება:

$$U = 0.38 * 1.5 + 0.26 * 21 - 24.6 = -18.6 \text{ ანუ დაახლოებით } -19^{\circ}\text{C}.$$

მაშასადამე, მიღებულ ზამთრის მოსალოდნელ აბსოლუტურ მინიმალურ ტემპერატურას (-19°C) შეუძლია ძლიერ დააზიანოს (ფესვის ყელამდე) ვაზის კულტურა. ანალოგიურად, შეიძლება განისაზღვროს დამაზიანებელი ტემპერატურა რეგიონის სხვა რაიონებისათვის. იმ შემთხვევაში, თუ პროგნოზით ტემპერატურა კრიტიკული (დამაზიანებელი) აღმოჩნდება ვაზისა და სხვა კულტურებისათვის, მაშინ სა-

ჭირო იქნება ყინვებისაგან დაცვის მეთოდების გამოყენება (მცენარის შტამბზე მიწის შემოყრა 25-30 სმ-მდე, კვამლის ფენის შექმნა და სხვა).

პროგნოზების მაღალი გამართლების პროცენტი დამოკიდებულია პრედიქტორების სწორ ინფორმაციაზე, აგრეთვე აგროკულტურებისათვის აგროტექნიკური ღონისძიებების დროულად ჩატარებაზე.

თავი V. ამინდის საშიში მოვლენები

5.1. ძლიერი ქარები

ძლიერი ქარების ($V \geq 150/\text{წმ}$) დროში და სივრცეში ცვლილებების და რეჟიმული მახასიათებლების დადგენის მიზნით დაკვირვებები ტარდება რელიეფის სხვადასხვა ელემენტებზე (ხეობებში, ფერდობებზე, მწვერვალებზე, ღია უღელტეხილებზე და სხვ.). რაჭა-ლეჩხუმის და ქვემო სვანეთის რეგიონში ძლიერი ქარების დასახასიათებლად გამოყენებული იქნა აქ არსებულ მეტეოსადგურებზე ქარების მიმართულებასა და სიჩქარეზე 70 წლის ხანგრძლივობის დაკვირვებების მასალები.

ძლიერ ქარებზე დაკვირვებების ინფორმაციის ანალიზის შედეგად მუშავდება სპეციალური რეკომენდაციები, რომლებსაც დიდი პრაქტიკული მნიშვნელობა აქვს სახალხო მეურნეობის რიგ დარგებისათვის (ქარისმიერი დატვირთვის პარამეტრების მაქსიმალური სიდიდის გაანგარიშება ინფრასტრუქტურის სხვადასხვა დანიშნულების ობიექტებზე, ზღვისა და წყალსაცავების სანაპიროზე ტალღების მაქსიმალური სიმაღლის დადგენა, აეროპორტებში საფრენი ბილიკების ოპტიმალური მიმართულების შერჩევა, ქარის ენერგეტიკული ძრავების მონტაჟისათვის ხელსაყრელი ადგილების დადგენა და სხვა).

რაჭა-ლეჩხუმის ტერიტორიაზე განლაგებული მეტეოსადგურებისათვის დღეების საშუალო და მაქსიმალური რაოდენობა ძლიერი ქარებით მოცემულია ცხრილ 5.1.1.-ში. (Справочник по климату СССР, выпуск 4, ветер, 1968; საქართველოს სამეცნიერო-გამოყენებითი კლიმატური ცნობარი, 2004).

როგორც ცხრილ 5.1.1-დან ჩანს დღეების საშუალო რაოდენობა ძლიერი ქარებით მინიმალურია ჭრებალოში (0.2) და შოვში (0.4 დღე), მაქსიმალურია მამისონის უღელტეხილზე (40 დღე), ხერგაში, ამბროლაურში და ცაგერში ეს მაჩვენებელი მერყეობს 4(ხერგა)-7(ცაგერი)

დღის საზღვრებში. დღეების მაქსიმალური რაოდენობა ძლიერი ქარით მერყეობს 3(მოვი)-72(მამისონის უღ.)-ის ფარგლებში. დღეების მაქსიმალური რაოდენობით მეორე ადგილზე სადგური ცაგერი(20 დღე), ხერგაში და ამბროლაურში ეს მაჩვენებელი შესაბამისად ტოლია 11 და 14 დღისა, ხოლო შოვში და ჭრებალოში შესაბამისად 3 და 4 დღისა.

ცხრილი 5.1.1. დღეების საშუალო და მაქსიმალური რაოდენობა ქლიფები
ქართ V≥15

კუნძული	თ ვ ე												წ ე ლ ი
	I	II	III	IV	V	VI	VII	VIII	IX	X	XI	XII	
დღეების საშუალო რაოდენობა													
შევგი	0,0	0,04	0,1	0,03	0,03	0,0	0,0	0,0	0,0	0,04	0,1	0,04	0,4
მამისონის ჰდ.	5,3	6,0	5,5	3,8	2,0	1,6	1,1	1,0	1,6	4,0	3,7	4,8	40
ცაგერი	0,2	0,4	0,9	1,3	1,0	1,0	0,3	0,7	0,2	0,3	0,2	0,1	7,3
ჭრებადო	0,0	0,0	0,0	0,08	0,08	0,0	0,0	0,0	0,0	0,0	0,04	0,0	0,2
ამბროლაური	0,2	0,3	0,9	1,1	0,8	0,5	0,2	0,1	0,04	0,5	0,3	0,5	5
ხერგა	0,3	0,4	0,4	0,9	0,4	0,2	0,2	0,5	0,2	0,08	0,4	0,1	4
დღეების მაქსიმალური რაოდენობა													
შევგი	0	1	1	1	1	0	0	0	0	1	2	1	3
მამისონის ჰდ.	12	14	11	14	8	7	6	4	8	11	16	15	72
ცაგერი	2	2	3	8	5	4	2	5	2	2	2	2	20
ჭრებადო	0	0	0	1	2	0	0	0	0	0	1	0	4
ამბროლაური	2	2	4	4	2	3	2	1	1	3	2	2	14
ხერგა	2	1	3	7	2	1	3	4	2	1	3	2	11

Активация Windows

ხვადასხვა ალბათობის ქარის მაქსიმალური სიჩქარეები, რომელიც შესაძლებელია დაფიქსირდეს 1,5,10,15 და 20 წელისადმი ერთხელ მოცემულია ცხრილ 5.1.2.-ში (საქართველოს სამეცნიერო-გამოყენებითი კლიმატური ცნობარი, 2004; Справочник по климату СССР, вып.4, ветер, 1968).

როგორც ცხრილ 5.1.2.-დან ჩანს, 1 წელიწადი სადგურ ამბროლაურში შესაძლოა ერთხელ დაფიქსირდეს ქარი სიჩქარით 18მ/წმ, მამისონის უღ.-ზე/წმ, ონში/წმ და ა. შ. 20 წლის განმავლობაში სადგურ ამ-

$$v_{\text{აღ}} = 10,2 + 0,48t + 0,01t^2 \quad (1)$$

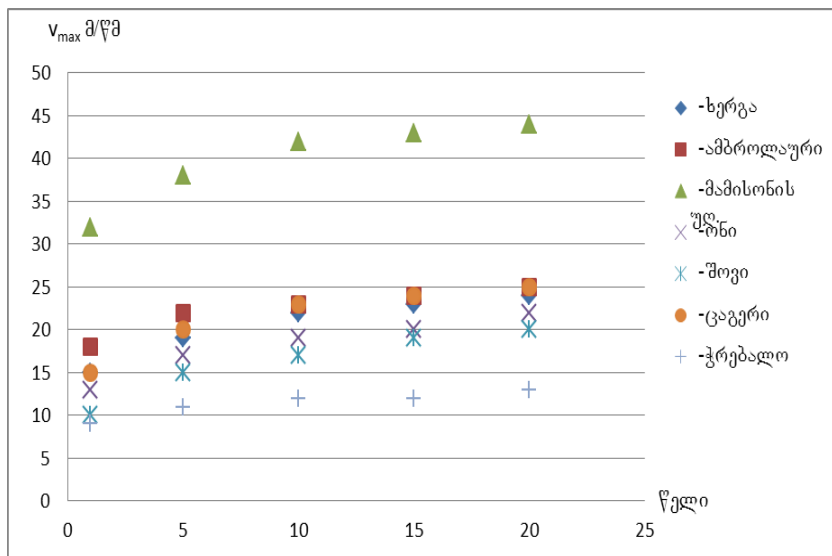
ბროლაურში და ცაგერში შესაძლოა ერთხელ დაფიქსირდეს ქარი სიჩქარით 25მ/წმ, მამისონის უღელტეხილზე/წმ, ონში/წმ. დამოკიდებულების $V_{\text{აღ.}}=f(t)$, სადაც ქარის შესაძლო მაქსიმალური სიჩქარით 1,5,10,15 და 20 წელიწადში, t -დროის ინტერვალი ერთიდან ოცი წლის ჩათვლით გრაფიკული სახით წარმოდგენილია ნახ. 5.1.1-ზე. როგორც ამ ნახაზიდან ჩანს რაჭა-ლეჩხუმის ტერიტორიაზე განლაგებული ოთხივე სადგურისათვის, მათ ამსოდებულ სიმაღლეებში განსხვავე-

ბის მიუხედავად, ეს დამოკიდებულება ანალიზურად შეიძლება წარმოდგენილი იქნეს მეორე რიგის პარამოლას სახით: $V_{\text{აქ}}=a+bt+ct^2$, რომელშიც კოეფიციენტებს a, b, c, t თვითეულ სადგურისთვის ექნება კონკრეტული მნიშვნელობები, მაგ. სადგურებისთვის ონი და შოვი დამოკიდებულებას $V_{\text{აქ}}=f(t)$ აქვს შემდეგი ანალიზური სახე:

ამ რეგრესიის განტოლებით და შესაბამისი გრაფიკით შეიძლება დადგინდეს ქარის უდიდესი $V_{\text{აქ}}$. სიჩქარის სიდიდე ნებისმიერი წლისათვის ერთიდან ოცი წლის ჩათვლით. მრავალწლიური დაკვირვებების მონაცემების ანალიზიდან ჩანს, რომ ძლიერი ქარების არსებობის ალბათობა მაქსიმალურია იმ რუმბებისათვის, რომლებზეც აღინიშნება ქარების მაქსიმალური განმეორადობა და პირიქით.

ცხრილი 5.1.2. სხვადასხვა ალბათობის ქარის უდიდესი სიჩქარეები (მ/წმ)

ქარის უდიდესი სიჩქარე (მ/წმ) შესაძლო ერთეული				
1 წელიწადში	5 წელიწადში	10 წელიწადში	15 წელიწადში	20 წელიწადში
ხერგა				
15	19	22	23	24
ამბროლაური				
18	22	23	24	25
მამისონის უღ.				
32	38	42	43	44
ონი				
13	17	19	20	22
შოვი				
10	15	17	19	20
ცაგერი				
15	20	23	24	25
ჭრებალო				
9	11	12	12	13



ნახ. 5.1.1. ქარის მაქსიმალური სიჩქარე შესაძლო ერთხელ 1,5,10,15 და 20 წლის გამნავლობაში. ♦-ხერგა, ■-ამბროლაური, ▲-მამოსონის უღელტეხილი, ✕-ონი, *-შოვი, ●-ცაგერი, +-ჭრებალო.

სხვადასხვა მიმართულების ძლიერი ქარების ($V \geq 15 \text{ м/წმ}$) ალბათობის მნიშვნელობები მოცემულია ცხრილ 5.1.3.-ში (Справочник по климату СССР, вып.4, ветер., 1968)

როგორც ცხრილ 5.1.3.-დან ჩანს, სადგურ მამისონის უღელყეხილზე ქარის მაქსიმალური სიჩქარე იანვარში, აპრილში და ოქტომბერში აღწევს 34м/წმ-ს . ივლისში ქარის მაქსიმალური სიჩქარე ტოლია მხოლოდ 24м/წმ-ისა . ამ სადგურზე წელიწადის განმავლობაში მაქსიმალური ალბათობით ხასიათდებან სამხრეთ-დასავლეთის და დასავლეთის მიმართულების ქარები, რომლების სიჩქარე წელიწადის სამ სეზონში (ზაფხულის გამოკლებით) აღწევს 34მ/წმ-ს . ამ სადგურზე ქარის დაქროლვის სიჩქარე აღემატება 40მ/წმ-ს ფლიუგერის ჩვენებით (Научно-прикладной справочник по климату СССР. Вып. 14, 1990).

ცხრილი 5.1.3. სხვადასხვა მიმართულების ძლიერი ქარების ($V \geq 15\text{მ/წმ}$) სიჩქარეების ალბათობის მნიშვნელობები წელიწადის სეზონების შუა თვეების შემთხვევაში PP(%)Pსადგურ მამისონის უღელტეხილზე

თვე	V, მ/წმ	ქარის მიმართულება							
		ჩ	ჩა	ა	სა	ს	სდ	დ	ჩდ
<u>მამისონის უღელტეხილი</u>									
I	14-17			0.3	0.1		0.2	3.8	0.4
	18-20			0.1	0.03		0.2	2.5	0.3
	21-24			0.03			0.03	0.7	
	25-28						0.03	0.4	
	29-34							0.5	
IV	14-17		0.1	0.2			0.1	2.2	0.05
	18-20		0.03	0.1	0.03		0.03	0.9	0.08
	21-24		0.03	0.08		0.02	0.03	0.3	0.03
	25-28		0.03	0.05			0.03	0.08	
	29-34		0.02				0.01	0.2	
VII	14-17			0.7	0.2			0.3	
	18-20			0.1	0.02			0.02	
	21-24			0.02					
	25-28								
	29-34								
X	14-17			0.04			0.02	3.1	0.3
	18-20							2.1	0.02
	21-24							0.5	
	25-28							0.3	
	29-34							0.1	

5.2. ქარბუქი

ქარბუქი მიეკუთხნება საშიშ მეტეოროლოგიურ მოვლენათა რიცხვს. ქარბუქის შედეგად წარმოქმნილი ნამქერების მიერ ფერხდება სახმელეთო ტრანსპორტის ყველა სახეობის ნორმალური მუშაობა. ქარბუქი ასევე საფრენი ზოლების მინანქრვით და ჰორიზონტალური ხილვადობის გაუარესებით არღვევს ავიაციის ნორმალური მუშაობის

გრაფიკს. ქარბუქს ასევე ზიანი მოაქვს სოფლის მეურნეობის მემცენარეობის და მეცხოველეობის დარგებისათვის. როგორც ცნობილია, თოვლის საფარი იცავს საშემოდგომო ხორბლის ნათესებს გაყინვისაგან, ზამთრის პერიოდში იგი ხელს უწყობს საშემოდგომო ხორბლის ფესვთა სისტემის ნორმალურ განვითარებას, არეგულირებს ფესვებში მიმდინარე ბიოქიმიურ პროცებს, რაც დადებით გავლენას ახდენს ნათესების მოსავლიანობაზე მაგრამ, ქარბის შემთხვევაში ადგილი აქვს აგრეთვე საშემოდგომო ხორბლით დაკავებულ ფართობზე თოვლის საფარის თანაბარი განაწილების რღვევას, ხშირ შემთხვევაში თოვლის საფარისგან თავისუფალი (მოტიტვოლებული) ადგილების გაქნით, რასაც თან სდევს საშემოდგომო კულტურების გაყინვა განადგურება. ზამთრის საძოვრებზე ქარბუქის შედეგად თოვლის საფარის გადანაწილების და ნამექრების წარმოქმნის პროცესი ხელს უშლის პირუტყვის ნორმალურ გამოზამთრებას. მთიან და განსაკუთრებით DMმაღალმთიან რაიონებში სადაც ადგილის სიმაღლის მატებისას ხდება მდგრადი თოვლის საფარის წარმოქმნა და აღინიშნება ქარბუქიან დღეთა რიცხვის მკვეთრი ზრდა (განსაკუთრებით თხემურ ნაწილში, სადაც ძირითადად განლაგებულია ზვავების კერები), ქარბუქის შემთხვევაში ხდება თოვლის მასის გადანაწილება რელიეფის ელემენტებს შორის და მისი ლოკალური აკუმულაცია პოტენციალურად ზვავწარმომქმნელიფაქტორის ლავგარდინების (კარნიზების) წარმოქმნით, რომლებიც აძლიერებენ რაიონის ზვავსაშიშროებას. იმ სინოპტიკურ პროცესებთან, რომლებთანაც დაკავშირებულია ქარბუქის მოვლენები მთავარ როლს ასრულებენ ციკლონები. ყველაზე ძლიერი ქარბუქები დაკავშირებულია ღრმა ციკლონებთან. მთიან რაიონებში ქარბუქის ინტენსივობაზე დიდ გავლენას ახდენს ადგილის აბსოლუტური სიმაღლე და რელიეფის თავისებურებები, რელიეფის უარყოფითი ელემენტების გავლენით ქარბუქის ინტენსივობა ეცემა და პირიქით დადებით ელემენტებზე (თხემები) მატულობს. ქარბუქის ინტენსივობა გარდა რელიეფისა დამოკიდებულია აგრეთვე თოვლის ფიზიკურ თვისებებზე.

რაჭა-ლეჩხუმის და ქვემო სვანეთის სადგურებზე ქარბუქიან დღეთა საშუალო *π* და მაქსიმალური *π_{მაქ}*. რაოდენობა, ქარახვეტია დღეთა საშუალო რაოდენობა *π_რ* თვეში და წელიწადის ცივ პერიოდში მოცემულია ცხრილ 5.2.1.-ში (Справочник по климату СССР. Облачность и атмосферные явления. Вып. 14, 1970; Научно-прикладной

справочник по климату СССР. Серия 3, части 1-6, вып. 14, 1990). აქვე მოცემულია ქარბუქის საშუალო ხანგრძლივობა \bar{t} (სთ).

როგორც ცხრილ 5.2.1.-დან ჩანს მამისონის უღელტეხილზე წელიწადში ქარბუქიან დღეთა საშუალო რაოდენობა \bar{n} შეადგენს 83-ს, მაქსიმალური რაოდენობა ია 134-ს. სადგურ ხერგაში(1131მ) ეს მაჩვენებლები შესაბამისად ტოლია 6 და 11 დღისა. ქარახვეტია დღეთა რიცხვი წელიწადში მამისონის უღელტეხილზე შეადგენს 27-ს.

ცხრილი 5.2.1. \bar{n} , ია და \bar{m} , \bar{t} (სთ)

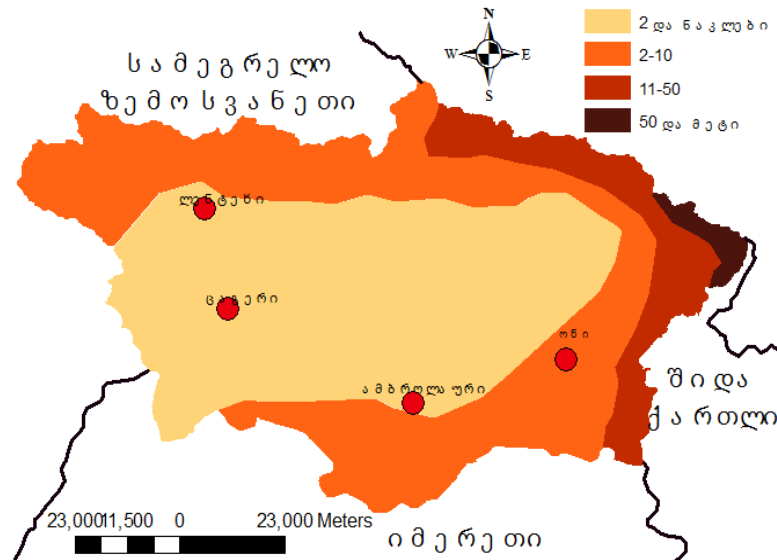
0 3 0													ელ ი
VII	III	IX	X	XI	XII	I	II	III	IV	V	VI		
\bar{n} (დღე)													
მამისონის უღ.													
0.04	0.04	1	6	9	11	13	14	15	9	4	0.7	83	
ხერგა													
				0.2	0.4	2	2	1	0.03			6	
ია(დღე)													
მამისონის უღ.													
1	1	6	13	24	25	23	24	25	21	14	4	134	
ხერგა													
				2	3	9	9	5	1			11	
\bar{m} (დღე)													
მამისონის უღ.													
0.3	0.2	1	2	3	3	4	2	4	2	4	1	27	
ხერგა													
0.2	0.3	0.5	0.07									1	
\bar{t} (სთ)													
მამისონის უღ.													
1	1	8	74	111	145	169	165	154	85	32	10	955	

ნახ.5.2.1-ზე წარმოდგენილია ქარბუქიან დღეთა საშუალო რიცხვის წლიური განაწილების რუკა.

როგორც ნახ.5.2.1.-დან ჩანს რაჭა-ლეჩხუმი ქვემოს სვანეთის უმეტეს ტერიტორიაზე ქარბუქიან დღეთა საშუალო რიცხვი 10

დღეზე ნაკლებია. თუმცა რეგიონის განსაკუთრებით მაღალმთიანეთში, ძირითადად კავკასიონის ქედის გასწვრივ და მის შუაწელში, ეს მაჩვენებელი 10 დღე ზე მეტია წლის განმავლობაში, ხოლო უკიდურეს ჩრდილოეთ ნაწილში იგი 50 დღეს აჭარბებს.

ქარბუქის საშუალო ხანგრძლივობა მამისონის უღელტეხილზე წელიწადში ტოლია 995 საათისა. აյ ქარბუქის საშუალო ხანგრძლივობა დღეში საშუალოდ შეადგენს 11.1სთ-ს ამ სადგურზე ქარბუქის საშუალო თვიური ხანგრძლივობა აანვარში, თებერვალში და მარტში მერყეობს 154(III)-169(I) საათის ფარგლებში.



ნაბ.5.2.1 ქარბუქიან დღეთა საშუალო წლიური რიცხვი

ქარბუქის ხანგრძლივობა დღეღამის სხვადასხვა დროს (სთ) სადგურ მამისონის უღელტეხილზე მოცემულია ცხრილ 5.2.2.-ში.

მამისონის უღელტეხილზე ქარბუქის დროს ქარების მაქსიმალური ალბათობა 25,3-34,0% აღინიშნება 6-9 და 10-13მ/წმ-ის სიჩქარის ქარების გრადაციებისათვის. ალბათობის სიდიდით მეორე ადგილზეა 14-17 და 18-20მ/წმ სიჩქარის გრადციები, რომლებზედაც მოდის შესაბამისად ალბათობის 16,0 და 11,5%. დანარჩენ გრადაციებზე ქარბუქის დროს ქარების ალბათობა მეყეობს 13(35-40მ/წმ)-36%(<6მ/წმ) პროცენტის საზღვრებში.

ცხრილი 5.2.2. ქარბუქის ხანგრძლივობა დღელამის სხვადასხვა საათებში მამისონის უღელტეხილზე (სთ) (Справочник по климату СССР. Облачность и атмосферные явления. Вып. 14, 1970)

სთ	მ გ ე												წელი
	VII	VIII	IX	X	XI	XII	I	II	III	IV	V	VI	
მამისონის უღ.													
18-24			0.9	20.4	29.4	31.8	4.6	40.8	44.6	21.9	9.0	0.3	241.7
24-6	0.1		2.0	18.9	28.3	31.5	38.4	40.6	39.0	19.6	7.4	0.2	226.0
6-12	0.1		1.3	16.0	26.9	27.2	36.7	37.4	33.7	15.7	6.2	0.7	201.9
12-18	0.2	0.05	1.7	17.5	33.0	31.0	43.2	46.6	45.1	21.2	8.4	1.4	249.4

5.3. ნისლი

ნისლი განკუთვნება საშიშ მეტეოროლოგიურ მოვლეთა რიცხვს. ნისლი აფერხებს ტრანსპორტის ყველა სახეობის (სახმელეთო, საჰაერო, საზღვაო) ნორმალურ ფუნქციონირებას მასში მხედველობის სიშორის შემცირების შედეგად. მიუხედავად იმისა, რომ არსებობს ნისლის რადგენიმე (შიდამასიური, ადვექციური, რადიაციული და ფრონტალური) სახეობები, მათი მიკროფიზიკური მახასიათებლების (წყლის წვეთების და ყინულის კრისტალების კონცენტრაცია და მათი სიდიდეები) იდენტურობის შედეგად ნისლის ცალკეულ სახეობებს შორის დიდი განსხვავება არ არსებობს. ატმოსფეროში მიმდინარე ნისლის განაწილების ტერიტორიულ თავისებურებებზე გარდა ცირკულაციური პროცესებისა დიდ გავლენას ახდენს ადგილის მორფოლოგიურ-მორფომეტრიული პირობები (აბსოლუტური სიმაღლე, რელიეფის შემადგენელი ელემენტების ფორმა, ზომები და სხვ.).

რაჭა-ლეჩხუმის და ქვემო სვანეთის ტერიტორიაზე ნისლიან დღეთა საშუალო მაქსიმალური იან. რაოდენობა მრავალწლიური დაკვირვებების მონაცემებით მოცემულია ცხრილ 5.3.1.-ში.

როგორც ამ ცხრილიდან ჩანს, ნისლიან დღეთა საშუალო რაოდენობა წელიწადში მაქსიმალურიაში ლაილაშშიდა და შესაბამისად 35, 46 და 42, მინიმალურია ამბოლაურში, ცაგერში და შესაბამისად 3, 3, 7 და 7. ადგილის აბსოლუტური სიმაღლის შემთხვევაში ნისლიან დღეთა ლოობას. მამისონის უღელტეხილზე (2854მ) იგი შეადგენს 223.

ცხრილი 5.3.1. ნისლიან დღეთა საშუალო \bar{n} და მაქსიმალური $n_{\text{მაქ}}$ რაოდებობა (Справочник по климату СССР. Облачность и атмосферные явления. Вып. 14, 1970; საქართველოს სამეცნიერო-გამოყენებითი კლიმატური ცნობარი. ცალკეული კლიმატური მახასიათებლები. ნაწ. 1, 2004)

I	II	III	IV	V	VI	VII	VIII	IX	X	XI	XII	წელი
\bar{n}												
ონი												
0.5	0.1	0.3	0.09	0.09	0.09	0.2	0.05	0.09	0.3	0.1	0.3	3
შოვი												
2	1	1	4	3	2	4	2	3	3	2	2	29
ამბროლაური												
0.8	0.2	0.08	0.2	0.08	0.46	0.2	0.1	0.08	0.2	0.2	0.4	3
მამისონის უღ.												
17	18	21	20	20	19	21	20	20	17	14	16	223
ურავი												
4	3	2	4	3	4	4	3	4	4	4	3	42
ცაგერი												
2	1	0.4	0.2	0.4	0.03	0.03	0.1	0.7	0.4	0.5	1	7
ლაილაში												
4	3	4	5	4	4	4	3	4	3	4	4	46
ჭრებალო												
1	0.6	0.5	0.4	0.3	0.3	0.1	0.3	0.7	1	1	1	7
ხერგა												
2	2	4	5	3	3	3	3	3	3	2	2	35
$n_{\text{მაქ}}$												
ონი												
4	1	4	1	1	1	3	1	1	2	1	2	15
შოვი												
8	5	9	12	8	8	11	5	11	15	8	6	64
ამბროლაური												
7	2	1	3	1		3	2	2	5	3	3	14
მამისონის უღ.												
27	26	31	27	30	27	30	26	27	28	27	28	276
ურავი												

ცხრილი 5.3.1-ის გაგრძელება														
14	11	8	14	16	12	12	11	13	9	9	8	79		
ცაგერი														
6	5	3	1	3	1	1	1	2	1	3	7	13		
ჭრებალო														
9	5	3	2	2	2	3	2	4	4	5	6	26		
ხერგა														
7	5	8	14	8	7	11	12	7	9	4	7	52		

ნისლიან დღეთა რაოდენობა წელიწადში მაქსიმალურია ხერგაში, ონში, ურვაში შესაბამისად 13, 14 და 15. ნისლიან დღეთა აბსოლუტური მაქსიმუმი დაფიქსირდა მამისონის უღელტეხილზე - 276 დღე. რაც შეეხება ნისლიან დღეთა სამუალო რაოდენობას წელიწადის ცივ (X-III) და თბილ (IV-IX) პერიოდებში მათი მნიშვნელობები ახლოა ერთმანეთტან ყველა სადგურზე მამისონის უღელტეხილის გარდა, სადაც იგი შესაბამისად ტოლია 103(X-III) და 120(IV-IX)-ისა.

ნისლიან დღეთა მაქსიმალური რაოდენობა წელიწადის ცივ პერიოდში (X-III) სადგურზე შოვი, ცაგერი, ონი, ჭრებალო, ამბროლაური მეტია თბილ პერიოდთან შედარებით. სადგურზე მამისონის უღელტეხილი წელიწადის ცივ და თბილ პერიოდში ნისლიან დღეთა მაქსიმალური რაოდენობა ტოლია ერთმანეთისა (148 და 149 დღე შესაბამისად). სადგურებზე ურავი და ხერგა წელიწადის თბილ პერიოდში ნისლიან დღეთა მაქსიმალური რაოდენობა მეტია მის მნიშვნელობასთან ცივი პერიოდისათვის შესაბამისად ურვაზე 59 და 48, ხერგზე 34 და დღე.

რეგიონის ტერიტორიაზე არსებული მეტეოროლოგიური სადგურების ქსელის მრავალწლიური დაკვირვებების მონაცემების გამოყენებით, გარდა ნისლიან დღეთა საშუალო და მაქსიმალური რაოდენობისა, გაანალიზებული იქნა ნისლიან დღეთა გრადაციების განმეორადობა თვეებისა და წელიწადის მიხედვით, ნისლების არსებობის საშუალო ხანგრძლივობა, ნისლების ხანგრძლივობა დღე-ღამის სხვადასხვა საათებში, თვეების მიხედვით ნისლიან დღეთა გრადაციების (2 დღიანი ინტერვალით) განმეორადობა.

ნისლიან დღეთა სხვადასხვა რიცხვის განმეორადობა თვეების მიხედვით მოცემულია ცხრილ 5.3.2.-ში.

ცხრილი 5.3.2. ნისლიან დღეთა სხვადასხვა რიცხვის განმეორადობა (%) თვეების მიხედვით, (Справочник по климату СССР. Облачность и атмосферные явления. Вып. 14, 1970; საქართველოს სამეცნიერო-გამოყენებითი კლიმატური ცნობარი. ცალკეული კლიმატური მახასიათებლები. ნაწ. 1, 2004)

დღეების რიცხვი	I	II	III	IV	V	VI	VII	VIII	IX	X	XI	XII
ცაგერი												
0	32	42	76	85	68	96	96	92	50	62	76	43
1-4	52	54	24	15	4	4	8	50	38	24	24	53
5-8	16	4	-	-	-	-	-	-	-	-	-	4
ონი												
0	71	86	81	91	91	91	86	95	91	82	86	77
1-4	29	14	19	9	9	9	14	5	9	18	14	23
ჭრებალო												
0	69	66	71	74	74	77	92	74	52	31	42	57
1-4	27	30	29	26	26	23	8	26	48	69	54	39
5-8	-	-	-	-	-	-	-	-	-	-	4	4
ამბროლაური												
0	72	84	92	92	92	100	88	96	96	92	88	76
1-4	20	16	8	8	8	-	-	4	4	4	12	24
ხერგა												
0	20	8	0	4	16	4	16	24	16	8	12	24
1-4	68	84	64	36	64	76	52	48	48	72	88	56
5-8	12	8	36	52	20	20	16	16	36	16	-	20
9-12	-	-	-	4	-	-	8	8	-	-	-	-

ცხრილ 5.3.2.-ში მოცემული მონაცემები იძლევიან წარმოდგენას ნისლიან დღეთა რიცხვის ცვალებადობაზე ცალკეულ თვეებში წელი-წალის განმავლობაში. ცხრილში თითოეული გრადაციის განმეორადობა წარმოდგენილია პროცენტებში (დაკვირვებების წლების რიცხვიდან).

წელიწადში ნისლიანი დღეების სხვადასხვა რიცხვის განმეორადობა მოცემულია ცხრილ 5.3.3.-ში. როგორც ამ ცხრილიდან ჩანს, წელიწადში ნისლიანი დღეების მაქსიმალური განმეორადობა აღინიშნება ცაგერში 6-10 დღე (57%), ონში 1-5 დღე (72%), ჭრებალოში 1-5 დღე (44%), ამბროლაურში 1-5 დღე (42%), ხერგაში 31-35 დღე (22%). მამისონის უღელტეხილზე 201-210 დღე (20%).

ნისლების არსებობის სამუალო ხანგრძლივობა საათებში მოცემულია ცხრილ 5.3.4.-ში. როგორც ამ ცხრილის მონაცემებიდან ჩანს, თვეების მიხედვით ნისლების სამუალო ხანგრძლივობის აბსოლუტური მაქსიმუმი აღინიშნება მამისონის უღელტეხილზე მარტში 250,1სთ, ცაგერში-ივნისში 8,3 სთ, ონთი ასევე იანვარში 3,8 სთ.

ცხრილი 5.3.3. წელიწადში ნისლიანი დღეების სხვადასხვა რიცხვის განმეორადობა (%),(Справочник по климату СССР. Облачность и атмосферные явления. Вып. 14, 1970; საქართველოს სამეცნიერო-გამოყენებითი კლიმატური ცნობარი. ცალკეული კლიმატური მახასიათებლები. ნაწ.1, 2004)

ღერგები	ცაგერი	ონი	ჭრებათო	ამშროლარი	ხერგა	მამისონის უღ.	
						დღეები	%
0		18	4	50		181-190	11
1-5	29	72	44	42		191-200	4
6-10	57	5	20	4		201-210	20
11-15	14	5	24	4	4	211-220	14
16-20					4	221-230	7
21-25			4		4	231-240	11
26-30			4		8	241-250	18
31-35					22	251-260	7
36-40					21	261-270	4
41-45	9				12	271-280	4
46-50	9				17		
51-55					8		
56-60							
61-70							
71-80	5						
81-90							

**ცხრილი 5.3.4. ნისლების საშუალო ხანგრძლივობა (საათი),
(Справочник по климату СССР. Облачность и атмосферные
явления. Вып. 14, 1970)**

თვე, პერიოდი	მამისონის უღ.	ჩაგერი	ონი
I	240.8	8.3	3.8
II	227.7	3.9	0.3
III	250.1	1.8	1.4
IV	231.7	0.2	0.4
V	199.6	1.8	0.2
VI	167.9	0.03	0.1
VII	211.2	0.05	0.9
VIII	184.0	0.1	0.6
IX	206.3	1.3	0.5
X	187.8	1.4	0.8
XI	187.5	2.1	0.7
XII	203.3	5.7	0.8
წელი	2497.1	28.7	10.5
განმეორადობა დღეში			
X-III	12.6	23.2	7.8
IV-IX	10.0	3.5	2.7
წელი	11.2	3.8	3.5

5.4. წაყინვები

წაყინვების ქვეშ იგულისხმება ჰაერის მინიმალური ტემპერატურის ხანმოკლე დაცემა 0°C -ზე დაბლა გაზაფხულზე ან შემოდგომაზე დადებითი საშუალო დღე-ღამური ტემპერატურის დროს. ჭაყინვები ხმირად იმდენად ხანმოკლე პროცესია, რომ მისი ფიქსირება ხდება მინიმალური თერმომეტრის ჩვენების მიხედვით მეტეოროლოგიურ ბუდრუგანაში. თუ დღე-ღამის განმავლობაში წაყინვების ფაქტი რამდენჯერმე განმეორდა, ჩვენ მაინც ვაფიქსირებთ, როგორც წაყინვანი ერთი დღის შემთხვევას. ამრიგად ჩვენი კვლევა ძირითადად შეეხება ჰაერში წაყინვიან დღეთა ცვლილების სტატისტიკის შესწავლას. ჭაყინვები არათანაბრადაა გადანაწილებული წლებისა და

თვეების მიხედვით. მათი ალბათობა იზრდება იმ წლებში, როდესაც აღნიშნულ ტერიტორიაზე მკვეთრად იზრდება ჰაერის ცივი მასების შემოჭრის შემთხვევები.

ჩვენთვის ძირითადად მნიშვნელოვანია იმ პროცესების შესწავლა, რომლებიც ხელს უწყობს საკვლევ ტერიტორიაზე გაზაფხულის ბოლო და შემოდგომის პირველი წაყინვების დაფიქსირების ალბათობას, მათ ტიპს, ინტენსივობას, ხანგრძლივობას და ა.შ.

თავისი გამომწვევი მიზეზების მიხედვით წაყინვები შეიძლება დაიყოს ადვექციურ, რადიაციულ და ადვექციურ-რადიაციულ ტიპებად. Aზორის ანტიციკლონის გააქტიურების შემთხვევაში გაზაფხულზე და შემოდგომაზე ადგილი აქვს შემოჭრილი ჰაერის მასების ტენით მნიშვნელოვან გაჯერებას. ეს პროცესი ხელს უწყობს ადვექციური ტიპის წაყინვების შემთხვევების საგრძნობ მატებას. Aნტიციკლონის შემთხვევაში ტერიტორია განიცდის მაღალი წნევის ველის გავლენას. Iმის მიუხედავად ანტიციკლონი ადგილობრივად არის ჩამოყალიბებული თუ გადაადგილდება მიმდებარე რეგიონიდან, იგი ხასიათდება შედარებით სტაციონალური ამინდის პირობებით. Mიუხედავად სეზონისა ეს პროცესი ხასიათდება შედარებით მაღალი ტემპერატურით, სუსტი ქარით, მოწმენდილი ცის ალბათობით, იზრდება აღმავალი დენების სიჩქარე და წაყინვების ალბათობა მინიმალურია.

კვლევის რეგიონში და ზოგადად დასავლეთ საქართველოში უფრო ხშირად გვხვდება ადვექციური ტიპის წაყინვები. Aსეთი ტიპის წაყინვებისათვის ძირითადად დამახასიათებელია მოღრუბლულობა $3 \div 5$ ბალი, ქარი $3 \div 5$ მ/წმ და მეტი, ტემპერატურის შედარებით მცირე ამპლიტუდა და სხვა. ჭაყინვების ხანგრძლივობა და ინტენსივობა გვეხმარება ასეთი ტიპის წაყინვების გამოყოფაში.

დადიაციული ტიპის წაყინვების ალბათობა მეტია უქარო და უღრუბლო ამინდის დროს. მათი წარმოშობა ძირითადად დაკავშირებულია ნიადაგის ზედაპირის გადაციებასთან ინტენსიური გამოსხივების დროს. Aსეთი წაყინვების ინტენსივობა დიდი არ არის და მზის ამოსვლის შემდეგ მათი ალბათობა მკვეთრად მცირდება. ღადიაციული ტიპის წაყინვები უფრო ხანგრძლება და ლოკალური. Aმ დროს საგრძნობია რელიეფის გავლენა, ადგილი აქვს ტემპერატურის ამპლიტუდის ზრდას. ჭაყინვების სხვა შემთხვევები მიეკუთვნება ე.წ. ადვექციურ-რადიაციულ ტიპს.

ამ ეტაპზე ჩვენი ამოცანა იყო არსებული წაყინვიანი დღეების ძირითადი სტატისტიკური მახასიათებლების, მათ შორის: საშუალო თვიური რაოდენობა, წაყინვიან დღეთა უზრუნველყოფა, ინტენსივობა, განმეორებადობა ტიპების მიხედვით, მათი კომპლექსური მახასიათებლების კვლევა.

შაწყის მასალად გამოყენებული იყო მეტეოროლოგიურ ცნობარში არსებული უწყვეტი დაკვირვების 35 წლიანი მონაცემები სადგურებისათვის: ლენტები, ამბროლაური და ონი.

ჭაყინვების საშუალო რაოდენობა თვეების მიხედვით, აგრეთვე პუნქტის სიმაღლე ზღვის დონიდან მოგვყავს სათანადო ცხრილში 5.4.1

ცხრილი 5.4.1. წაყინვების საშუალო რაოდენობა თვეების მიხედვით

შადგური	H, მ	ჯამი	თვე						
			III	IV	V	...	IX	X	XI
ლენტები	760	432	5.3	2.3	0.2	...	0.3	1.6	3.4
ამბროლაური	544	358	5.9	0.6	-	...	-	0.6	3.1
ონი	788	314	2.8	1.6	0.6	...	-	2.0	2.5

სადგურები ლენტები და ონი თითქმის ერთნაირ სიმაღლეზეა ზღვის დონიდან. შევაობა ონსა და ამბროლაურს შორის არ აღემატება 250მ-ს. შემთხვევათა ჯამური რაოდენობა უდიდესია ლენტებში (432) და უმეტესია ონში (314) სხვაობა შეადგენს 118 შემთხვევას. ღოგორც მოსალოდნელი იყო წაყინვიან დღეთა რიცხვი ყველა სადგურისათვის უდიდესია მარტში 5.9 შემთხვევა ამბროლაურში და 2.8-ონში. მაისში და სექტემბერში წაყინვებიანი დღეების რიცხვი უმცირესია, არ აღემატება 0.6 შემთხვევას.

ცარდა თვეების მიხედვით წაყინვიან დღეთა რიცხვის ცვალებადობისა სადგურების მიხედვით მნიშვნელოვანია შევისწავლოთ მათი განაწილება ინტენსივობის მიხედვით 1°C ინტერვალით. სათანადო მონაცემები მოგვყავს ცხრილში 5.4.2.

ამ ცხრილის მიხედვით ცხადია, რომ წაყინვების ინტენსივობა დიდი არ არის. სამივე სადგურისათვის წაყინვების ინტენსივობის სიდიდის ნახევარზე მეტი არ აღემატება -2.0°C . ლენტებში და

ამბროლაურში უდიდესი რიცხვი წაყინვიანი დღეებისა მოდის მარტში და ნოემბერში.

ცხრილი 5.4.2. წაყინვების ინტენსივობა სადგურების მიხედვით °C

სადგური		ლენტები				ამბროლაური				ონი			
გრადაცია		თვე				თვე				თვე			
ზან	მდე	III	IV	X	XI	III	IV	X	XI	III	IV	X	XI
0.0	-0.9	59	41	29	40	83	9	11	41	27	44	26	29
-1.0	-1.9	45	14	13	25	50	6	7	25	9	27	21	24
-2.0	-2.9	41	12	7	15	36	1	4	20	9	12	11	21
-3.0	-3.9	16	6	4	21	19	3	-	14	5	7	4	7
-4.0	-4.9	11	6	2	8	13	1	-	5	3	5	3	5
-5.0	-10.0	7	3	-	5	7	-	-	3	2	5	4	2
Σ		179	82	55	114	208	20	22	108	55	100	69	88

კანონზომიერება ირდვევა მეტეოროლოგიური ონისათვის, სადაც უდიდესი რაოდენობა (100 შემთხვევა) აპრილშია, მარტში კი აღინიშნება მხოლოდ 55 შემთხვევა. წაყინვიან შემთხვევათა რიცხვი ამბროლაურში IV და X თვეებიში შეადგენს $20 \div 22$ -ს. რაც შეეხება ყველაზე ინტენსიურ წაყინვებს, მათი რაოდენობა დიდი არ არის და ინტერვალში -5.0°C და კიდევ უფრო ნაკლები, მერყეობს საზღვრებში 15-დან ლენტებში, 10-დე ამბროლურში.

შემდეგი პარამეტრი, რომლითაც შეიძლება წაყინვიან დღეთა დახასიათება არის წაყინვიან დღეთა უზრუნველყოფა, სათანადო მონაცემები მოგვყავს ცხრილში 5.4.3.

ამ ცხრილის ანალიზი საშუალებას გვაძლევს დავასკვნათ, რომ ლენტებში და ამბროლაურში შემთხვევათა 5%-იანი უზრუნველყოფით გვხვდება პრაქტიკულად შემთხვევათა $1/4$, უფრო ზუსტად $23\text{-}24\%$, შემთხვევათა ნახევარი გვხვდება ონში 8%, ამბროლაურში 10% და ლენტებში 12% და ა.შ.

შემდეგი პარამეტრიც, რომელიც გვეხმარება წარმოდგენა გვქონდეს თუ რამდენად უზრუნველყოფილია შემთხვევათა რიცხვის გადახრა საშუალოდ (%) მოგვყავს სათანადო ცხრილში 5.4.4.

ცხრილი 5.4.3. წაყინვიან დღეთა რიცხვის უზრუნველყოფა (%)

სადგური	უზრუნველყოფა (%)						
	5	10	25	50	75	90	95
ლენტები	24	21	16	12	8	6	5
ამბროლაური	23	17	14	10	5	3	3
ონი	19	15	12	8	7	3	-

ცხრილი 5.4.4. წაყინვიან დღეთა რიცხვის საშუალოდან გადახრის ალბათობა (დღე)

სადგური	ალბათობა %				
	± 2	± 6	± 9	± 12	> 12
ლენტები	28	46	17	6	3
ამბროლაური	26	46	23	0	5
ონი	37	40	11	9	3

ამ ცხრილის ანალიზი საშუალებას გვაძლევს დავასკვნათ, რომ ლენტებში და ამბროლაურში ± 2 დღის ინტერვალში საშუალოდ იცვლება შემთხვევათა 26-28%, ± 6 დღის ინტერვალში თითქმის ნახევარი (46%) და ა.შ. სადგურ ონისთვის გადახრა ± 2 დან ± 6 -მდე თითქმის არ იცვლება და მერყეობს 37-40%-ის ფარგლებში.

წაყინვათა უმეტესობა არ არის ხანგრძლივი, მათი ხანგრძლივობის 75%-მდე არ აღემატება 1-2 დღეს. უფრო დეტალურად წაყინვების შემთხვევების გაგრძელება რამდენიმე დღე მოგვყავს სათანადო ცხრილში 5.4.5.

ცხრილი 5.4.5. წაყინვების ხანგრძლივობა (დღე)

სადგური	ხანგრძლივობა (%)									
	1	2	3	4	5	6	7	8	9	10
ლენტები	59	25	9	3	2	1	1			
ამბროლაური	56	25	6	6	3	2	1		1	
ონი	64	18	10	4	1	1	1	1		

ერთდღიანი წაყინვების შემთხვევა აღინიშნა სათანადოდ 56%, 59% და 64% ამბროლაურში, ლენტებში და ონში. ზედიზედ ორი დღის ხანგრძლივობის- ლენტებში და ამბროლაურში 25%-ია, ონში კი მხოლოდ 18%. რაც შეეხება ხანგრძლივობას, ყველაზე ხანგრძლივად, კერძოდ ზედიზედ 9 დღე აღნიშნულია ამბროლაურში, ონში 8 დღე და ლენტებში მხოლოდ.

წაყინვების ეპიზოდურობაზე მეტყველებს კიდევ ის ფაქტი, რომ ოთხჯერადი დაკვირვების შემთხვევაში წაყინვების ფაქტს უფრო ხშირად აფიქსირებს თერმომეტრის მინიმალური ჩვენება ბუდრუგანაში, ვიდრე თუნდაც დაკვირვების ერთი ვადის ანათვალი, ცხრილი 5.4.6.

ცხრილი 5.4.6. წაყინვების შემთხვევაში უარყოფითი ტემპერატურების განმეორებადობა დაკვირვების ვადების მიხედვით (%)

სადგური	ვადა სთ			
	0	1	2	3
ლენტები	41	38	21	0
ამბროლაური	36	40	23	1
ონი	48	33	19	0

ამ ცხრილის მიხედვით შეგვიძლია დავასკვნათ, რომ მეტეოროლოგიურ ბუდრუგანაში მინიმალური თერმომეტრის მონაცემები აფიქსირებს წაყინვების შემთხვევათა 36%-ს ამბროლაურში, 41%-ს ლენტებში და 48%-ს ონში. მხოლოდ ერთ ვადაზე ფიქსირდება წაყინვის ფაქტი ონში, ლენტებში და ამბროლაურში შესაბამისად 33%, 38% და 40%-შემთხვევაში, რაც კიდევ ერთხელ ხაზს უსვამს ამ მოვლენების ეპიზოდურობას. სამ ვადაზე წაყინვის ხანგრძლივობა მხოლოდ აღინიშნა ამბროლაურში. თავისი გამომწვევი მიზეზების მიხედვით წაყინვები შეიძლება დაიყოს ადვექციურ, რადიაციულ და ადვექციურ-რადიაციულ ტიპებად. ჩვენი საკვლევი რეგიონისათვის (ზოგადად კოლხეთის დაბლობზე) უფრო ხშირად გვხვდება ადვექციური ტიპის წაყინვები, რომელთათვისაც ძირითადად დამახასიათებელია მოღრუბლელობა (3 ბალი და მეტი), ქარი (3-5 მ/წმ და მეტი) და ტემპერატურის შედარებით მცირე ამპლიტუდა და სხვა. წაყინვების ხანგრძლივობა და ინტენსივობა გვეხმარება ასეთი ტიპის წაყინვების გამოყოფაში.

რადიაციული ტიპის წაყინვების ალბათობა მეტია უქარო, უღრუბლო ამინდის დროს, მათი წარმოშობა ძირითადად დაკავშირებულია ნიადაგის ზედაპირის გადაციებასთან ინტენსიური გამოსხივების დროს. მათი ალბათობა დიდი არ არის და მზის ამოსვლის შემდეგ ასეთი ტიპის წაყინვები აღარ დაიკვირვება. რადიაციული ტიპის წაყინვები უფრო ხანმოკლლეა და ლოკალური. ამ დროს იგრძნობა რელიეფის გავლენა, ადგილი აქვს ტემპერატურის ამპლიტუდის ზრდას. წაყინვების სხვა შემთხვევები მიეკუთვნება ადვექციურ-რადიაციულ ტიპს. ჩვენი მსჯელობის დასადასტურებლად შეგვიძლია მოვიყვანოთ სხვადასხვა ტიპის წაყინვების განმეორადობის ცხრილი 5.4.7.

ცხრილი 5.4.7. სხვადასხვა ტიპის წაყინვების განმეორება %

სადგური	წაყინვის ტიპი		
	ადვექციური	რადიაციული	ადვექციურ-რადი-აციული
ლენტები	25	50	25
ამბროლაური	29	40	31
ონი	20	51	29

ამ ცხრილის ანალიზი საშუალებას გვაძლევს დავასკვნათ, რომ ლენტებში და ონში რადიაციული ტიპის წაყინვების ალბათობა დაახლოებით 50%-ია; ლენტებში ადვექციური და ადვექციურ-რადიაციულ ტიპის წაყინვების ალბათობა 25%-ია: ონში ადვექციური ტიპის წაყინვების ალბათობა მხოლოდ 20%-ია და ა.შ.

წაყინვების თავისებურებების უფრო სრულად დახასიათების მიზნით შეგვიძლია მოვიყვანოთ სადგურებისათვის ტემპერატურის, მოღრუბლულობის, ქარის სიჩქარის და ფარდობითი ტენიანობის განსხვავებული რეჟიმის დროს შესაბამისი მონაცემები ლენტებისათვის (ცხრილი 5.4.8).

ცხრილი 5.4.8. წაყინვების კომპლექსური მახასიათებლები ლენტებში

პარამეტრი ტემპერა- ტურა	მოღრუ- ბლულობა	ქარის სიჩქარე მ/წ														
		0÷1			2÷4			5÷6			>6					
დან	მდე	დან	მდე	ფარდობითი სინატენი (%)												
				≤60	61÷80	>80	≤60	61÷80	>80	≤60	61÷80	>80	≤60	61÷80	>80	ჯამი
0.0	-2.0	0	2	19	87		4	5		1	2	1		1	120	
		3	7	2	48		3	6						2	4	65
		8	10	4	45		2	9		1	8			5	20	95
-2.1	-5.0	0	2	1	9	72		2	4						1	89
		3	7	2	32		4	3							1	42
		8	10	1	13		-	2						4	1	22
ჯამი				1	37	297	-	15	29	-	2	14	1	8	28	433

თითოეული შემთხვევის ანალიზი აღემატება ჩვენს შესაძლებლობას. შევცდებით გავაკეთოთ რამდენიმე ხასიათის ზიგადი დასკვნა: წაყინვების დიდი უმეტესობა ლენტებში დაფიქსირებულია სუსტი ქარის დროს, ეს ეგრეთ წოდებული რადიაციული ტიპია (335 შემთხვევა). მხოლოდ 2 შემთხვევაში ფარდობითი სინოტივე არ აღემატებოდა 60%-ს; ორივე შემთხვევაში მოღრუბლულობა ≤ 2 ბალის. შემთხვევათა უმეტესობა დაფიქსირებულია მაღალი ფარდობითი სინოტივის დროს, კერძოდ $>80\%$ -ისა. შემთხვევათა უმეტესობისას (280) ადგილი ჰქონდა ტემპერატურის მცირე უარყოფით გადახრას, არა უმეტეს -2.0°C -ით. შემთხვევათა ნახევარზე მეტი, დაფიქსირებულია მოწმენდილი ცის პირობებში ≤ 2 ბალი.

რაც შეეხება კომპლექსურ მახასიათებლებს მეტეოროდაგურისათვის ამბროლაური, სათანადო მონაცემები მოყვანილა ცხრილში 5.4.9.

ცხრილი 5.4.9. წაყინვების კომპლექსური მახასიათებლები ამბროლაურში

პარამეტრის ტემპერატურა უდინობრივი	მოღრუბლების უდინობრივი	ქარდობითი სინოტივე (%)													
		0÷1			2÷4			5÷6			>6				
დან	მდე	დან	მდე	≤ 60	$61 \div 80$	>80	≤ 60	$61 \div 80$	>80	≤ 60	$61 \div 80$	>80	≥ 90		
0.0	-2.0	0	2		28	60		2		2			1	93	
		3	7	1	10	32			1				1	47	
		8	10	1	13	71		3	2	2		1	1	4	97
-2.1	-5.0	0	2	1	20	35			1			1			59
		3	7	1	10	19		1				1	1		33
		8	10	1	7	18	2	1							28
Σ ამი		5	88	235	2	4	3	4	4	1	3	3	5	357	

Активация Windows
Чтобы активировать Windows, перейдите к параметру

წინა შემთხვევის ანალოგიურად, წაყინვიან დღეთა დიდი უმეტესობა (328 შემთხვევა) აქაც დაფიქსირებულია სუსტი ქარის შემთხვევაში, $<1\text{m}/\sqrt{\text{m}}$. სხვ გრადაციებში ადგილი აქვს მხოლოდ $9 \div 11$ შემთხვევას. ცხადია რომ აქ ადგილი აქვს რადიაციული ტიპის წაყინვების დიდ უპირატესობას. შედარებით მომატებულია 60% და ნაკლები ფარდობითი სინოტივის დროს წაყინვების რაოდენობა (13), ეს შემთხვევები თითქმის თანაბრად ნაწილდება ქარის სხვადასხვა სიჩქა-

რის დროს, კერძოდ ინტერვალში $2 \div 5$ -მდე. რაც შეეხება ტემპერატურის ინტერვალს, -2.0°C დაფიქსირებულია 237 შემთხვევა, რაც შეადგებს 66%-ს. რაც შეეხება მოღრუბლულობას, აյ მოწმენდილი ცის პირობებში დაფიქსირდა 152 შემთხვევა, ხოლო უმეტესად მოღრუბლული ცისათვის 135 შემთხვევა და ა. შ.

ყინვების კომპლოქსური მახასიათებლები მეტეორსადგურ ონის შემთხვევაში მოცემულია ცხრილობში 5.4.10.

წინა შემთხვევების მსგავსად წაყინვიან დღეთა უმეტესობა მეორდება სუსტი ქარის შემთხვევაში (262). ქარის შემდეგ ინტერვალში შემთხვევათა რიცხვი არ აღემატება 26. შედარებით გაზრდილია შემთხვევათა რიცხვი (7), როცა ფარდობითი სინოტივე 60%-ზე ნაკლებია. აქაც ადგილი აქვს წაყინვების შემთხვევაში ტემპერატურის მცირედ დაცემის საგრძნობ უპირატესობას, 216 შემთხვევა 98-ის წინააღმდეგ. მსგავსად წინა მეტეორსადგურების, წაყინვიან დღეთა რიცხვი ფარდობითი სინოტივის 80%-მეტ შემთხვევაში შეადგენს 248-ს, რაც დიდ უმრავლესობას წარმოადგენს.

ცხრილი 5.4.10. წაყინვების ქომპლექსური მახასიათებლები ონშე

ჰაერის ტემპერა- ტურა	მოღრუ- ბლულობა	ქარის სიჩქარე მ/წ													
		0 \div 1			2 \div 4			5 \div 6			>6				
ფარდობითი სინოტივე (%)															
დან	მდე	დან	მდე	≤ 60	$61 \div 80$	>80	≤ 60	$61 \div 80$	>80	≤ 60	$61 \div 80$	>80	ჯამი		
0.0	-2.0	0	2	2	12	80	2	2	1	2	2	104			
		3	7		4	31	1	3	1	1	1	42			
		8	10		6	36	4	10	9	1	4	70			
-2.1	-5.0	0	2		8	52	1	3		1		65			
		3	7		1	19						20			
		8	10		11					1	1	13			
ჯამი			2	31	229	-	8	18	-	11	1	5	8	-	314

იმედს ვიტოვებთ, რომ ჩვენი ეს მოკლე გამოკვლევა დაეხმარება პრაქტიკოსი ფერმერების უმრავლესობას, პრაქტიკულად უზრუნველყონ ისეთი რთული და აქტუალური საკითხი, როგორიცაა ნათესების და ნარგავების დაცვა გაზაფხულის ბოლო და შემოდგომის პირველი წაყინვებისაგან.

5.5. ინტენსიური და უხვი ატმოსფერული ნალექები

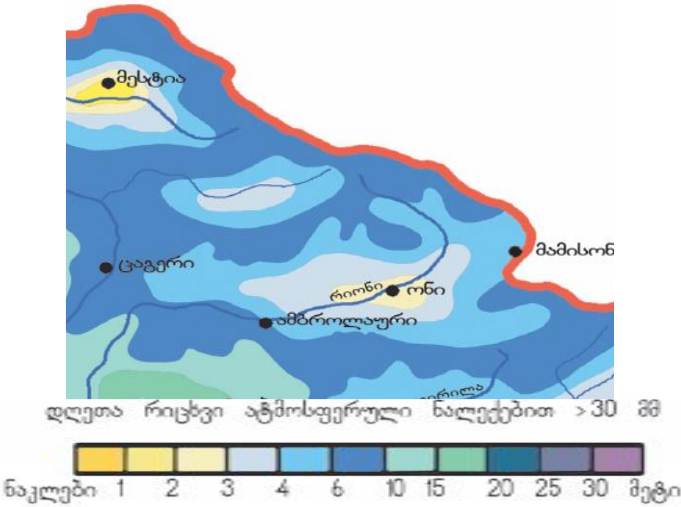
ინტენსიური ეწოდება ნალექებს, როდესაც დღეღამის განმავლობაში მოსული მათი რაოდენობა აღემატება 20 მმ-ს, ხოლო უხვი ეწოდება ნალექებს, როდესაც მათი დღე-ღამური ჯამები აღემატება 30მმ-ს. ასეთი ნალექები ამინდის საშიშ მოვლენად მიიჩნევა, რადგანაც შესაძლოა სტიქიური მოვლენების განვითარება გამოიწვიოს, მათ შორის წყალდიდობა, წყალმოვარდნა, დატბორვა, ღვარცფი და სხვ, და ამით დიდი მატერიალური ზარალი მიაყენოს ქვეყნის კონომიკას.

ცხრილში 5.5.1 წარმოდგენილია ინტენსიურ და უხვნალექიან დღეთა რიცხვის საშუალო თვიური და წლიური მნიშვნელობები 3 პუნქტისათვის, რომლებიც ახასიათებენ რეგიონის განსხვავებულ ფიზიკურ-გეოგრაფიულ პირობებს.

ცხრილი 5.5.1. დღეთა რიცხვი ინტენსიური და უხვი ნალექებით

თ ვ 9													წელი
I	II	III	IV	V	VI	VII	VIII	IX	X	XI	XII		
ამბროლაური													
ინტენსიური													
0.8	1.0	0.4	0.3	0.7	1.0	0.8	0.9	1.2	1.5	1.2	1.0	11	
უხვი													
0.2	0.3	0.2	0.1	0.1	0.5	0.3	0.5	0.6	0.5	0.4	0.4	4	
შოვი													
ინტენსიური													
1.0	0.8	0.9	1.0	1.4	1.2	1.2	1.5	1.3	1.8	0.9	0.9	14	
უხვი													
0.2	0.2	0.2	0.1	0.3	0.2	0.5	0.5	0.5	0.6	0.3	0.3	4	
მამისონის უღ.													
ინტენსიური													
0.5	0.5	0.6	0.3	0.4	0.4	0.6	0.8	0.3	0.3	0.3	0.4	5	
უხვი													
0.1	0.2	0.1	0.2	0.1	0.03	0.1	0.3	0.03	0.03	0.1	0.1	1	

როგორც ცხრილიდან ჩანს, მთელი წლის განმავლობაში ინტენსიურ ნალექებიან დღეთა რიცხვი 5-13-ს, ხოლო უხვნალექიან დღეთა რიცხვი 1-4-ს შეადგენს. უფრო დეტალურ ინფორმაციას უხვნალექიან დღეთა რიცხვის რეგიონის ტერიტორიაზე განაწილების შესახებ იძლევა ნახ.5.5.1-ზე წარმოდგენილი რუკა.



Nəxəb. 5.5.1. დღეთა რიცხვი უხვი ნალექებით წელიწადში

რუკიდან ჩანს, რომ რეგიონის ტერიტორიაზე უხვ ნალექიან დღეთა რიცხვი წლის განმავლობაში იცვლება ერთიდან (შესაძლოა 0-დან) 6-10 და მეტ დღემდე. უხვი ნალექები განსაკუთრებით ხშირია კავკასიონის მაღალმთიან ზონაში, სადაც მერყეობს 6-10 დღეს შორის.

ხშირად ერთ დღედამეში მოსული ნალექების ჯამი აღემატება ინტენსიური და უხვი ნალექებისათვის დადგენილ კრიტერიუმებს-20 და 30 მმ-ს (იხ.ცხრილი 5.5.2).

ცხრილი 5.5.2 ნალექების დღედამური მაქსიმუმების მახასიათებლები მმ.

პუნქტი	აბსოლუტური მაქსიმუმი	სამუალო მაქსიმუმი	მოსალოდნელი 100 წელიწადში ერთხელ
ჭრებალო	88	52	94
შოვი	89	47	94

ცხრილი 5.5.2-დან ჩანს, რომ ნალექების აბსოლუტური მაქსიმუმი რამოდენიმეჯერ აღემატება ინტენსიური და უხვი ნალექების კრიტერიუმებს.

ცხრილის თანახმად საუკუნეში ერთხელ მაინც მოსალოდნელი დღედამური ნალექების ჯამებიც საკმაოდ მაღალია, და 90 მმ-ს აღემატება

5.6. თოვლის ზვავები

საქართველოს ერთ-ერთი გამორჩეული კუთხე რაჭა, ლეჩხუმი და ქვემო სვანეთი მდებარეობს ცენტრალური კავკასიონის სამხრეთ ფერდობებზე და მაღალმთიან ზონას განეკუთვნება (400-4000 მ). ჩრდილოეთით სვანეთი და ცენტრალური კავკასიონი, აღმოსავლეთით - სამაჩაბლო, კერძოდ ჯავის რაიონი, სამხრეთით იმერეთი, ჩრდილო-დასავლეთით - ლეჩხუმის ქედი ესაზღვრება.

კავკასიონის მწვერვალები, მთაგრეხილები, მდინარეები და ჩანჩქერები, ტყის მასივები, ბუნებრივი გამოქვაბულები და მღვიმეები ამ მხარეს განსაკუთრებულ მნიშვნელობას ანიჭებს (სურ.5.6.1).

რაჭა-ლეჩხუმსა და ქვემო სვანეთშიაც არის სვანური კოშკები (მურყვამები). რაჭა და ლეჩხუმი მდიდარია მთის კურორტებით: შოვი, უწერა, ლაშიჭალა, ვეშვაკე, მუაში, სორტუანი, ბუგეული, ხიდიკარი. აქ მრავალი სახეობის სამკურნალო მინერალური თუ გოგირდოვანი წყლებია. მხარე ტურისტული თვალსაზრისითაც მიმზიდველია, ასევე გამოირჩება უძველესი ეკლესიებით: ნიკორწმინდა, ბარაკონი, ხონჭიორი, მრავალძალი, პატარა ონი, ღები, კვირიკეწმინდა, ლაილაში, ჩაჟაშის კომპლექსი, მინდა-ციხე, კვარაციხე, ციხეთა უძველესი კომპლექსი "დახვდი", "დაჭარი", "არ გაუშვა", ონის სინაგოგა, შაორისა და ლაჯანის წყალსაცავები.

რაჭაში ზღვის დონიდან 2000 მ-მდე ნოტიო ჰავაა, ზამთარი ცივი და ხანგრძლივი, ზაფხული - ხანმოკლე და თბილი, აბსოლუტური მინიმალური ტემპერატურა - 27° , ხოლო მაქსიმუმი - $+36^{\circ}$. ნალექები 1000-1500 მმ-დან 1600-1800 მმ-მდე მერყეობს.

რაიონი უქარო, ნესტიანი ჰავითა და სუსტი ყინვებით ხასიათდება. საშუალო ტემპერატურა ლენტების მეტეოროლოგიური სადგურის მონაცემებით $-1,8^{\circ}$ და $+20^{\circ}$ -ს შორის მერყეობს. ნალექი კი 1100-1300 მმ-ის ფარგლებშია

რაც შეეხება თოვლის საფარის მაქსიმალურ სიმაღლეს, ზოგადად, რაჭა-ლეჩხუმსა და ქვემო სვანეთში 127 სმ-დან 535 სმ-მდე მერყეობს (ცხრ.5.6.1). ცხრილში წარმოდგენილია მეტეოროლოგიურებისა და საგუშაგოების სიმაღლე, დაკვირვებათა წლები, თოვლის მაქსიმალური სიმაღლე წლის მითითებით და 50 სმ-ზე მეტი თოვლის საფარის სიმაღლის განმეორადობა დაკვირვებათა წლების მიხედვით.



სურ. 5.6.1. რაჭა-ლეჩხუმი (forestry.gov.ge)

ადგილის სიმაღლის მატებასთან ერთად იზრდება თოვლიან დღეთა რიცხვი და თოვლის საფარის სიმაღლე. აღსანიშნავია, რომ საკვლევ ტერიტორიაზე თოვლის საფარის მაქსიმალური სიმაღლე, ძირითადად, 1976 და 1987 წლების ზამთრის იანვრის თვეში დაფიქსირდა. ნალექების რაოდენობა ამ მდინარეთა აუზში 1100-1300 მმ-ია, თოვლის საფარის მაქსიმალური სიმაღლე 330-400 სმ-ია, ყორულდაში განსაკუთრებით სჭარბობს 200-300 სმ-ზე მეტი სიმაღლის თოვლის საფარიანი დღეები.

რელიეფის დიდი დანაწევრებით გამოირჩევა ლენტების რაიონის მდინარე ცხენისწყლის შენაკადების ზესხოსა (სურ. 5.6.2-5.6.3) და ყორულდაშის ხეობები. ამ რაიონში ზვავსაშიშროებით გამოირჩევა მდინარეების: ცხენისწყლის, ხელედულას, ლასკადურას, ფიშქორას, ყორულდაშის, ზესხოს, ხოფურისა და გობიშურას ხეობები, სადაც ოცდათოთხმეტი ზვავსაშიში პუნქტიდან განსაკუთრებით დაზიანდა: ლეუშერი, თევკალი, ლაგურკა, ცანა, ზესხო, რცხმელური, ხაჩეში, ცხუმალდი და დაბა ლენტები.



სურ. 5.6.2. მთა ზესხო (ქვემო სვანეთი) gangeba.com)



სურ. 5.6.3. სოფ. ზესხო (ქვემო სვანეთი) ([Youtube.com](https://www.youtube.com))

ცაგერისა და ამბროლაურის რაიონებში მდინარეების ლაჯანურისა და ლუხუნის ხეობებში ზვავსაშიშია სამი სოფელი და სოფ. ურავთან მდებარე დარიშხსნის – ლუხუნის საბადო, სადაც ორი ზვავი ჩამოდის. 1932 წლის თებერვალში აქ ზვავმა შვიდი ადამიანი იმსხვერპლა.

ონის რაიონში მდინარეების ჭაშურას, რიონის, ჭანჭახისა და გუბისწყლის ხეობებში განლაგებულ დასახლებულ პუნქტებში, მათ შორის კურორტ შოვის ტერიტორიაზეც ჩამოდის ზვავი.

ცხრილი 5.6.1. თოვლის საფარის მაქსიმალური სიმაღლე და განმეორადობა

სიმაღლე, (დაკვირვების წლები)	მაქს. სიმაღლე, სმ,(წელი)	განმეორადობა				
		>50-100	101-200	201-300	301-400	>400
ცაგერი						
474 (69)	250 (1976)	24	12	1	-	-
ამბროლაური						
544 (69)	165 (1976)	25	6	-	-	-
ლენტეხი						
760 (54)	390 (1988)	20	16	1	1	-
ონი						

ცხრილი 5.6.1-ისგაგრძელება						
788 (63)	127 (1977)	21	3	-	-	-
შაორი						
1145 (48)	255 (1987)	21	19	4	-	-
ურავი						
1150 (51)	230 (1987)	19	6	1	-	-
შოვი						
1507 (71)	365 (1987)	24	30	4	1	-
ზექსხო						
1690 (29)	400 (1987)	5	18	4	1	-
ყორულდაში						
1943 (50)	330 (1987)	-	2	34	12	-
მამისონის უღ.						
2854 (58)	535 (1987)	31	11	6	-	1

მდინარე ჭანჭახი მდ. რიონის მარცხენა შენაკადია. ამ მდინარის აუზში, მსგავსად მდ. რიონის სათავეებისა, რელიეფი დიდი დანაწევრებით გამოირჩევა. მამისონის უღელტეხილისა და შოვის მრავალწლიური მეტეოროლოგიური სადგურის მასალით ირკვევა, რომ ნალექების რაოდენობა 570-700 მმ-ია. სამწუხაროდ მამისონის მეტეოროლოგიური სადგური, 2008 წლის აგვისტოს ომის შემდეგ, ოკუპირებულ ტერიტორიაზე აღმოჩნდა. მარშრუტული თოვლის აგეგმვის მასალების მიხედვით თუ ვიმსჯელებთ 1500-2700 მ-ის სიმაღლეზე თოვლის საფარის სიმაღლე 1,5-2,8 მ-მდე იცვლება. თოვლის საფარის მაქსიმალური სიმაღლე 365-535 სმ-ია. მდ. რიონის აუზის ამ მონაკვეთში უხვთოვლიან ზამთრებში ტყე ზვავების შედეგად ნადგურდება. მდ. ჯოჯორას აუზის (მდ. ცხენისწყლის მარცხენა შენაკადი) მაღალმთან ნაწილში მრავალი ზვავშემკრებია და აქ უხვთოვლიან ზამთარში ადგილი აქვს კატასტროფული ზვავების ჩამოსვლას.

ცალკეულ წლებში რაჭა-ლეჩხუმისა და ქვემო სვანეთის ტერიტორიაზე არსებული ზვავშემკრებებიდან ჩამოსულმა ზვავებმა ზიანი მიაყენა ადგილობრივ მოსახლეობას. ჩვენ დეტალურად შევისწავლეთ რაჭა-ლეჩხუმისა და ქვემო სვანეთის ტერიტორიაზე ჩამოსული 77 ზვავშემკრების მორფომეტრიული და ზვავების დინამიკური მახასიათებლები (ცხრ.5.6.2-5.6.3).

ცხრილი 5.6.2 რაჭა-ლეჩხუმისა და ქვემო სვანეთის ტერიტორიაზე ზვავების განაწილება ზვავის სიგრძის, ზვავშემკრების ფართობისა და მოძრავი ზვავის სიმაღლის მიხედვით

ზვავის სიგრძე, მ			ზვავშემკრების ფართობი, ჰა			მოძრავი ზვავის სიმაღლე, მ		
	რ-ბა	%	ჰა	რ-ბა	%	მ	რ-ბა	%
<500	9	12	<0,5	38	49	<10	-	-
501-1000	22	29	0,5-1,0	9	12	10,1-15	-	-
1001-1500	14	18	1,1-10	17	22	15,1-20	20	26
1501-2000	7	9	>10	13	17	20,1-25	19	25
>2000	25	32				>25	38	49
Σ	77	100	Σ	77	100	Σ	77	100

ცხრილი 5.6.3. რაჭა-ლეჩხუმისა და ქვემო სვანეთის ტერიტორიაზე ზვავების განაწილება ზვავის კონტუსის მოცულობის, მოძრავი ზვავის მაქსიმალური სიჩქარის და ზვავის მაქსიმალური დარტყმის მაღალის მიხედვით

ზვავის კონტუსის მოცულობა, ათასი მ ³			მოძრავი ზვავის სიჩქარე, მ/წმ			ზვავის მაქსიმალური დარტყმის მაღალა, / ²		
	რ-ბა	%	მ/წმ	რ-ბა	%	ტ/ზ ²	რ-ბა	%
<1,0	5	6	<20	2	3	<20	2	3
1,1-15	41	53	21-30	28	36	21-40	22	29
15,1-25	3	4	31-40	24	34	41-60	25	32
25,1-100	12	16	>40	21	27	62-80	13	17
>100	16	21				>80	15	19
Σ	77	100	Σ	77	100	Σ	77	100

ზვავშემკრების უმეტესობის ფართობი (49%) 0,5 ჰა-ზე ნაკლებია, თუმცა არის ზვავშემკრებები, რომელთა ფართობი გაცილებით მეტია 10 ჰა-ზე. მაგალითად, ლენტების რაიონის მდ. ხელედულას ხეობაში, სოფ. ხაჩეშმი ზვავშემკრების ფართობი 46 ჰა-ია, ხოლო სოფ. ბაბილის ზვავშემკრების ფართობი 48 ჰა-ია. მდ. ცხენისწყლის ხეობაში, სოფ. მახაშმი ზვავშემკრების ფართობი 160 ჰა-ია, ამ ზვავის სიგრძე 4350 მ-ია, ხოლო ზვავის მიერ გამოტანილი თოვლის მოცულობა 448 ათასი მ³, ასევე ამავე ხეობაში 200 ჰა-ზე მეტი ფართობისაა სოფ. ლეუშერისა და თეკალის ზვავშემკრებები და შესაბამისად ეს ზვავები გამოირჩევიან განსაკუთრებით დიდი სიჩქარითა და დარტყმის მაღალით. მაგ. სოფ. თეკალთან მდებარე ზვავის მაქსიმალური სიჩქარე 67 მ/წმ-მდებარე, ხოლო მაქსიმალური

დარტყმის ძალა - 206 ტ/მ². მომრავი ზვავის უმეტესობის (49%) სიმაღლე მეტია 25 მ-ზე, ხოლო ზოგიერთი მათგანის სიმაღლე 35 მ-ს აღწევს.

ცალკეულ წლებში, განსაკუთრებით კი განსაკუთრებით უხვთოვლიან 1976 და 1987 წლების იანვარში, რაჭა-ლეჩხუმსა და ქვემო სვანეთის დასახლებულ პუნქტებში კატასტროფულმა ზვავებმა ნგრევა და ადამიანთა მსხვერპლი გამოიწვია, ზავებმა კურორტ შოვის (მდ. გუბისწყლის ხეობა) სასადილო და ორსართულიანი ნაგებობაც დააზიანა (ცხრილი 5.6.4).

ზვავის ჩამოსვლის თავიდან აცილება რთულია, მაგრამ შესაძლებელია ისეთი ღონისძიების გატარება, რომ მისი ჩამოსვლით დიდი ზიანი არ მიადგეს დასახლებულ პუნქტს თუ ცალკეულ ნაგებობას ამის მაგალითია ლენტეხის რაიონის, მდ. ფიშქორას ხეობაში მდებარე სოფ. ჩუკულის ზვავი, რომლის ჩამოსვლის შედეგად 1968 წელს 12 საცხოვრებელი სახლი დაინგრა და დაზიანდა, დიდ ტერიტორიაზე განადგურდა ტყე, რამაც კიდევ უფრო გაზარდა ამ სოფელში ზვავის ჩამოსვლის სიხშირის ალბათობა. სოფ. ჩუკულის ზვავშემკრების ფართობი 48 ჰა-ია, მომრავი ზვავის მაქსიმალური სიჩქარე 54 მ/წმ, მაქსიმალური დარტყმის ძალა 134 ტ/მ²-ზე, ხოლო მოცულობა 1340000 მ³. ამ ტერიტორიაზე, სოფლის მოსახლეობის დაცვის მიზნით, მოხდა ზვავის მიმართულების შეცვლა, კერძოდ გაიჭრა კლდოვანი ამაღლება, სადაც მოხდა ზვავის გაშვება. უნდა აღინიშნოს, რომ განსაკუთრებით უხვთოვლიანი ზამთრების (1976, 1987 წწ.) შემდეგ ჩატარებულმა საექსპედიციო სამუშაოებმა კიდევ ერთხელ დაგვრწმუნა, რომ განხორციელებული ღონისძიებით, შესაძლებელი იყო სოფ. ჩუკულის ზვავისგან დაცვა და მოსალოდნელი კატასტროფის თავიდან აცილება.

წლების მანძილზე, რაჭა-ლეჩხუმსა და ქვემო სვანეთში, ზვავების ჩამოსვლის შედეგად დაიღუპა 56 ადამიანი. დაბა ლენტეხში, ასევე ლენტეხის რაიონის სოფლებში: ბავარი, ხაჩეში, წანაში, დურაში, ლეუშერი, ურავი, ჭველიერი, ცანა, ყორულდაში. დაინგრა და დაზიანდა 277 საცხოვრებელი სახლი, ათეულ ჰა-ზე განადგურდა ტყე და ხეხილის ბაღები, დაიხოცა 600-მდე მსხვილფეხა და წვრილფეხა საქონელი. დაინგრა ზესხის ალპური ბანაკი, სოფ. ზესხის ადმინისტრაციული შენობა, გეოლოგების სახლი, მაღაზია, მარმარილოს ქარხანა, სკოლის შენობა (სალუქვაძე, 2018; სალუქვაძე,

კობახიძე, ჯინჯარაძე, 2011, 2012; აბდუშელიშვილი, ქალაძე, კალაძე, სალუკვაძე, 1980)

ცხრილი 5.6.4. ზვავსაშიში დასახლებული პუნქტები და ზვავების ჩამოსვლის შედეგად მიყენებული მატერიალური ზარალი რაჭა-ლეჩხუმსა და ქვემო სვანეთში

#	წელი, თვე, რიცხვი	დასახლებული პუნქტი, (მდ.ხეობა)	დაღუპულთა რ-ზა	ნგრევა		განა- დგურდა		საქო-ნელი	
				სახლი	ნაგებობა	ბალი, ჰა	ტყე, ჰა	მსხვილფეხა	წვრილფეხა
1	1924	ხაჩეში (ხელედულა)	13	2	4			18	40
2	1924	" —		4	6		1		
3	1924	" —			1			8	15
4	1924	" —		1	1				
5	1924	წანაში (ხელედულა)	5		2	0,9	1	14	25
6	1924	" —		1	1				
7	01.1932	ბავარი (ხელედულა)	7	1	2		2,5	12	48
8	12.02.1932	ურავი (ლუხუნი)	7	4		0,2		24	16
9	1954	ცანა (ყორულდაში)		1	1			8	6
10	02.1959	ლენტეხი (ცხენისწყალი)	2	2					
11	02.1959	" —		2					
12	1968	ჩუკული (ფიშქორი)		2	3		3		
13	1968	" —		4	3		8		
14	14.01.1976	ღიმელური (ცხენისწყალი)			3	0,2			
15	14.01.1976	ლასკადურა (ლასკადურა)		1					
16	14.01.1976	ლუშერი (ცხენისწყალი)	2	3	5		30	28	15
17	14.01.1976	ლეისინდი		4					

		(ლაჯანური)						
18	14.01.1976	ლაჯანა (ლაჯანური)		1				
19	14.01.1976	ურავი (ლუბუნი)		1	2	0,2		
20	15.01.1976	მახაში (ფიშქორი)		7	6		15	8
21	15.01.1976	ცანა (ყორულდაში)	1	1	1		0,1	
22	15.01.1976	" -		1	2		0,1	
23	15.01.1976	ზესხო (ზესხო)		2			6	30
24	15.01.1976	ლუბუნი (ლუბუნი)		1	1		6	
25	09.01.1987	ცანა (ყორულდაში)		2	2		0,1	
26	09.01.1987	" -			2			
27	09.01.1987	ყორულდაში (ყორულდაშ.)	1	5				
29	09.01.1987	ზესხო (ზესხო)		12			0,4	
30	09.01.1987	ლეუშერი (ცხენისწყალი)		2			10	
31	09.01.1987	თეკალი (ცხენისწყალი)		13	9		20	
32	09.01.1987	ჭველიერი (ცხენისწყალი)	1	4	6	1	6	26
33	09.01.1987	" -		2			5	
34	29.01. 1987	ყვედრიში (ცხენისწყალი)		2	2	0,3		
35	29.01.1987	" -				0,4		
36	29.01.1987	ხაჩეში (ხელედულა)		5	6		1	18
37	29.01.1987	" -		3	4			
38	29.01.1987	" -		1	1			
39	29.01.1987	ხელედი (ხელედულა)		2	2	0,5		
40	29.01.1987	წანაში (ხელედულა)		4	5	0,5		32
41	29.01.1987	" -		3	3			
42	29.01.1987	Լესება (ხელედულა)		5	2			
43	29.01.1987	" -			3			

44	29.01.1987	ლენტეხი (ლასკადურა)	3	2		0,3			
45	29.01.1987	" -			1				
46	29.01.1987	დურაში (ცხენისწყალი)	7	2	2				
47	29.01.1987	ლასკადურა (ლასკადურა)		2	2	0,3			
48	29.01.1987	გლოლა (რიონი)		1				28	10
49	29.01.1987	" -					5		
50	29.01.1987	შოვი (გუბისწყალი)		1	3		2		
51	30.01.1987	კახურა (ცხენისწყალი)	7	9	4			21	
52	30.01.1987	ბაზილი (ცხენისწყალი)		2	3		5		
53	30.01.1987	" -		2					
54	30.01.1987	შტველი (ცხენისწყალი)		4	3		2		
55	30.01.1987	ბულღიში (ცხენისწყალი)			2				
56	30.01.1987	მუწვდი (ცხენისწყალი)		3	2				
57	30.01.1987	ტვები (ცხენისწყალი)		2	2		0,2	6	6
58	30.01.1987	" -		2	2				
59	30.01.1987	მამი (ცხენისწყალი)		3			2		
60	30.01.1987	" -		3					
61	30.01.1987	ბავარი (ხელედულა)		2			0,1		
62	30.01.1987	" -			2		2		
63	30.01.1987	მანაური (მანანაური)			3				
64	18.01.2003	მახაში (ფიშქორი)			3		0,5		
სულ			56	152	125	4,8	139	281	292

ლიტერატურა

1. ე.ელიზბარაშვილი. საქართველოს კლიმატური რესურსები. თბილისი, 2007, 328გვ.
2. ე.ელიზბარაშვილი. საქართველოს ჰავა. თბილისი, 2017, 360გვ.
3. მარუაშვილი ლ., საქართველოს ფიზიკური გეოგრაფია, გამომცემლობა “ცოდნა”, თბილისი 1964, 285გვ.
4. მელაძე გ., მელაძე მ., თუთარაშვილი მ. აგრომეტეოროლოგიური ფაქტორების გავლენა საშემოდგომო ხორბლის გამოზამთრებასა და მოსავალზე. ჰმი-ის შრომები, ტ. #116, 2011, გვ. 26-29
5. მელაძე გ., მელაძე მ. საქართველოს აღმოსავლეთ რეგიონების აგროკლიმატური რესურსები. გამომც. "უნივერსალი", თბილისი, 2010, 293 გვ.
6. მელაძე გ., მელაძე მ. საქართველოს დასავლეთ რეგიონების აგროკლიმატური რესურსები. გამომც. "უნივერსალი", თბილისი, 2012, 435 გვ.
7. მელაძე გ., მელაძე მ. კლიმატის ცვლილება: აგროკლიმატური გამოწვევები და პერსპექტივები აღმოსავლეთ საქართველოში. გამომც. „უნივერსალი”, თბილისი, 2020, გვ. 200
8. მ.სალუქვაძე. საქართველოს თოვლის ზვავების კადასტრი. საქოს ტექნიკური უნივერსიტეტის ჰიდრომეტეოროლოგიის ინსტიტუტი. თბილისი, 2018 წ. 264 გვ.
9. მ.სალუქვაძე, ნ.კობახიძე, გ. ჯინჭარაძე. კატასტროფული ზვავების ფორმირების თავისებურებანი საქართველოს ტერიტორიაზე, საერთაშორისო კონფერენციის "გარემო და გლობალური დათბობა" მასალები. # 3(82), 2011 წ. გვ. 207-211.
10. მ.სალუქვაძე, ნ.კობახიძე, გ. ჯინჭარაძე. ზვავსაშიში და-სახლებული პუნქტები საქართველოში. საქართველოს ტექნიკური უნივერსიტეტის დაარსებიდან 90 წლისთავისადმი მიძღვნილი საერთაშორისო სამეცნიერო კონფერენციის მასალები, თბ., 19-21 სექტემბერი, 2012 წ. გვ. 58-62.
11. საქართველოს სამეცნიერო-გამოყენებითი კლიმატური ცნობარი, ნაწ.1, თბილისი, 2011, 220გვ.
12. საქართველოს გეოგრაფია ნაწილი 1, ფიზიკური გეოგრაფია, გამომცემლობა ”მეცნიერება”, თბილისი 2000.
13. საქართველოს კურორტები და საკურორტო რესურსები. ატლასი, მოსკოვი, 1989, 145გვ.

14. საქართველოს კლიმატური და აგროკლიმატური ატლასი. თბილისი, 2011, 120გვ.
15. საქართველოს ქარის ენერგეტიკული ატლასი, თბილისი, 2004, 240გვ.
16. საქართველოს ჰავა. ტომი. 1, აჭარა. სტუ ჰმი შრომათა კრებული, ტ.110, 2003, 113გვ.
17. საქართველოს ჰავა. ტომი. 2, აფხაზეთი. სტუ ჰმი შრომათა კრებული, ტ.110, 2006, 113გვ.
18. საქართველოს ჰავა. ტომი. 3, სამეგრელო-ზემო სვანეთი. სტუ ჰმი შრომათა კრებული, ტ.110, 2010, 82გვ.
19. საქართველოს ჰავა. ტომი. 4, გურია. სტუ ჰმი შრომათა კრებული, ტ.118, 2011, 92გვ.
20. საქართველოს ჰავა. ტომი. 5, შიდა ქართლი. სტუ ჰმი შრომათა კრებული, ტ.122, 2016, 96გვ.
21. საქართველოს ჰავა. ტომი. 6, იმერეთი. სტუ ჰმი შრომათა კრებული, ტ.126, 2018, 122გვ.
22. საქართველოს ჰავა. ტომი. 7, კახეთი. სტუ ჰმი შრომათა კრებული, ტ.128, 2020, 300 გვ.
23. სამუკაშვილი რ. კავკასიის ტერიტორიის რადიაციული რეჟიმი და ჰელიოენერგეტიკული რესურსები, თბილისი, გამომცემლიბა “უნივერსალი”, 2017, 339 გვ.
24. Meladze M., Meladze G. Agroclimatic Zoning of Western Region of Georgia. Annals of Agrarian Sciences Science, vol.15, №1, 2019, pp. 422-432
25. Meladze M., Meladze G., Trapaidze V., Meladze G. Evaluation of the Agro-Ecological Potential of Racha-Lechkhumi - Kvemo Svaneti region (Georgia) and Zoning of Crops. 18th International multidisciplinary scientific geoconference SGEM, Ecology and Environment Protection, vol. 18, Issue:5.1, Albena, Bulgaria, 2018, pp. 361-367
26. Абдушишвили К., Калдани Л., Салуквадзе М. Лавины бассейна реки Цхенисцкали. 1980. Тр.ЗакНИИ,вып. 72 (78), Л., с. 75- 82;
27. Агроклиматические ресурсы Грузинской ССР, под. ред. Турманидзе Т.И. Гидрометеоиздат, Л., 1978, 343с.
28. Балабуев А.Г., Месхи И.С. Ветроенергетические ресурсы Грузинской ССР, Тбилиси АН ГСССР, 1959, 66с.
29. Биометеорология. Л., Гидрометеоиздат, 1965, 340с.
30. Биометеорология. Избранные труды второго международного биоклиматического конгресса. Лондон 1966, 340с.

31. Борзенкова И.И. К методике расчёта суммарной радиации условий горного плато. Труды ГГО, вып. 179, Л., 1965, с.33-45.
32. Берлянд Т.Г. Методика климатологических расчётов суммарной радиации, Метеорология и гидрометеорология №6, 1960, 3-15с.
33. Берлянд М.Е., Берлянд Т.Г. Определение Эффективного излучения Земли с учётом облачности. Изд. АН СССР, сер. геофиз. №1, 1952, с.3-18.
34. Будыко М.И., Берлянд Т.Г., Зубенок Л.И. Методика климатологических расчётов составляющих теплового баланса. Труды ГГО, вып.40(110), Л., Гидрометеоиздат, 1954, с.3-15.
35. Дильтнейн И. Исследование радиации в Восточных Альпах с учётом зависимости от высоты над уровнем моря, Журнал Метеорологии, геофизики и биоклиматологии, Т.3, 1951, с.7-15.
36. Пивоварова З.И. Радиационные характеристики климата СССР, Л., Гидрометеоиздат, 1977, 323с.
37. Мелия Г.Т. Гелиоэнергетические ресурсы Грузинской ССР. Тбилиси, Изд-во. АН ГССР, 1959, 87с.
38. Научно-прикладной спровочник по климату СССР Серия 3, Многолетние данные, Части 1-6, вып. 14, Грузинская ССР, Л., Гидрометеоиздат, 1990, 346с.
39. Пивоварова З.И., Стадник В.В. О точности данных наблюдений актинометрической сети и оптимальном расстоянии между станциями. Труды ГГО, вып. 249, 1969, с.3-32.
40. Самукашвили Р.Д. Влияние снежного покрова на годовой ход отраженной радиации и альбедо в условиях Кавказа. Труды ВГИ, вып. 46, 1980, с.33-42.
41. Самукашвили Р.Д. Радиационный режим северного склона Большого Кавказа. Изд., "Универсал", Тбилиси, 2016, 159с.
42. Самукашвили Р.Д. О корреляционных связях между радиационным балансом и его составляющими для территории Кавказа. Труды ВГИ, вып. 66, 1987, с.17-22.
43. Самукашвили Р.Д. Прямая солнечная радиация на склонах в условиях Большого Кавказа, Труды ВГИ, вып. 62, Л., Гидрометеоиздат 1985, с.16-22.
44. Самукашвили Р.Д. Оценка условий практического использования лучистой энергии солнца в условиях Кавказа, Труды ВГИ, вып. 73, Л., Гидрометеоиздат 1988, с.18-33.
45. Сванидзе Г.Г., Гагуа В.П., Сухишвили Э.В. Возобновляемые энергоресурсы Грузии. Л., Гидрометеоиздат, 1987, 174с. .
46. Сивков С.И. Методы расчёта характеристик солнечной радиации. Гидрометеоиздат Л., 1968, 131с.

47. Справочник по климату СССР вып. 14, часть 3, Ветер, Л., Гидрометеоиздат, 1968, 386с.
48. Справочник по климату СССР, выпуск 14 . Температура воздуха и почвы. Гидрометеоиздат, Л , 1967, 374с.
49. Справочник по климату СССР вып. 14, Грузинская ССР, Солнечная радиация, радиационны баланс и солнечное сияние, Гидрометеоиздат Л., 1968, 72с.
50. Справочник по климату СССР, вып. 14, Облачность и атмосферные явления, Гидрометеоиздат Л., 1970, 314с.
51. Сухишвили Э.В. Режим ветра на Колхидской низменности. Труды Зак НИГМИ, вып. 5, Л., Гидрометеоиздат, 1959, с.13-43.
52. Сухишвили Э.В. Ветроэнергетические ресурсы Грузии. Труды ТбилиНИГМИ, 1959, с.16-32.
53. Стейнхаузер Ф. О зависимости прямой солнечной и рассеянной радиации от высоты над уровнем моря в Восточных Альпах, Журнал Метеорология, Т.4, 1951, с.9-14.
54. Чиракадзе Г.И. Климат Тбилиси в новых границах. Труды Зак НИГМИ, вып. 26(32), 1957, с.3-19.
55. Цуцкиридзе Я.А. Радиационный и термический режим территории Грузии. Л., 1967, 162с.
56. Цуцкиридзе Я.А. Ресурсы солнечной энергии.- В кн:- Климат и климатические ресурсы Грузии. Л., Гидрометеоиздат, 1971. Сю, 132-140.
57. Элизбарашвили Э.Ш., Гонгладзе Н.Ш.. Климатография курортов Грузии. Тбилиси, 1980, 246с.
58. Элизбарашвили Э.Ш.,Элизбарашвили М.Э. Основные проблемы климатологии ландшафтов. Зеон. Тбилиси, 2006, 118 с.
59. Элизбарашвили Э.Ш., Элизбарашвили М.Э. Стихийные метеорологические явления на территории Грузии. Зеон. Тбилиси,2012, 104 с.